

REPRODUCTIE ZOUTTOESTAND

GETIJRIVIEREN

XII

EENDIMENSIONAAL ONDERZOEK

DEEL 2: DISPERSIEGEGEVENS

AFGEHANDELD

WATERLOOPKUNDIG LABORATORIUM
DELFT M 896-XII

M 0896-12

WATERLOOPKUNDIG LABORATORIUM

REPRODUKTIE ZOUTTOESTAND GETIJ RIVIEREN

Eéndimensionaal onderzoek

Deel 2: Dispersiegegevens

M 896 - XII

juli 1976

SAMENSTELLING RAPPORT

De verslaggeving van het "Systematisch onderzoek variatie randvoorwaarden en stromingskondities" is als volgt:

- M 896 - X : Meet- en rekenresultaten
- M 896 - XI : Tweedimensionaal onderzoek
- M 896 - XII : Eéndimensionaal onderzoek

Het onderhavige rapport M 896 - XII is als volgt ingedeeld:

- Deel 1 : Getij- en zoutgegevens
- Deel 2 : Dispersiegegevens
- Deel 3 : Interpretatie

INHOUD

blz.

LIJST VAN FIGUREN

NOTATIES

| | | |
|---|--|---|
| 1 | <u>Eéndimensionaal onderzoek</u> | 1 |
| 2 | <u>Verifikatie reproduktie dispersie</u> | 2 |
| 3 | <u>Balansmethode versus profielmethode</u> | 3 |
| 4 | <u>Toelichting onderzoekresultaten</u> | 4 |

LIJST VAN FIGUREN

- 1 Proeven systematisch onderzoek
- 2 Schema ééndimensionaal onderzoek
- 3 t/m 5 Proevenseries systematisch onderzoek
- 6 t/m 9 Verifikatie profielmethode
- 10 t/m 14 Balansmethode versus profielmethode

Resultaten proevenseries:

- 15 t/m 21 Onderzoek variatie waterhoogte
- 22 t/m 30 Onderzoek variatie gootlengte
- 31 t/m 38 Onderzoek variatie bovenafvoer
- 39 t/m 46 Onderzoek variatie getijverschil
- 47 t/m 53 Onderzoek variatie zoutkoncentratie zee
- 54 t/m 60 Onderzoek variatie ruwheid
- 61 t/m 67 Onderzoek variatie luchtingektie
- 68 t/m 74 Onderzoek variatie conditie zee
- 75 t/m 78 Invloed luchtingektie bij variatie waterhoogte
- 79 t/m 82 Invloed luchtingektie bij variatie bovenafvoer
- 83 t/m 87 Invloed type ruwheid bij variatie waterhoogte

NOTATIES

- a : getijamplitude
 a_z : getijamplitude op zeerand (randvoorwaarde)
c : zoutkoncentratie
 \bar{c} : zoutkoncentratie, gemiddelde over dwarsprofiel
 c_z : zoutkoncentratie (konstant) op zeerand
g : versnelling van de zwaartekracht
h : waterhoogte
 $h - h_o$: waterhoogte ten opzichte van middenstand (h_o)
 h_z : waterhoogte op zeerand (randvoorwaarde)
p : druk
t : tijd
u : snelheidskomponent in x-richting
 \bar{u} : snelheidskomponent in x-richting, gemiddelde over dwarsprofiel
x : horizontale koördinaat
- C : weerstandscoëfficiënt volgens Chézy
 D'_x : dispersiekoëfficiënt
 F'_r : intern Froudegetal
L : ekwivalente lengte
 L_i : lengte zoutindringing
 L_s : stoffelijke lengte getijgoot
Q : debiet
 Q_a : debiet luchtingjektie
 Q_L : konstante afvoer (randvoorwaarde)
R : hydraulische straal
Re : getal van Reynolds
T : getijperiode
 T'_x : dispersief transport
- λ : lengte getijgolf volgens $\lambda = \sqrt{gh_o} T$
v : kinematische viskositeit
 ρ : dichtheid
 $\bar{\rho}$: dichtheid, gemiddelde over dwarsprofiel
 τ : schuifspanning
 τ_b : schuifspanning aan de bodem

1 Eéndimensionaal onderzoek

In fig. 1 is een overzicht gegeven van de getijgootproeven in het kader van het systematisch onderzoek naar de invloed van de randvoorwaarden en de stromingskondities op de zoutindringing. De meetgegevens uit dit onderzoek zijn bewerkt op basis van een ééndimensionaal model (horizontale koördinaat; verschijnsel tijdsafhankelijk). Op deze wijze zijn waterstanden, snelheden en zoutkoncentraties als functie van plaats en tijd verkregen. Zie deel 1 van dit rapport.

De gegevens zijn verder geanalyseerd op basis van de diffusievergelijking van het ééndimensionale model volgens het schema in fig. 2. Deze werkwijze wordt hierna de balansmethode genoemd. Hier voor geldt de volgende formule (zie fig. 2):

$$T'_x = \frac{1}{h} \int_x^{x_*} h \left\{ \frac{\delta \bar{c}}{\delta t} + \bar{u} \frac{\delta \bar{c}}{\delta x} \right\} dx$$

waarin: \bar{u} : horizontale snelheid, gemiddelde over verticaal
 \bar{c} : zoutkoncentratie, gemiddelde over verticaal
 h : waterhoogte
 x : horizontale koördinaat
 x_* : voor $x = x_*$ (zoete gebied) is $T'_x = 0$ (randvoorwaarde)
 T'_x : dispersief transport

Daarnaast is gebruik gemaakt van een directe bepaling van het dispersieve transport uit de snelheidsverdeling en de koncentratieverdeling in de verticaal (aangenomen is dat de stroming tweedimensionaal is, dus dat er geen gradiënten in dwarsrichting zijn). Deze werkwijze wordt hierna de profielmethode genoemd. Hier voor geldt de volgende formule:

$$T'_x = \frac{1}{h} \int_0^h (u - \bar{u})(c - \bar{c}) dy$$

waarin: u : horizontale snelheid
 \bar{u} : horizontale snelheid, gemiddelde over verticaal
 c : zoutkoncentratie
 \bar{c} : zoutkoncentratie, gemiddelde over verticaal
 h : waterhoogte
 y : vertikale koördinaat
 T'_x : dispersief transport

2 Verifikatie reproduktie dispersie

De verifikatie van de reproduktie van de dispersie is uitgevoerd aan de hand van zogenaamde tweelingproeven. Door een aantal proeven nogmaals uit de voeren, kon een indruk verkregen worden in welke mate de resultaten signifiekant geacht kunnen worden. Vanwege de complexheid van de bewerkingen en in verband met het sterk variërende verschijnsel, is een foutenbeschouwing (voortplanting fouten in de berekening) niet afdoende. Een en ander hangt ook samen met het gekozen bemonsteringssysteem dat voor gemiddelde omstandigheden optimaal is, maar dat bij zeer sterke gradiënten (vloedperiode) te grof is. Deze problematiek is uitgebreid behandeld in de rapporten M 896 - IV (voorbereidend onderzoek tweelingproeven) en M 896 - V (gegevensverwerking getijgootonderzoek).

De resultaten van de dispersieberekeningen voor de tweelingproeven zijn opgenomen in deel 1 in de figuren 8 en 9. De omstandigheden bij de tweelingproeven waren alleen verschillend wat betreft de hieronder aangegeven aspecten, waarbij het getal tussen haakjes het getijverschil in prototypemaat aangeeft:

Proeven T3/T3B (1,60 m): ruwheid door middel van vertikale weerstandsstaafjes

Proeven T34B/T34C (1,20 m): ruwheid door middel van vertikale weerstandsstaafjes

Proeven T145/T146 (1,60 m): bodemruwheid door middel van vertikale plaatjes.

De getij-omstandigheden zijn dus niet zoveel verschillend; een belangrijk verschil geeft de toegepaste ruwheid. Bij toepassing van bodemruwheid treden in vertikale richting grote snelheidsgradiënten op en ook de concentratiegradiënten nemen toe. Dit geeft een vergroting van de dispersie; de berekening wordt dan relatief nauwkeuriger.

Aan de hand van de figuren 8 en 9 (deel 1) kan gekonkludeerd worden dat in kwalitatieve zin de resultaten reproduceren en dat bij de proeven T145/T146 dit ook in belangrijke mate in kwantitatieve zin het geval is.

De tweelingproeven T3/T3B en T145/T146 betreffen de referentiesituatie, dat is een soort gemiddelde toestand (betrokken op de Rotterdamse Waterweg). De kwaliteit van de overige proeven in het systematisch onderzoek is globaal van dezelfde orde; voor afwijkende omstandigheden is er in een aantal gevallen een betere, in andere gevallen een minder goede kwaliteit. Een indikatie voor afwijkende omstandigheden geeft in zekere zin reeds de zoutindringing. Zie de figuren 3, 4 en 5.

In een aantal gevallen treden "halingen" op in de dispersiegegevens. Dit hangt meestal samen met het optreden van sterke gradiënten (te grove bemonstering); invloed van verstoringen (resonanties) lijkt ook niet uitgesloten.

3 Balansmethode versus profielmethode

De resultaten volgens de balansmethode en die volgens de profielmethode zijn met elkaar vergeleken in de figuren 6 en 7 voor de proeven T3/T3B (weerstandsstaafjes) en in de figuren 8 en 9 voor de proeven T145/T146 (bodemruwheid). Het blijkt dat er in de figuren 8 en 9 een redelijke overeenstemming is, in de figuren 6 en 7 is er vaak weinig overeenkomst.

Onder punt 2 is al gesteld dat vanwege de grotere getalwaarden voor de dispersie de proeven T145/T146 relatief nauwkeuriger resultaten geven. Het vaak ontbreken van overeenkomst bij de resultaten van T3/T3B is hiermee echter niet verklaard.

Voor een analyse wordt gebruik gemaakt van fig. 10 en figuren 11 t/m 14 in deel 1. Fig. 10 (deel 1) illustreert nogmaals het verschil in uitkomsten voor de dispersie onder gelijke getij-omstandigheden voor proeven met weerstandsstaafjes en proeven met bodemruwheid. Overigens heeft het beeld kwalitatief wel enige verwantschap, onder andere geen of negatieve dispersie rond het tijdstip van hoogwaterkentering (tijdstip $t/0,04 T = 11$).

De figuren 11 t/m 14 (deel 1) geven resultaten van dispersieberekeningen voor de Rotterdamse Waterweg. Deze berekeningen zijn op basis van de profielmethode (integratie van het produkt van snelheids- en concentratiefluktuaties over het dwarsprofiel). Het blijkt dat de beelden kwalitatief redelijk corresponderen met die in fig. 10 (deel 1), zoals wegvallen dispersie rond hoogwaterkentering (in de buurt van de punt van de zouttong ligt dit wat anders). Fig. 10 (deel 1) is bepaald op basis van de balansmethode. Het probleem zit dus in de toepassing van de profielmethode voor het geval van weerstandsstaafjes.

Achteraf is het wel plausibel dat de staafjes problemen moeten geven. De snelheidsgradiënt in vertikale richting wordt vereffend; de schuifspanningen worden overgebracht door gradiënten in dwarsrichting. Dit betekent dat toepassing van de profielmethode voor het geval van staafjes geen zin heeft indien niet mede de dwarsverdeling van de snelheid in beschouwing wordt genomen. In de figuren 10, 11 en 12 zijn de resultaten volgens de beide methoden gegeven voor de proevenserie variatie waterhoogte en toepassing van staafjes; in de figuren 13 en 14 is hetzelfde gedaan voor de proevenserie met bodemruwheid. Het blijkt dat in het geval staafjes toegepast zijn, de afwijkingen groter worden naarmate de waterdiepte toeneemt.

Om de juiste ruwheid te krijgen moeten in dat geval meer staafjes toegepast worden. Dit bevestigt de eerder gegeven konklusie. De figuren 13 en 14 geven een fraaie overeenstemming te zien, zeker kwalitatief en deels ook kwantitatief.

4 Toelichting onderzoekresultaten

Parallel met deel 1 zijn vanaf fig. 15 de berekende resultaten van de proeven-series per serie verzameld. De indeling kan ook hier teruggevonden worden aan de hand van de lijst van figuren en de onderschriften per blad. Fig. 1 kan hier tevens als leidraad dienen.

Voorafgaande aan elke serie berekende resultaten per proef is weer een overzichtsblad toegevoegd waarin de serie gekarakteriseerd is aan de hand van de zoutindringing. Zie ook de betreffende proefnummers en figuren die hierbij aangegeven zijn.

GEGEVENS PROEVEN (VOOR ZOVER AFWUKEND VAN GEGEVENS REFERENTIEPROEVEN)

| PROEF NO. | EENH. | MODEL | PROT. | BUZ. | PROEF NO. | EENH. | MODEL | PROT. | BUZ. | | | |
|-------------------------|---------|----------|--------|----------------------|---------------------------|-------------------------------|--------|--------------------|------|--|--|--|
| 1° VARIATIE WATERHOOGTE | | | | | 4° VARIATIE GETIJVERSCHIL | | | | | | | |
| 106 | m | 0,156 | 10 | | 34B/C | m | 0,0188 | 1,20 | | | | |
| 107 | " | 0,188 | 12 | | 134 | " | 0,0375 | 2,40 | | | | |
| 108 | " | 0,250 | 16 | | 135 | " | 0,0125 | 0,80 | | | | |
| 109 | " | 0,281 | 18 | | 136 | " | 0,0750 | 4,80 | | | | |
| 110 | " | 0,288 | 17 | | 137 | " | 0,0500 | 3,20 | | | | |
| 145 | " | 0,216 | 13,8 | BODEMGRUWH | 138 | " | 0,0156 | 1,00 | | | | |
| 146 | " | 0,216 | 13,8 | " | 5° VARIATIE ZOUTKONG. ZEE | | | | | | | |
| 147 | " | 0,234 | 15 | " | 140 | kg/m³ | 40 | 40 | | | | |
| 148 | " | 0,188 | 12 | " | 141 | " | 20 | 20 | | | | |
| 149 | " | 0,156 | 10 | " | 142 | " | 10 | 10 | | | | |
| 151 | " | 0,156 | 10 | LU. 60 cc/m² s | 143 | " | 5 | 5 | | | | |
| 152 | " | 0,250 | 16 | " | 144 | " | 50 | 50 | | | | |
| 2° VARIATIE GOOTLENGTE | | | | | 6° VARIATIE RUWHEID | | | | | | | |
| 101 | m | 157,22 | 100620 | $L/4\lambda = 0,774$ | 113 | $m^{1/2}/s$ | 15,8 | 50 | | | | |
| 102 | " | 201,09 | 128700 | " 0,990 | 114 | " | 12,7 | 40 | | | | |
| 103 | " | 135,28 | 86580 | " 0,886 | 115 | " | 22,1 | 70 | | | | |
| 104 | " | 113,34 | 72540 | " 0,558 | 116 | " | 25,3 | 80 | | | | |
| 105 | " | 252,28 | 161460 | " 1,242 | 117 | " | 28,5 | 90 | | | | |
| 111 | " | 303,47 | 194220 | " 1,494 | 7° VARIATIE LUCHTINJEKTIE | | | | | | | |
| 112 | " | 106,03 | 67860 | " 0,522 | 124 | $cc/m^3/s$ | 40 | $cc = 10^{-6} m^3$ | | | | |
| 3° VARIATIE BOVENAFVOER | | | | | 125 | " | 100 | | | | | |
| 118 | m^3/s | -0,00580 | -1899 | | 126 | " | 80 | | | | | |
| 119 | " | -0,01159 | -3798 | | 127 | " | 60 | | | | | |
| 120 | " | -0,00217 | -712 | | 128 | " | 20 | | | | | |
| 121 | " | -0,00145 | -475 | | 8° VARIATIE KONDITIE ZEE | | | | | | | |
| 122 | " | -0,00181 | -593 | | 129 | CIRKULATIEDEBIET MINIMAAL | | | | | | |
| 123 | " | -0,00869 | -2848 | | 131 | LUCHT 80 cc/m² s (ZEE + GOOT) | | | | | | |
| 153 | " | -0,00181 | -593 | LU. 60 cc/m² s | 132 | LUCHT 80 cc/m² s (ZEE) | | | | | | |
| 154 | " | -0,00869 | -2848 | " | 133 | DUIKSCHOT VERWUDERD | | | | | | |
| | | | | | 139 | GEEN ZOETWATERAFZUIGING | | | | | | |

GEGEVENS REFERENTIEPROEVEN T3/T3B

| KONDITIES | EENH. | MODEL | PROTOTYPE |
|------------------|-------------|----------|-----------|
| 1° WATERHOOGTE | m | 0,216 | 13,8 |
| 2° GOOTLENGTE | " | 179,16 | 114680 |
| 3° BOVENAFVOER | m^3/s | -0,00290 | -949 |
| 4° GETIJVERSCHIL | m | 0,0250 | 1,60 |
| 5° ZOUTKONG. ZEE | kg/m^3 | 30 | 30 |
| 6° RUWHEID GOOT | $m^{1/2}/s$ | 19,0 | 60 |
| 7° LUCHTINJEKTIE | GEEN LUCHT | | |
| 8° KONDITIE ZEE | GEEN LUCHT | | |

SCHALFAKTOREN

MODEL - PROTOTYPE

HOOGTE: 64
 LENGTE: 640
 SNELHEID: 8
 TJD: 80
 DEBIET: 327680
 ZOUTKONG: 1
 RUWHEID: $\sqrt{0,1}$
 LUCHTDEBIET: 327680

PROEVEN SYSTEMATISCH ONDERZOEK

j.w.

A4

Basisvergelijkingen:

$$\frac{\partial(\bar{u}h)}{\partial x} + \frac{\partial h}{\partial t} = 0$$

$$\frac{\partial \bar{c}}{\partial t} + \bar{u} \frac{\partial \bar{c}}{\partial x} + \frac{1}{h} \frac{\partial(T_x^+ h)}{\partial x} = 0$$

$$\bar{\rho} \left(\frac{\partial \bar{u}}{\partial t} + \bar{u} \frac{\partial \bar{u}}{\partial x} \right) + \frac{\partial \bar{p}}{\partial x} + \frac{\tau_b}{R} = 0$$

Invoergegevens:

$h = f(x, t)$: waterhoogte

$\bar{u} = f(x, t)$: horizontale snelheid

$\bar{\rho} = f(x, t)$: dichtheid

Veronderstellingen:

$$T_x^+ = - D_x^+ \frac{\partial \bar{c}}{\partial x} \quad \text{en} \quad \tau_b = \frac{f_s}{c^2} \cdot \bar{\rho} |\bar{u}| |\bar{u}|$$

Randvoorwaarden:

$$\text{Voor } x = x_{\infty} \text{ (zoete gebied)} : T_x^+ = 0$$

Drukgradiënt:

$$\frac{\partial \bar{p}}{\partial x} = \frac{1}{2} gh \frac{\partial \bar{p}}{\partial x} + \bar{\rho} g \frac{\partial h}{\partial x}$$

Uitgevoerde analyse:

$$D_x^+ = \frac{\frac{1}{h} \int_x^{x_{\infty}} h \left\{ \frac{\partial \bar{c}}{\partial t} + \bar{u} \frac{\partial \bar{c}}{\partial x} \right\} dx}{-\frac{\partial \bar{c}}{\partial x}}, \quad \text{immers} \quad D_x^+ = \frac{T_x^+}{-\frac{\partial \bar{c}}{\partial x}}$$

$$\frac{f_s}{c^2} = \frac{-R \left\{ \bar{\rho} \left(\frac{\partial \bar{u}}{\partial t} + \bar{u} \frac{\partial \bar{u}}{\partial x} \right) + \frac{\partial \bar{p}}{\partial x} \right\}}{\bar{\rho} |\bar{u}| |\bar{u}|}, \quad \text{immers} \quad \frac{f_s}{c^2} = \frac{\tau_b}{\bar{\rho} |\bar{u}| |\bar{u}|}$$

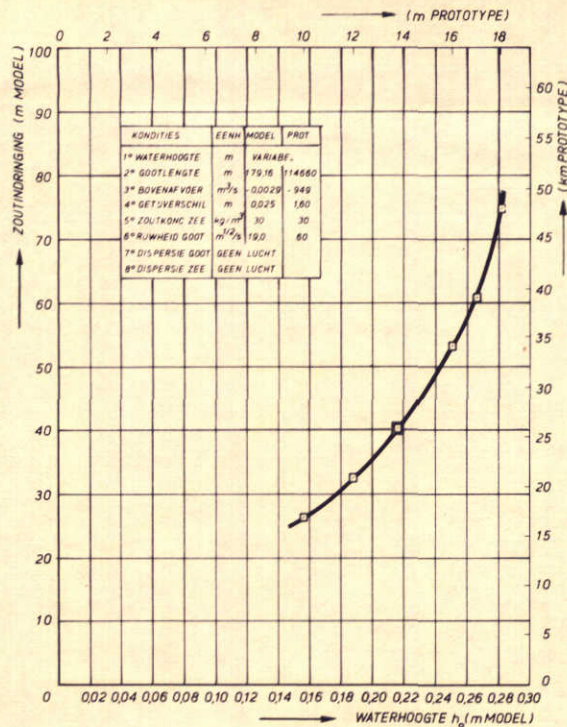
Hecberekende parameters:

$$Re = \frac{\bar{u}h}{v} \quad (\text{getal van Reynolds}), \quad Ke = \frac{\bar{u}^3}{\frac{\Delta \bar{p}}{\bar{\rho}} g v} \quad (\text{getal van Keulegan})$$

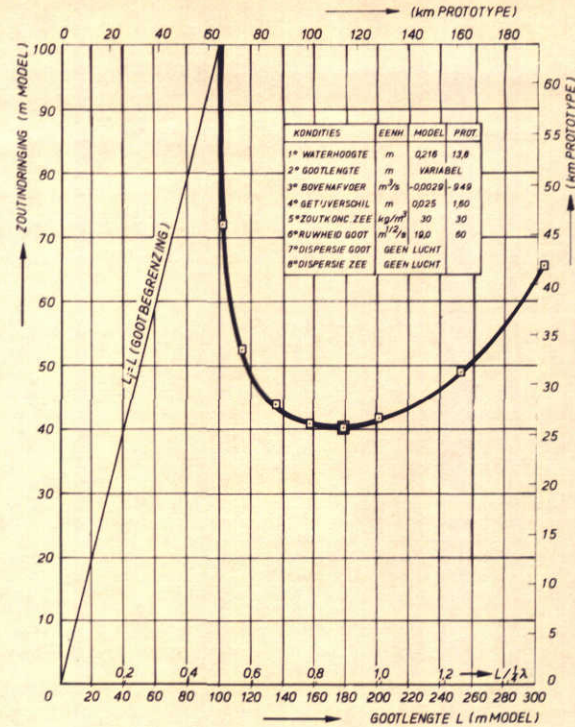
$$Fr_r = \frac{\bar{u}^2}{gh} \quad (\text{getal van Froude}), \quad Fr_r^+ = \frac{\bar{u}^2}{\frac{\Delta \bar{p}}{\bar{\rho}} gh} \quad (\text{intern Froudegetal})$$

$$R_p^{-1} = \frac{\bar{\rho} \left| \frac{\partial h}{\partial x} \right|}{-\frac{\partial \bar{p}}{\partial x}} \quad (\text{verhoudings- getal druk- gradienten}), \quad u_{\infty b} = \frac{\tau_b}{|\tau_b|} \sqrt{\frac{|\tau_b|}{\bar{\rho}}} \quad (\text{schuifspannings- snelheid})$$

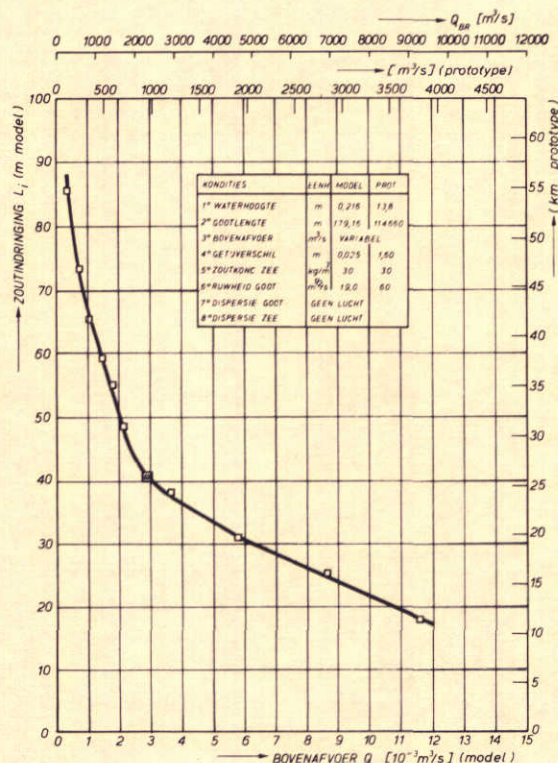
SCHEMA EENDIMENSIONAAL ONDERZOEK



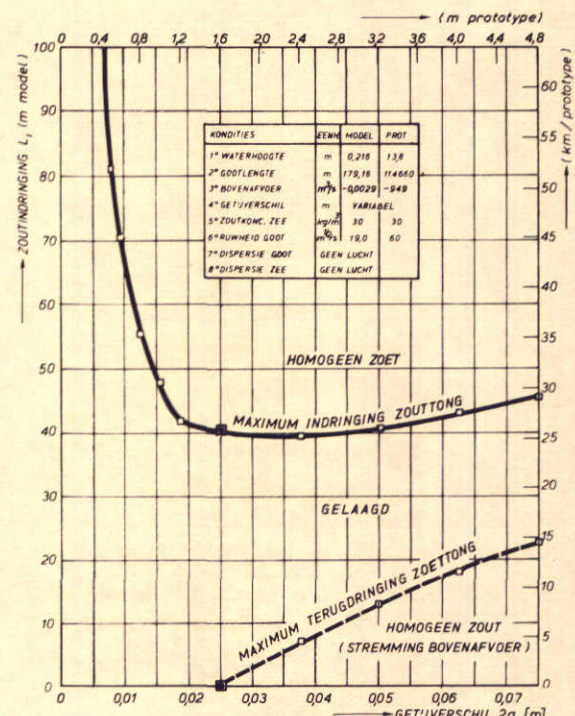
1° VARIATIE WATERHOOGTE



2° VARIATIE GOOTLENGBE



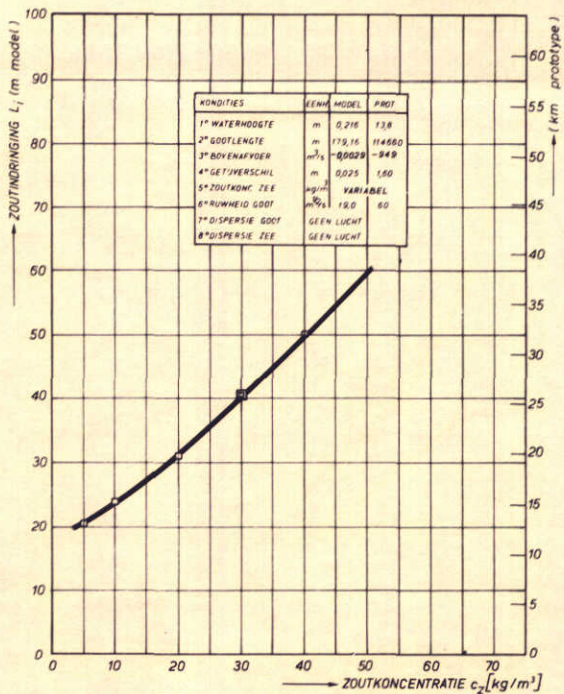
3° VARIATIE BOVENAFVOER



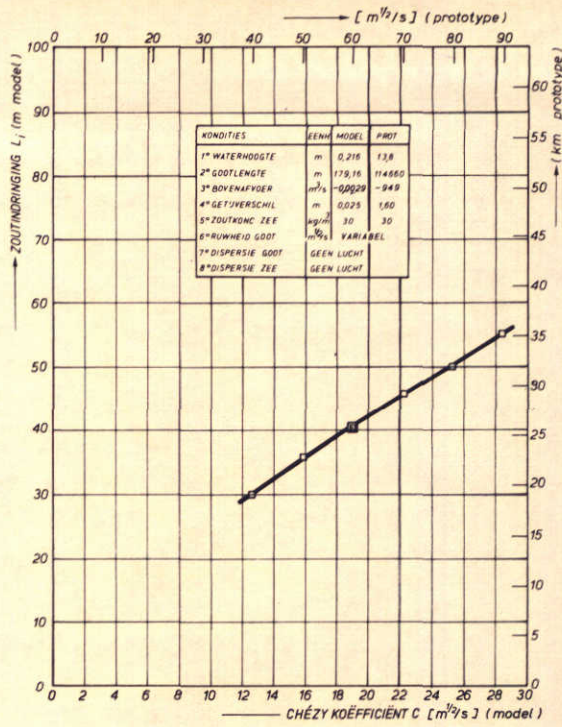
4° VARIATIE GETUVERSCHIL

SYSTEMATISCH ONDERZOEK ZOUTINDRINKING

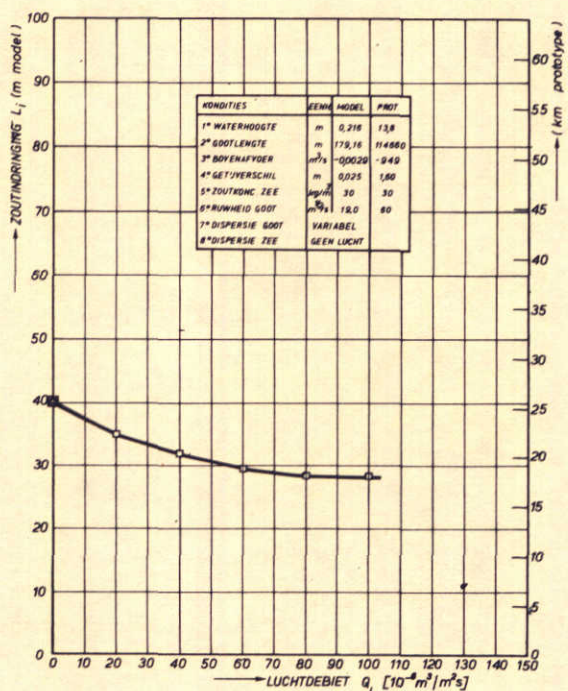
| | |
|------------------------------------|------|
| MEETRESULTATEN | j.z. |
| REFERENTIE PROEF ROTTERD. WATERWEG | A4 |



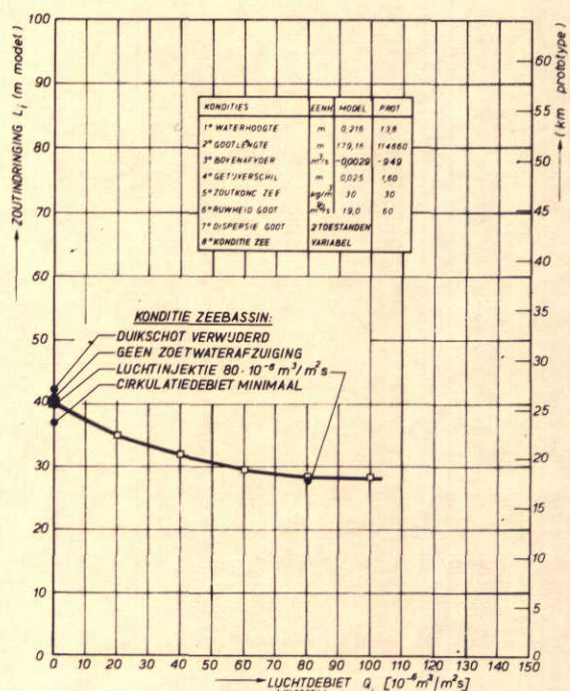
5.° VARIATIE ZOUTKONC. ZEE



6.° VARIATIE RUWHEID



7.° VARIATIE LUCHTINJEKTIE



8.° VARIATIE KONDITIE ZEE

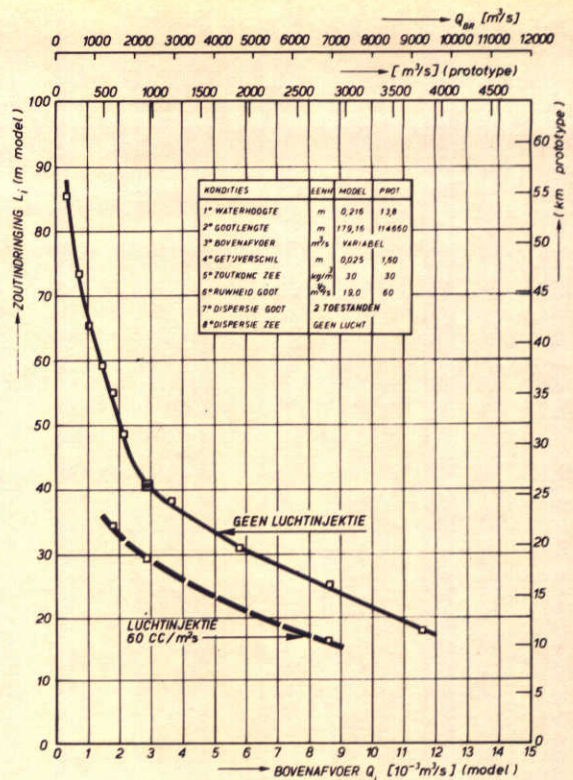
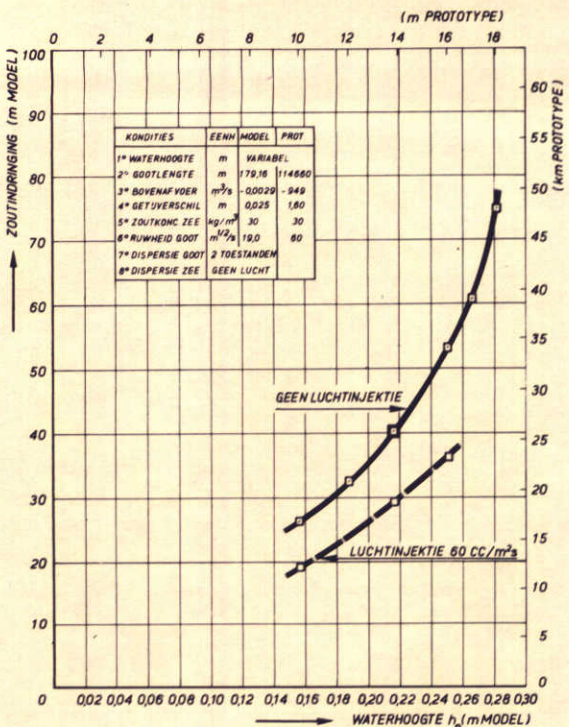
SYSTEMATISCH ONDERZOEK ZOUTINDRINGING

MEETRESULTATEN

REFERENTIEPROEF
ROTTERD. WATERWEG

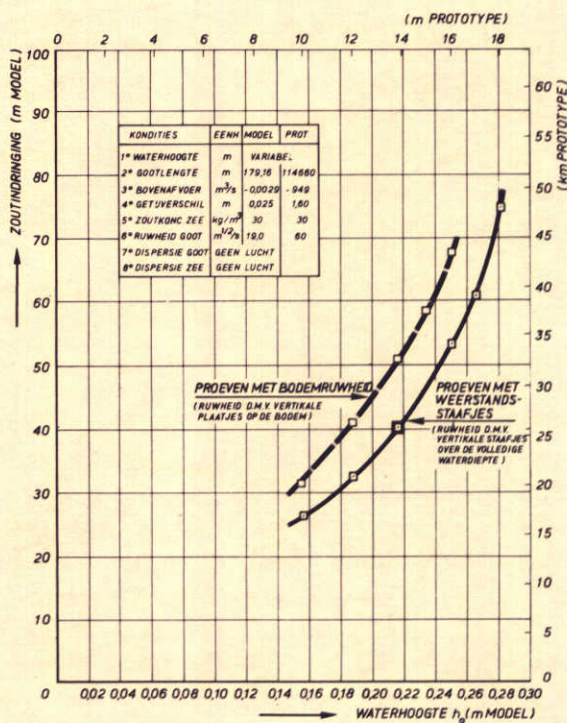
j.z.

A4



1' INVLOED LUCHTINJEKTIE BIJ VAR. h_0

3' INVLOED LUCHTINJEKTIE BIJ VAR. Q_B



1'' INVLOED TYPE RUWHEID BIJ VAR. h_0

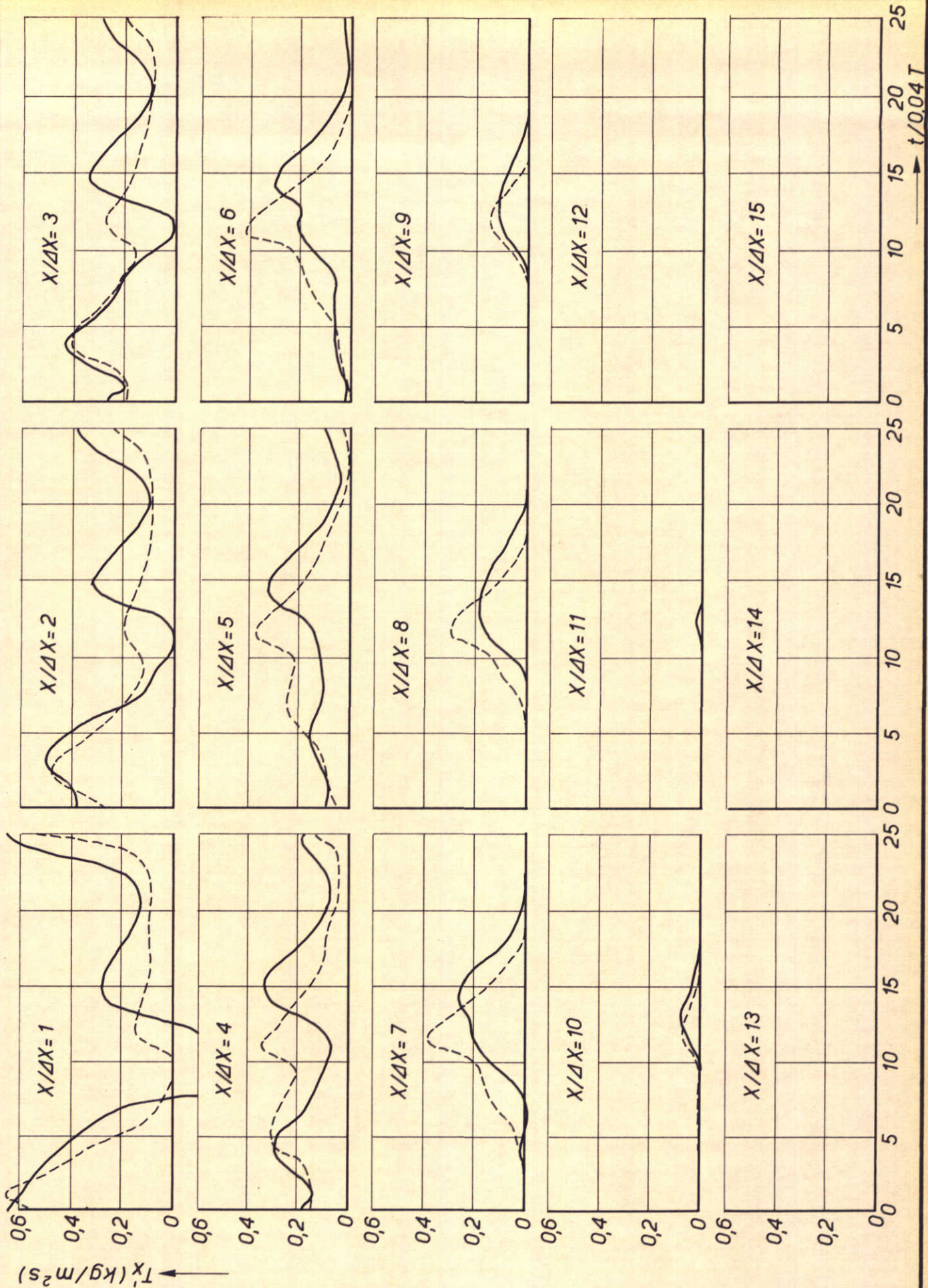
SYSTEMATISCH ONDERZOEK ZOUTINDRINGING

□ MEETRESULTATEN

j. z.

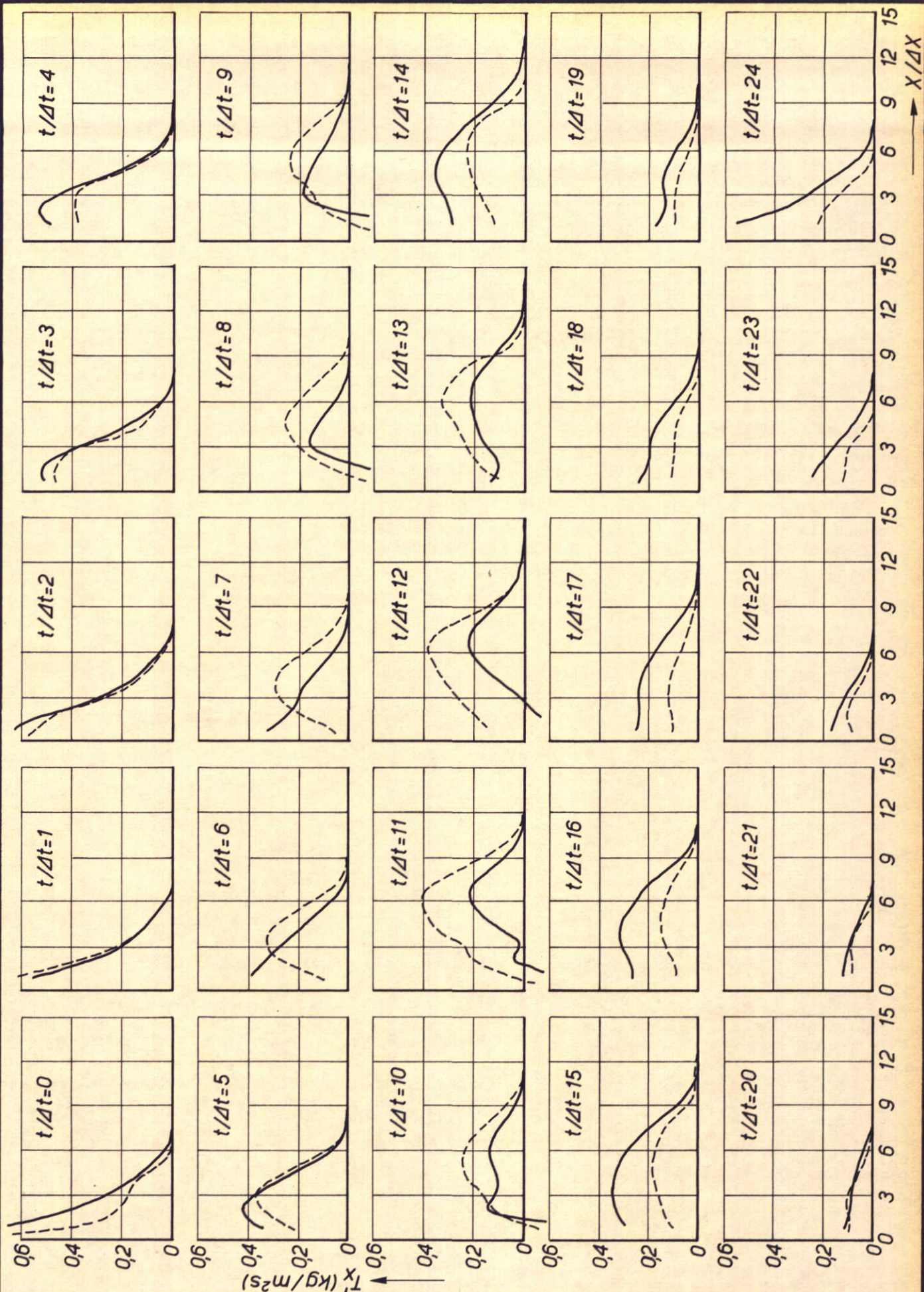
□ REFERENTIEPROEF
ROTTERD. WATERWEG

A4



DISPERSIEF TRANSPORT T_x' ALS $f(t)$ PROEVEN T_3/T_3^B
VERIFIKATIE PROFIELMETHODE

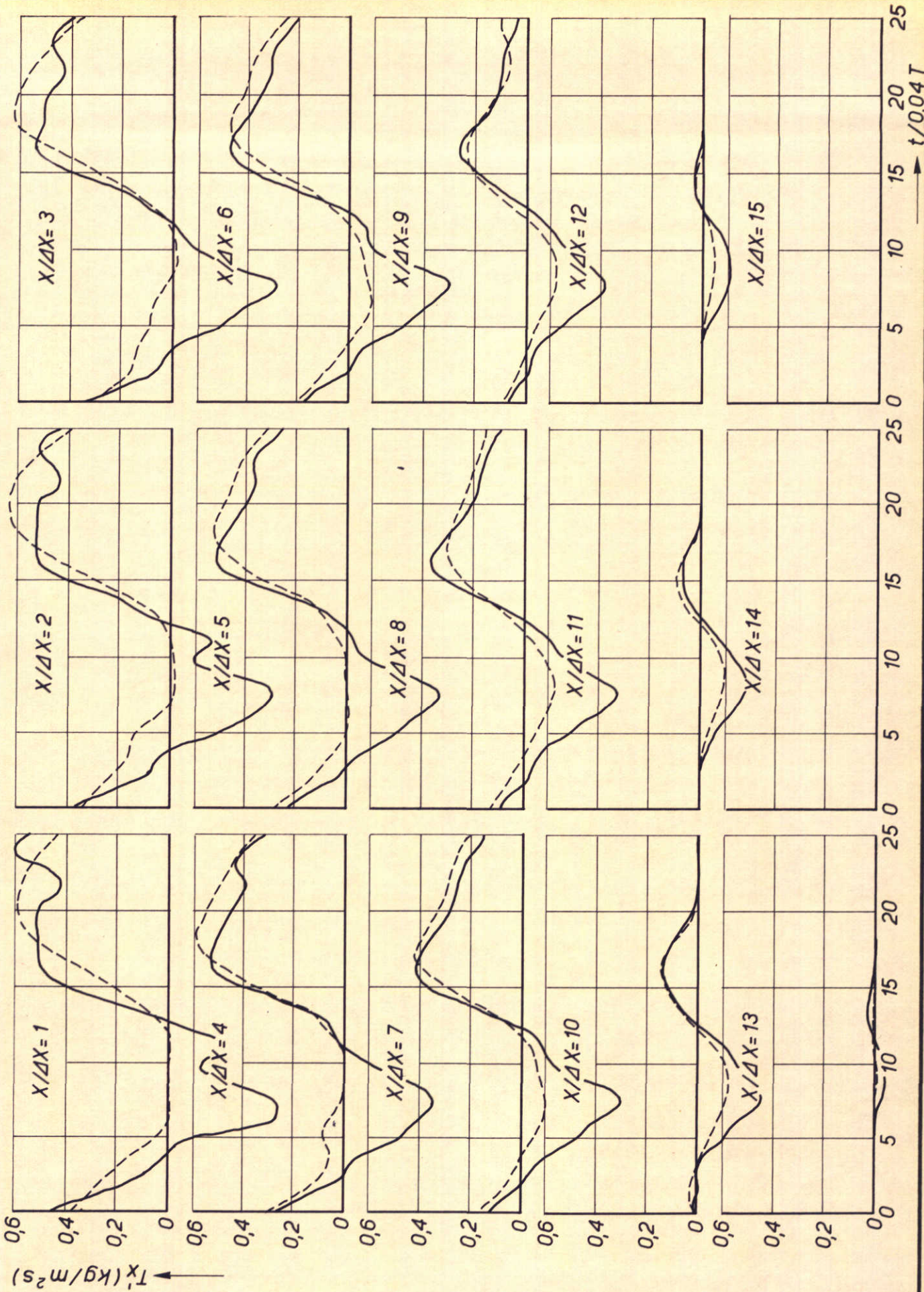
| | |
|-------|--------------|
| W | K |
| — | BALANSMETH. |
| - - - | PROFIELMETH. |
| A4 | |



DISPERSIEF TRANSPORT T_x' ALS $f(x)$ PROEVEN T_3/T_3B
VERIFIKATIE PROFIELMETHODE

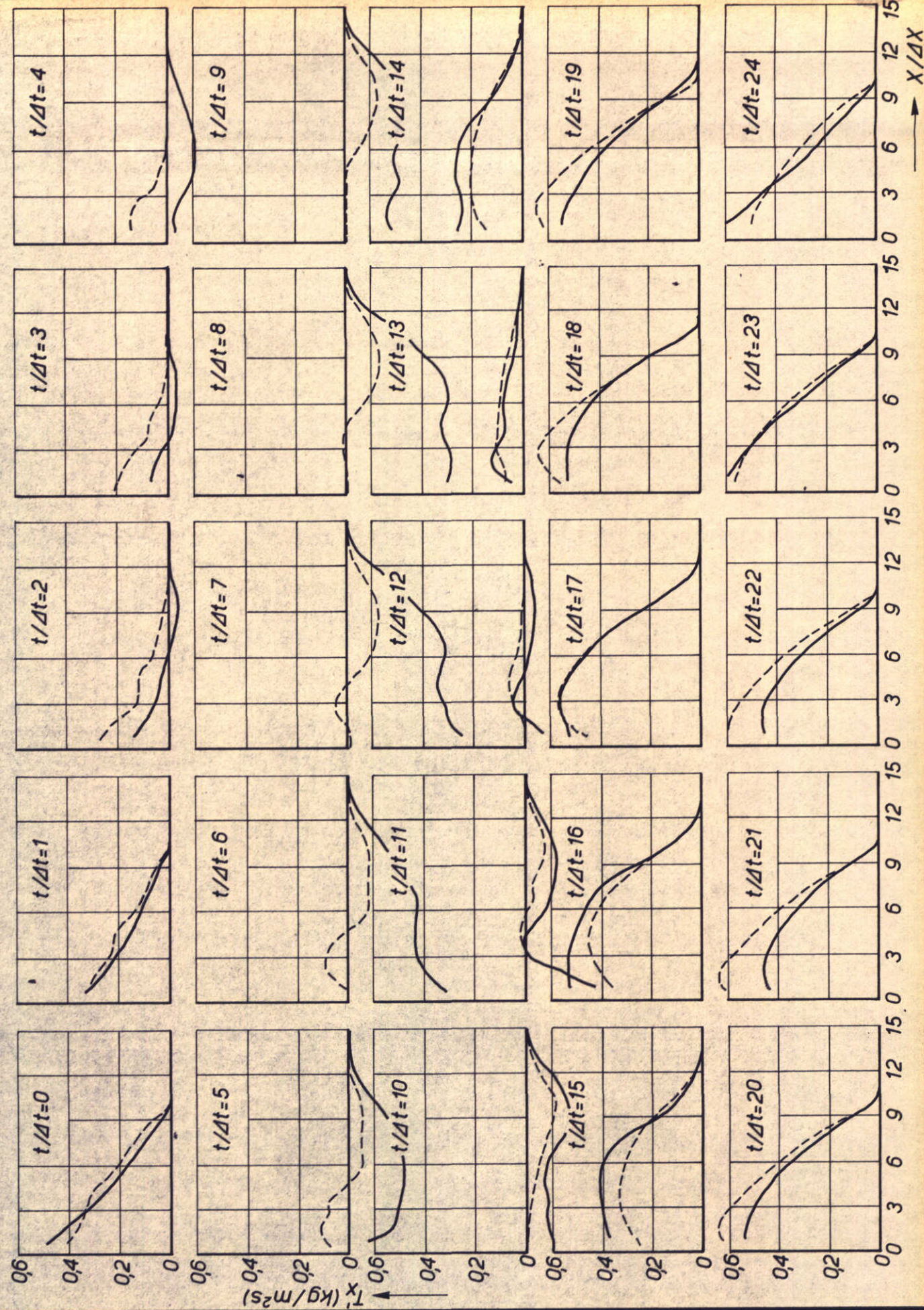
— BALANSMETH.
--- PROFIELMETH.

| | |
|----|---|
| W | K |
| A4 | |



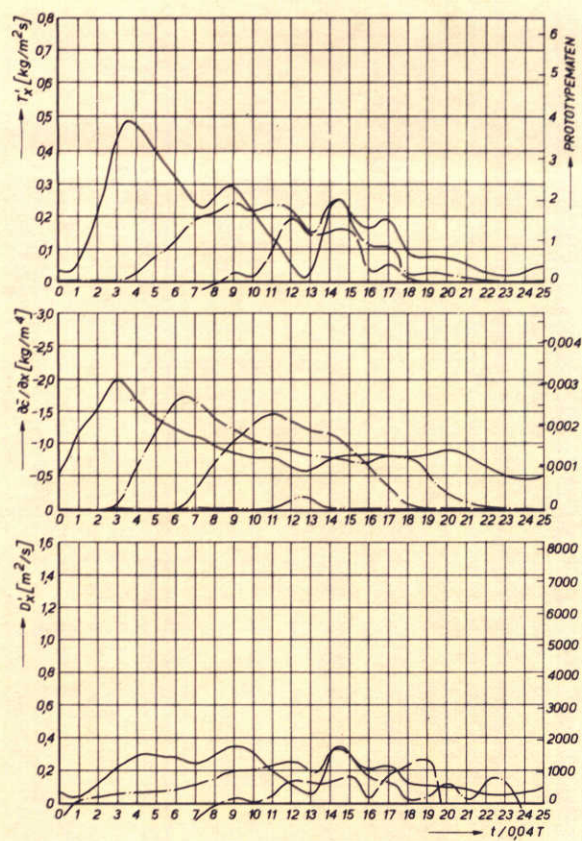
DISPERSIEF TRANSPORT T_x' ALS $f(t)$ PROEVEN T 145/T 146
VERIFIKATIE PROFIELMETHODE

| |
|-------|
| W_K |
| A4 |

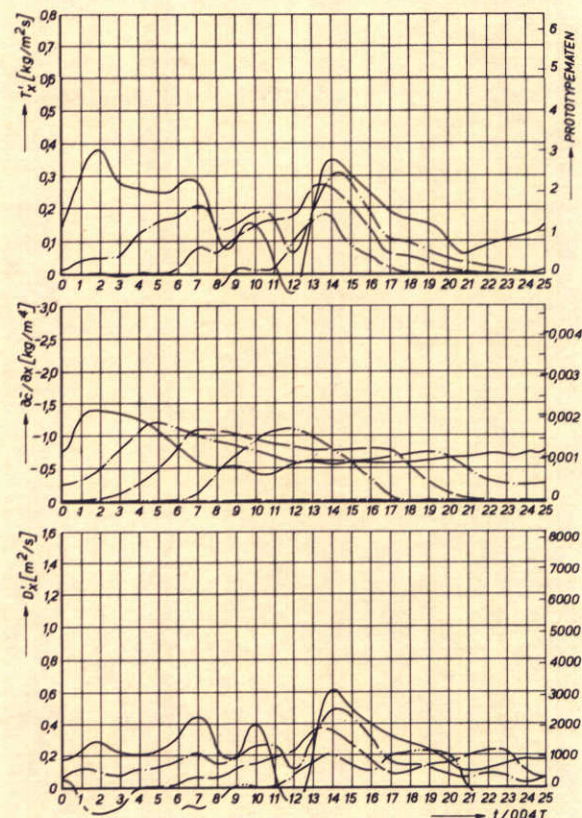


DISPERSIEF TRANSPORT T_x' ALS $f(x)$ PROEVEN T 145/T 146
VERIFIKATIE PROFIELMETHODE

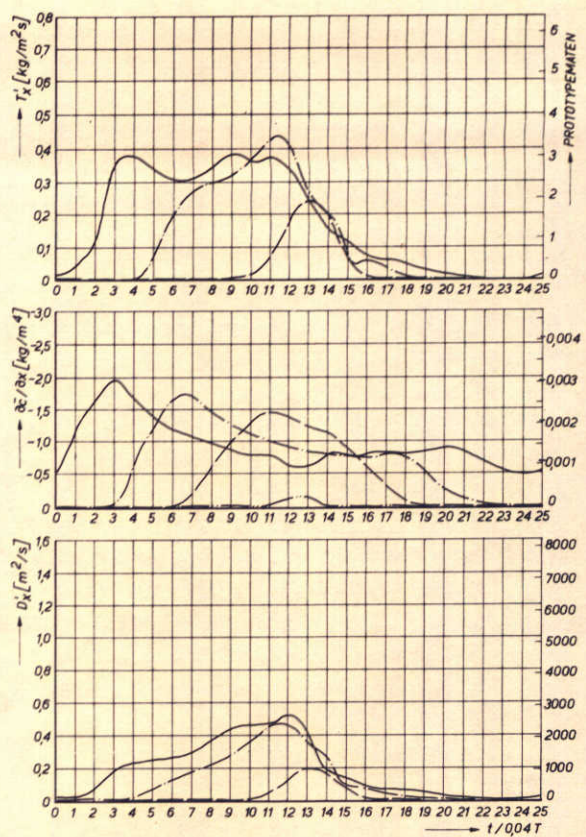
— BALANSMETH.
- - - PROFIELMETH.



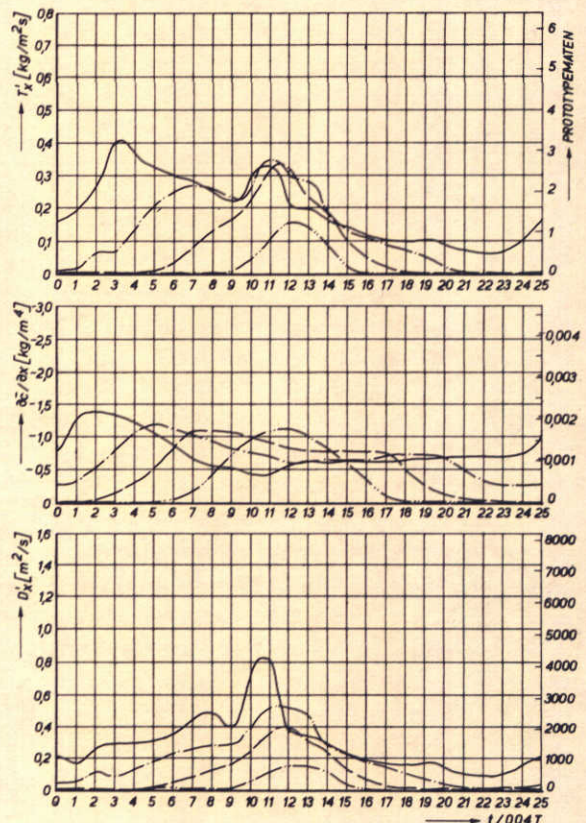
BALANSMETHODE

PROEF T 106 ($h_0 = 10 \text{ m}$)

BALANSMETHODE

PROEF T 107 ($h_0 = 12 \text{ m}$)

PROFIELMETHODE

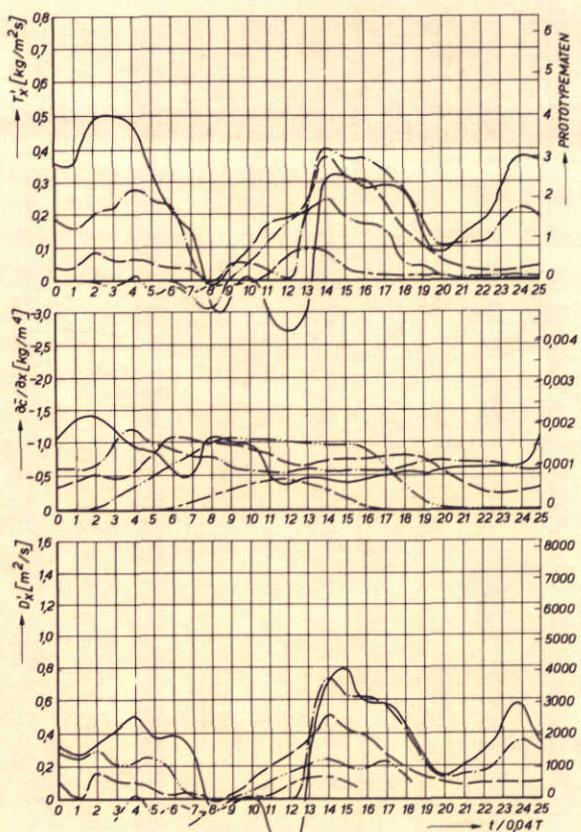


PROFIELMETHODE

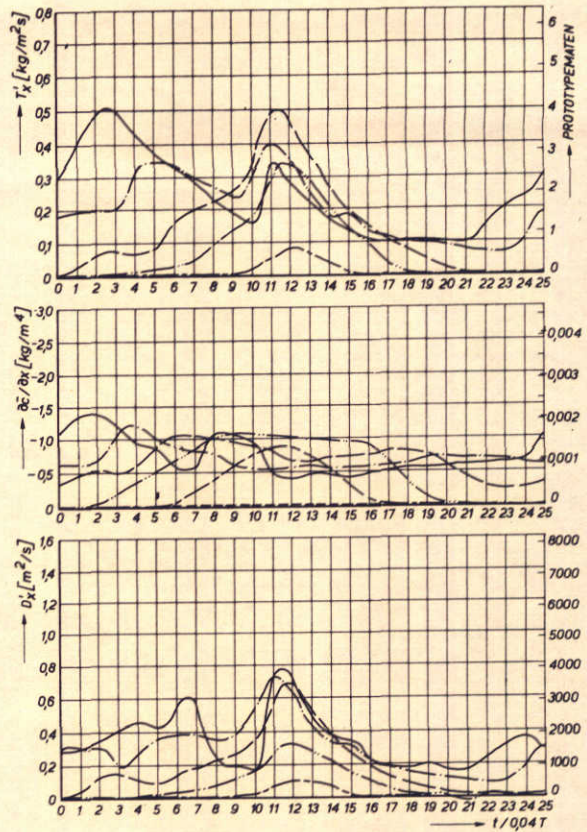
BALANSMETHODE VS. PROFIELMETHODE

PROEVEN RUWHEID d.m.v. STAAFJES

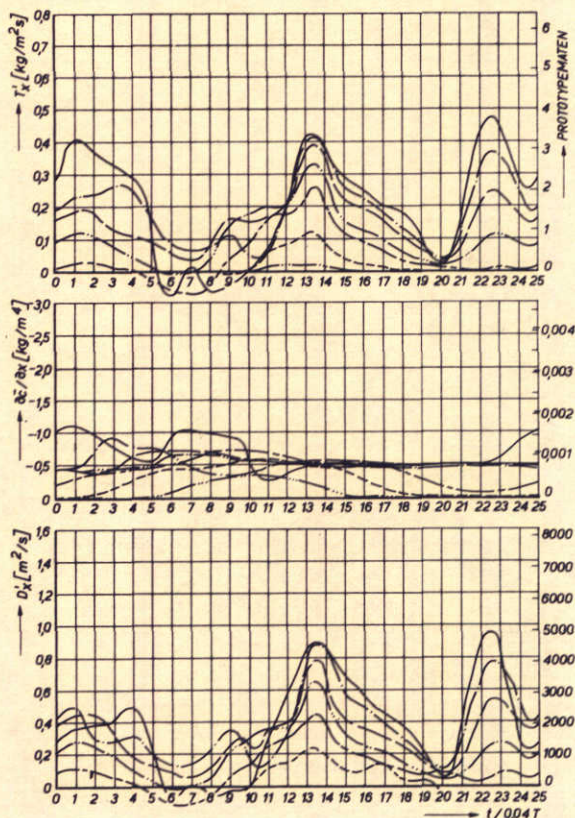
| | |
|--------------------------|------|
| $X/\Delta X = 2, 4, 6$ | W |
| $X/\Delta X = 8, 10, 12$ | K |
| $X/\Delta X = 14, 16$ | $A4$ |



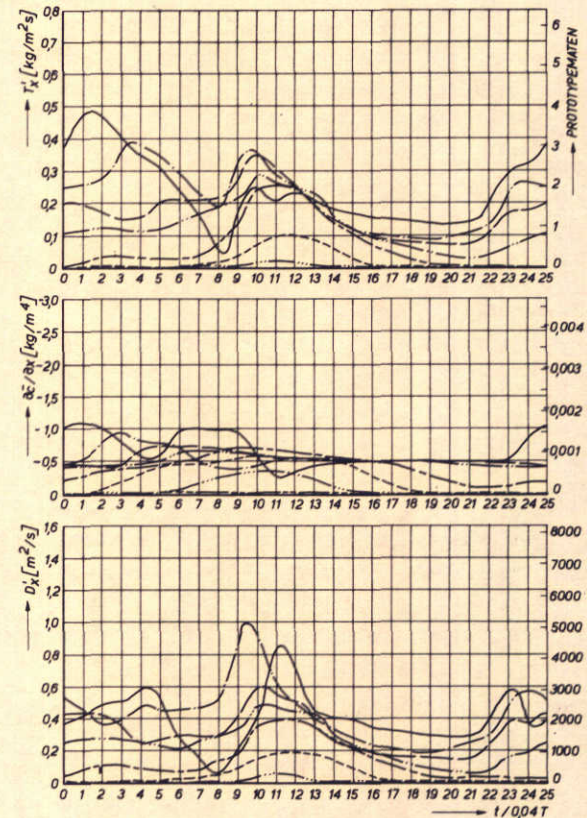
BALANSMETHODE

PROEF T 3 ($h_0 = 13,8 \text{ m}$)

PROFIELMETHODE



BALANSMETHODE

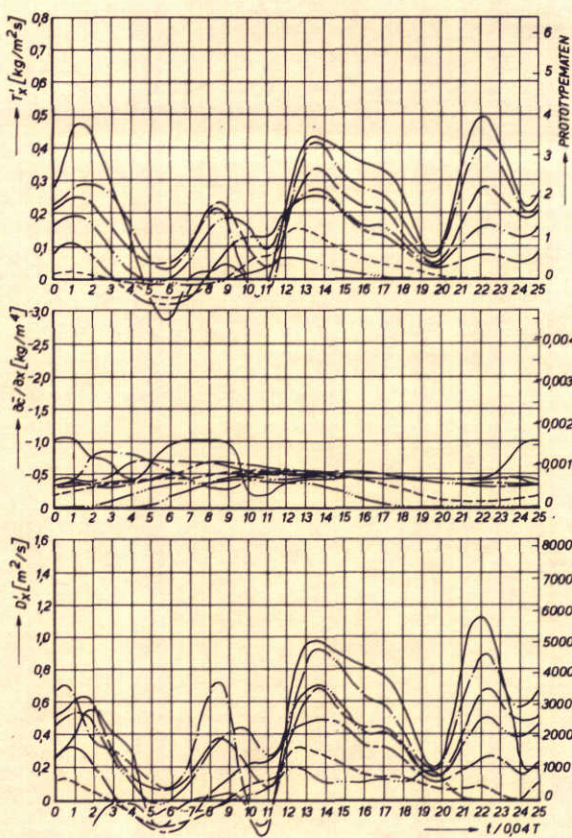
PROEF T 108 ($h_0 = 16 \text{ m}$)

PROFIELMETHODE

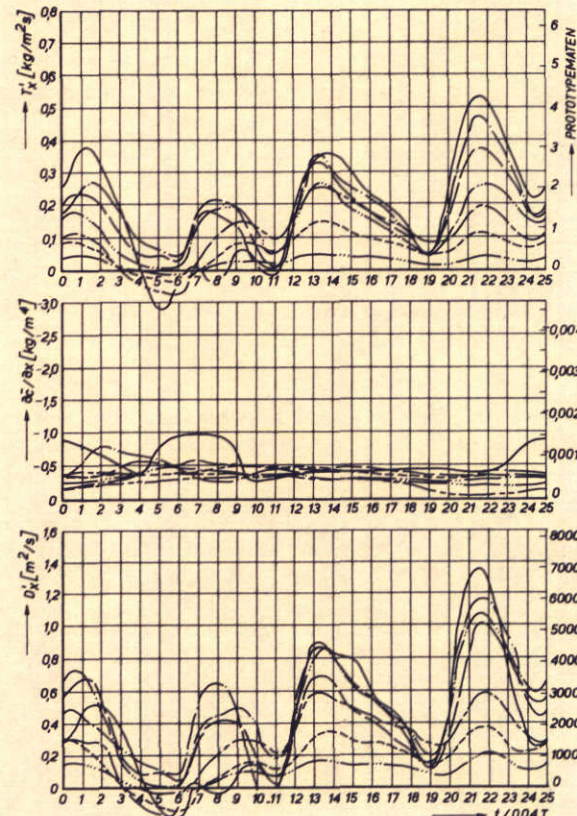
BALANSMETHODE VS. PROFIELMETHODE

PROEVEN RUWHEID d.m.v. STAAFJES

| | | |
|----------------|--------------------------|----|
| $\cdots\cdots$ | $X/\Delta X = 2, 4, 6$ | W |
| $- - - -$ | $X/\Delta X = 8, 10, 12$ | K |
| $- - - - -$ | $X/\Delta X = 14, 16$ | A4 |



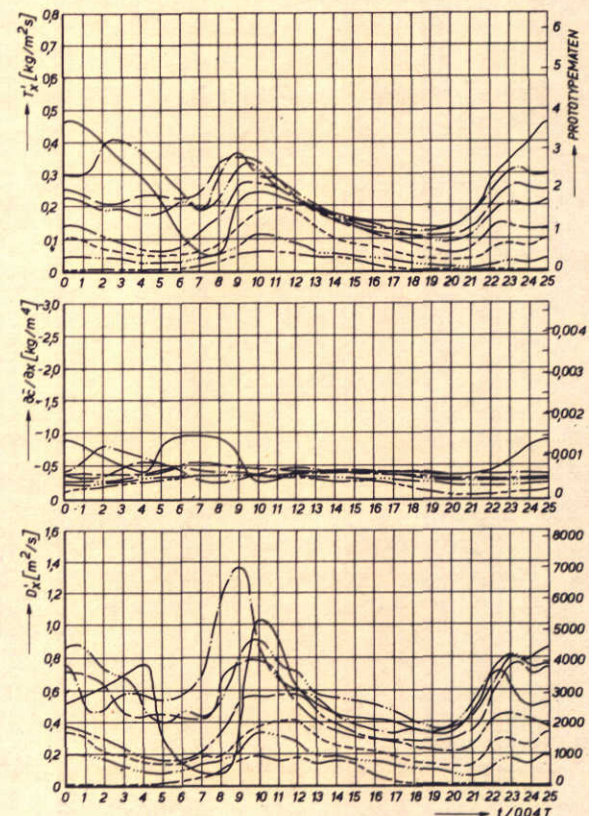
BALANSMETHODE

PROEF T 110 ($h_0 = 17 \text{ m}$)

BALANSMETHODE

PROEF T 109 ($h_0 = 18 \text{ m}$)

PROFIELMETHODE

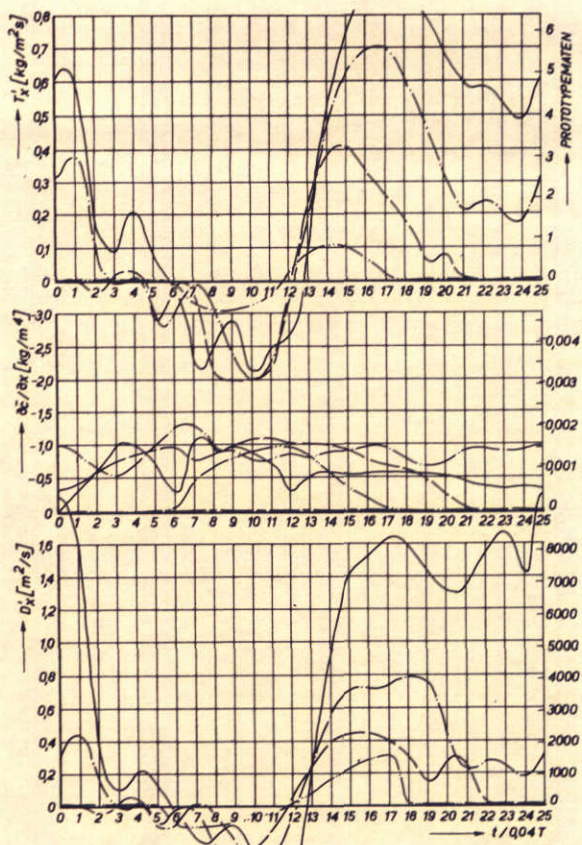


PROFIELMETHODE

BALANSMETHODE VS. PROFIELMETHODE

PROEVEN RUWHEID d.m.v. STAAFJES

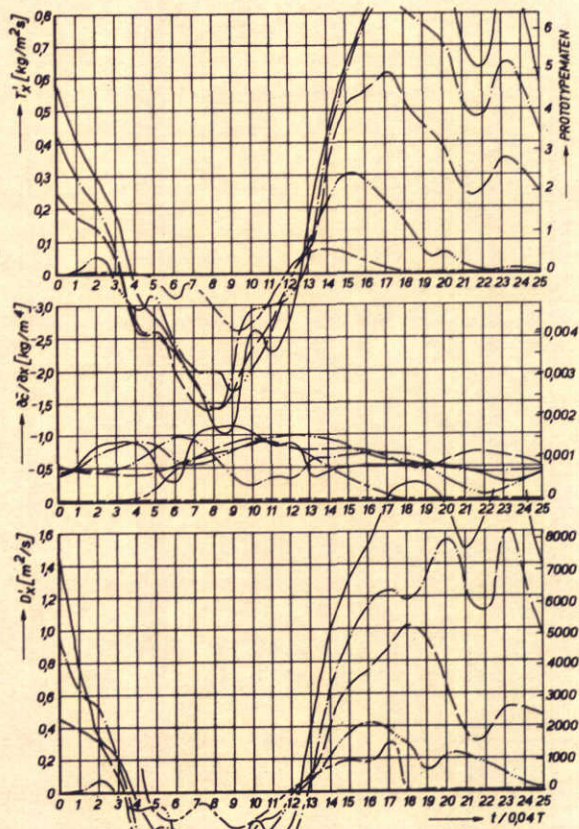
| | | |
|----------------|--------------------------|----|
| $\cdots\cdots$ | $X/\Delta X = 2, 4, 6$ | W |
| $- - - -$ | $X/\Delta X = 8, 10, 12$ | K |
| $- - - - -$ | $X/\Delta X = 14, 16$ | A4 |



BALANSMETHODE

PROEF T 149 ($h_0 = 10 \text{ m}$)

PROFIELMETHODE



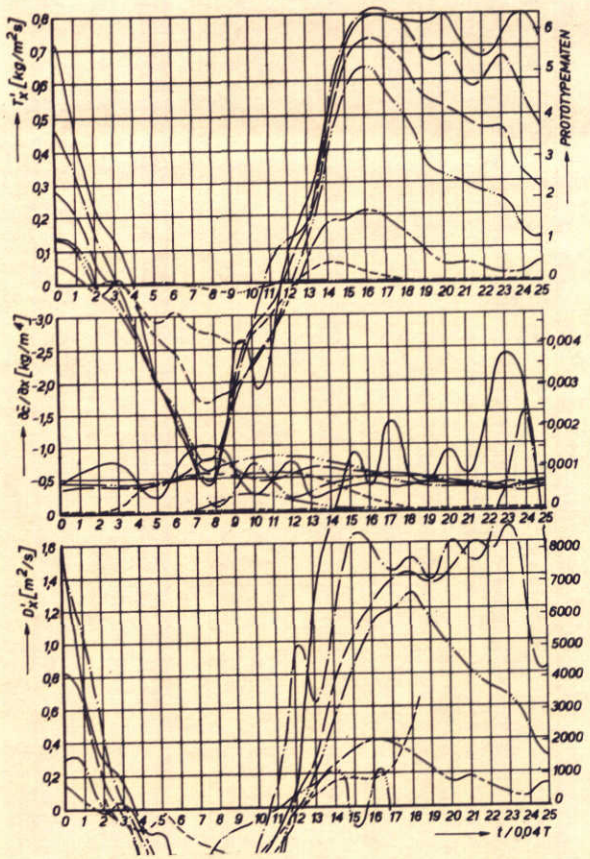
BALANSMETHODE

PROEF T 148 ($h_0 = 12 \text{ m}$)

| | | |
|--------------|--------------------------|------|
| $\dots\dots$ | $X/\Delta X = 2, 4, 6$ | W |
| $- - -$ | $X/\Delta X = 8, 10, 12$ | K |
| $---$ | $X/\Delta X = 14, 16$ | $A4$ |

BALANSMETHODE VS. PROFIELMETHODE

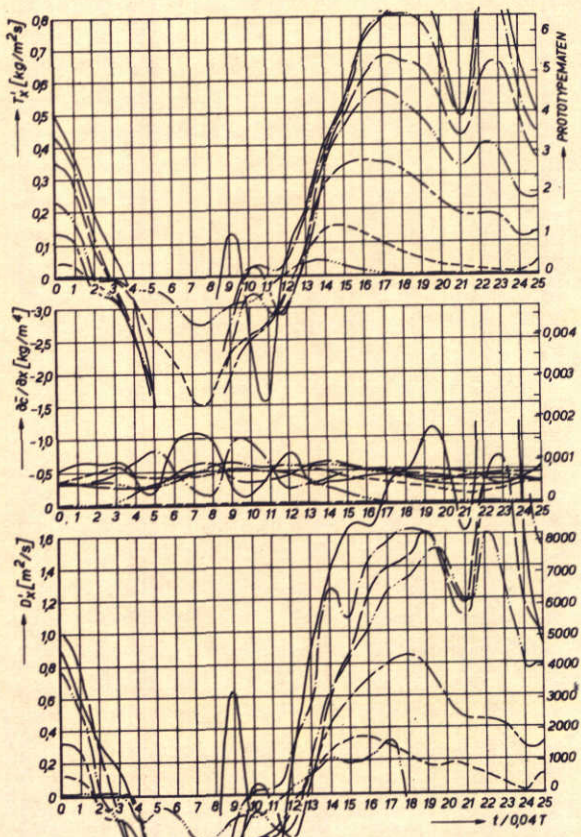
PROEVEN MET BODEMRUWHEID



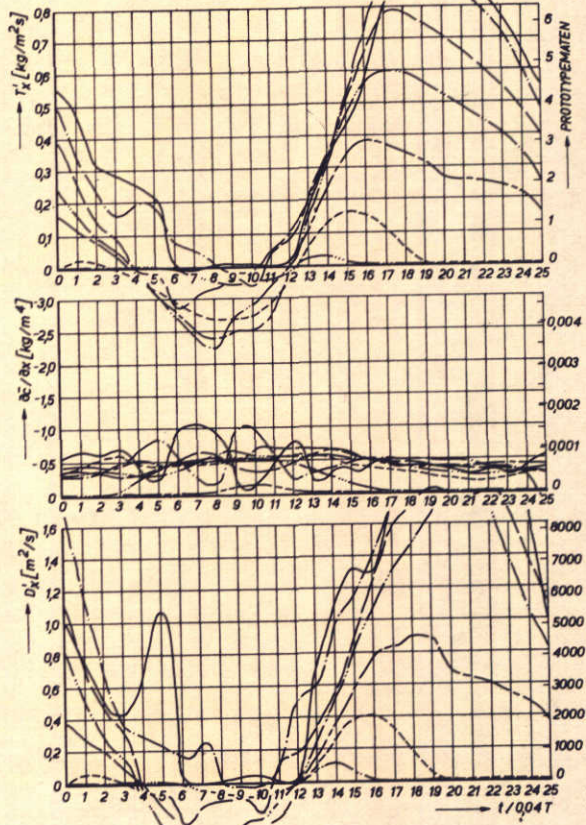
BALANSMETHODE

PROEF T 145 ($h_0 = 13,8 \text{ m}$)

PROFIELMETHODE



BALANSMETHODE

PROEF T 147 ($h_0 = 15 \text{ m}$)

PROFIELMETHODE

BALANSMETHODE VS. PROFIELMETHODE

PROEVEN MET BODEMRUWHEID

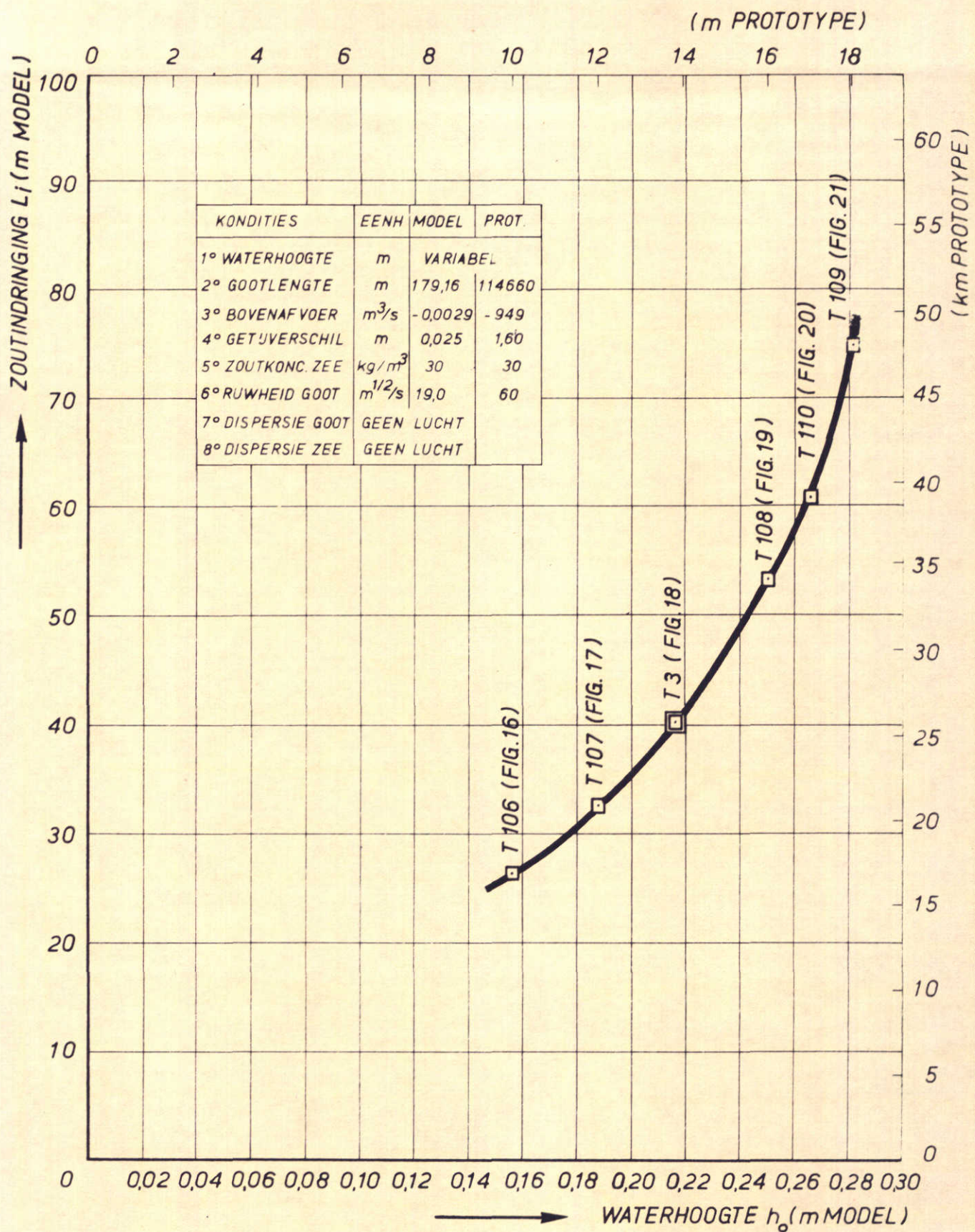
WATERLOOPKUNDIG

LABORATORIUM

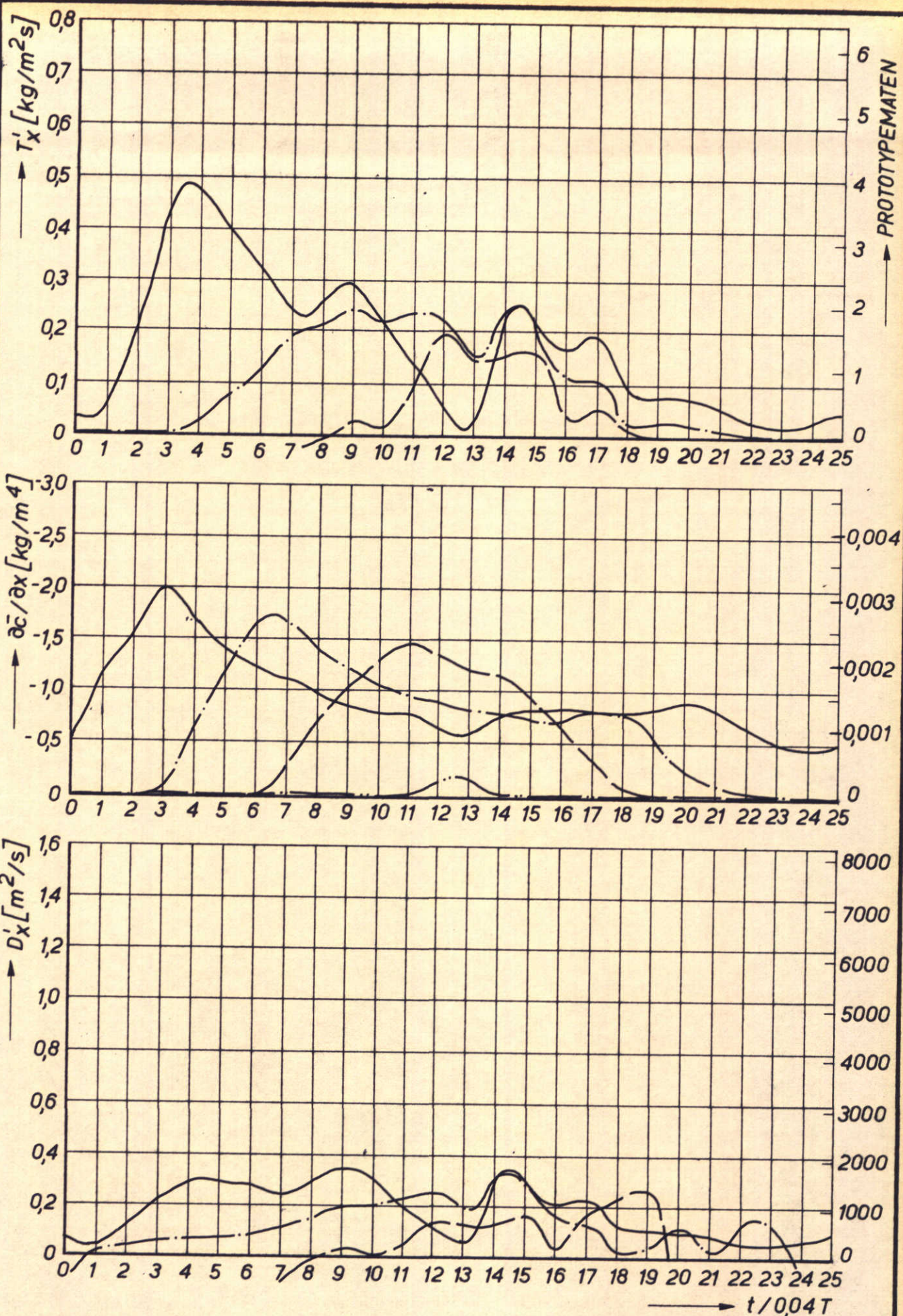
| | |
|--------------------------|------|
| $X/\Delta X = 2, 4, 6$ | W |
| $X/\Delta X = 8, 10, 12$ | K |
| $X/\Delta X = 14, 16$ | $A4$ |

M 896 - 2149

FIG. 14



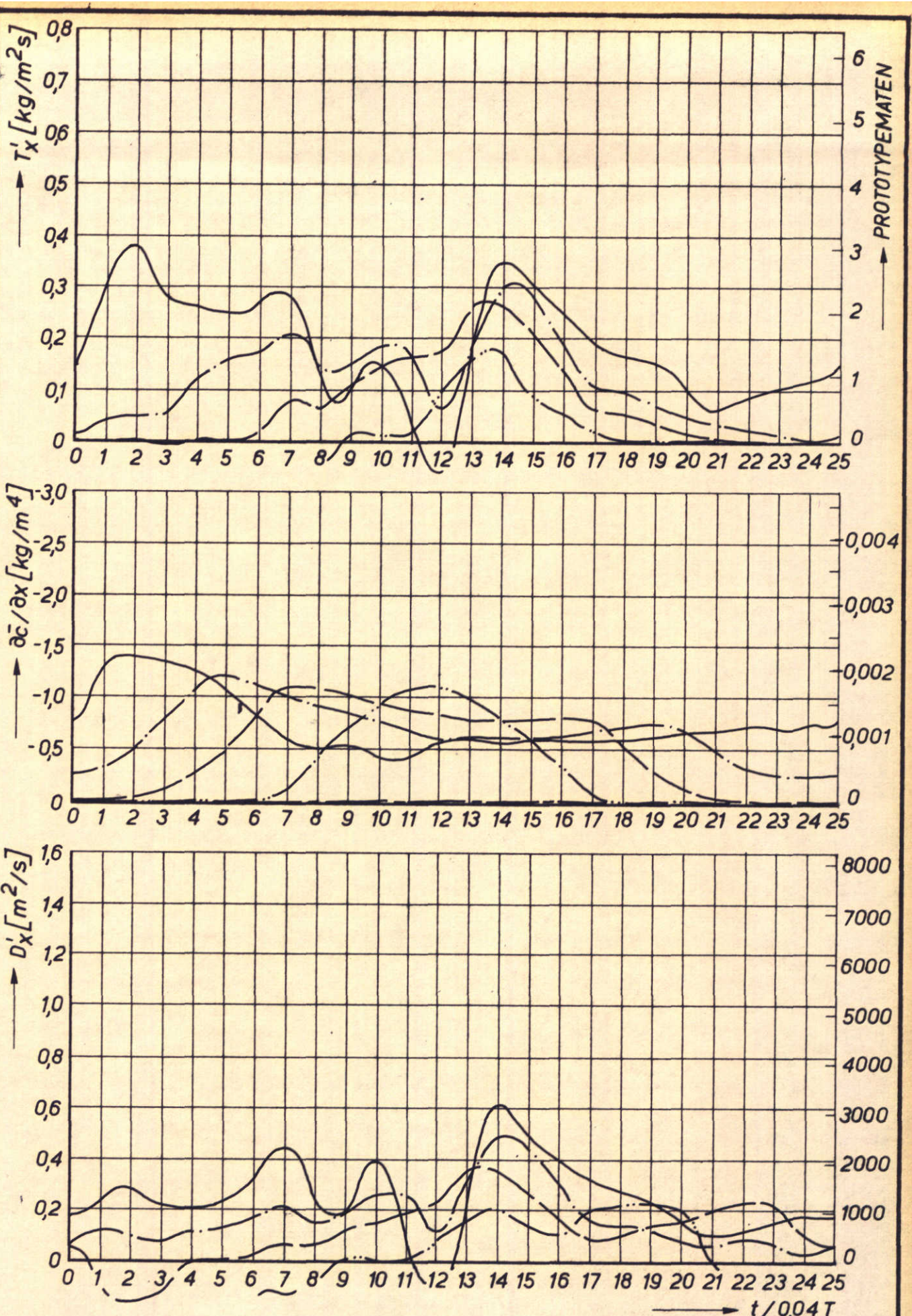
ZOUTINDRINGING BIJ VARIATIE WATERHOOGTE



ONDERZOEK VARIATIE WATERHOOGTE
PROEF T 106 ($h_0 = 10 \text{ m}$ PROTOTYPE)

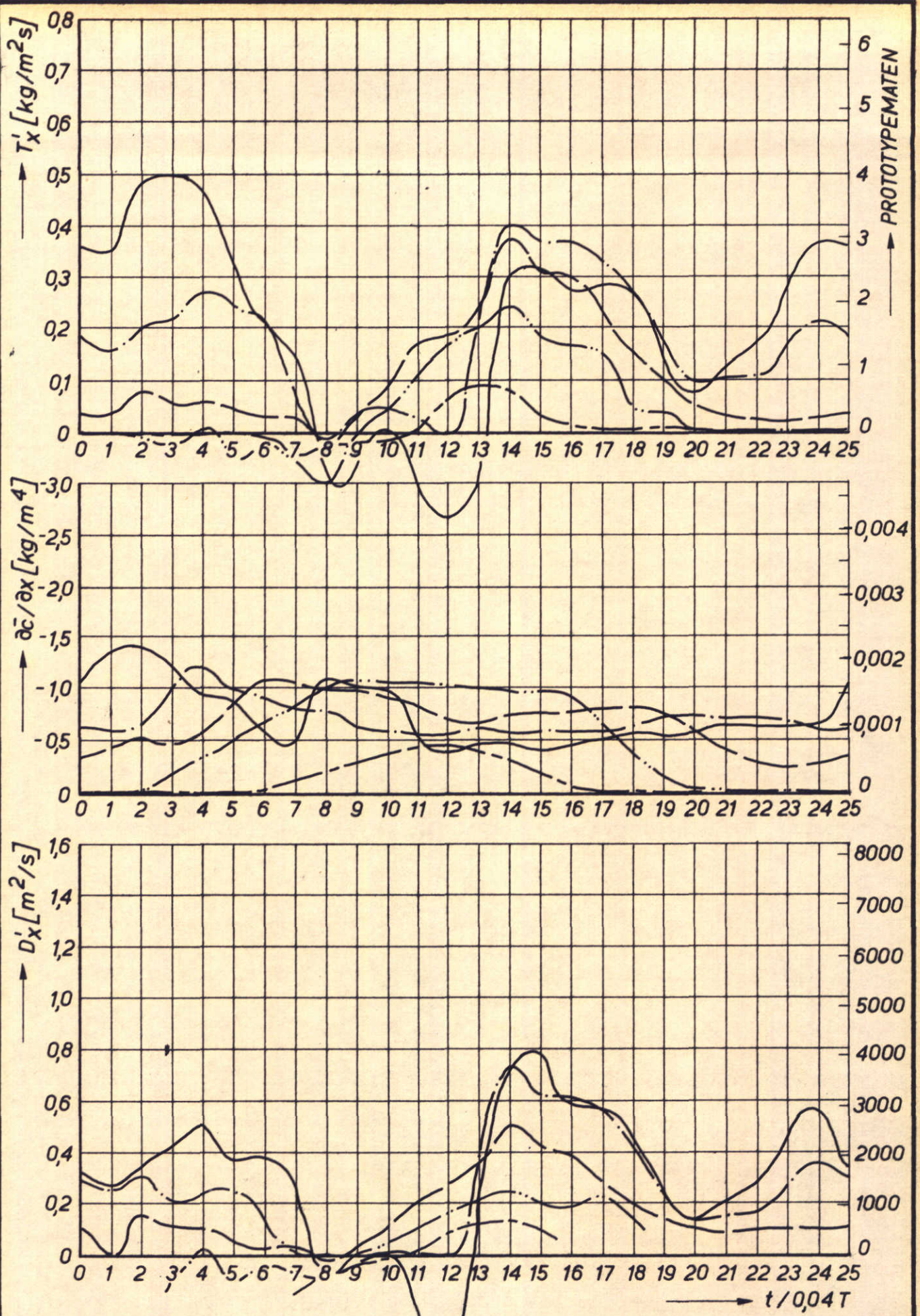
— X/ΔX = 2, 4, 6
— X/ΔX = 8, 10, 12
— X/ΔX = 14, 16

W_K
A4



ONDERZOEK VARIATIE WATERHOOGTE
PROEF T 107 ($h_0 = 12 m$ · PROTOTYPE)

| | |
|--------------------------|-------|
| $X/\Delta X = 2, 4, 6$ | W_K |
| $X/\Delta X = 8, 10, 12$ | |
| $X/\Delta X = 14, 16$ | $A4$ |

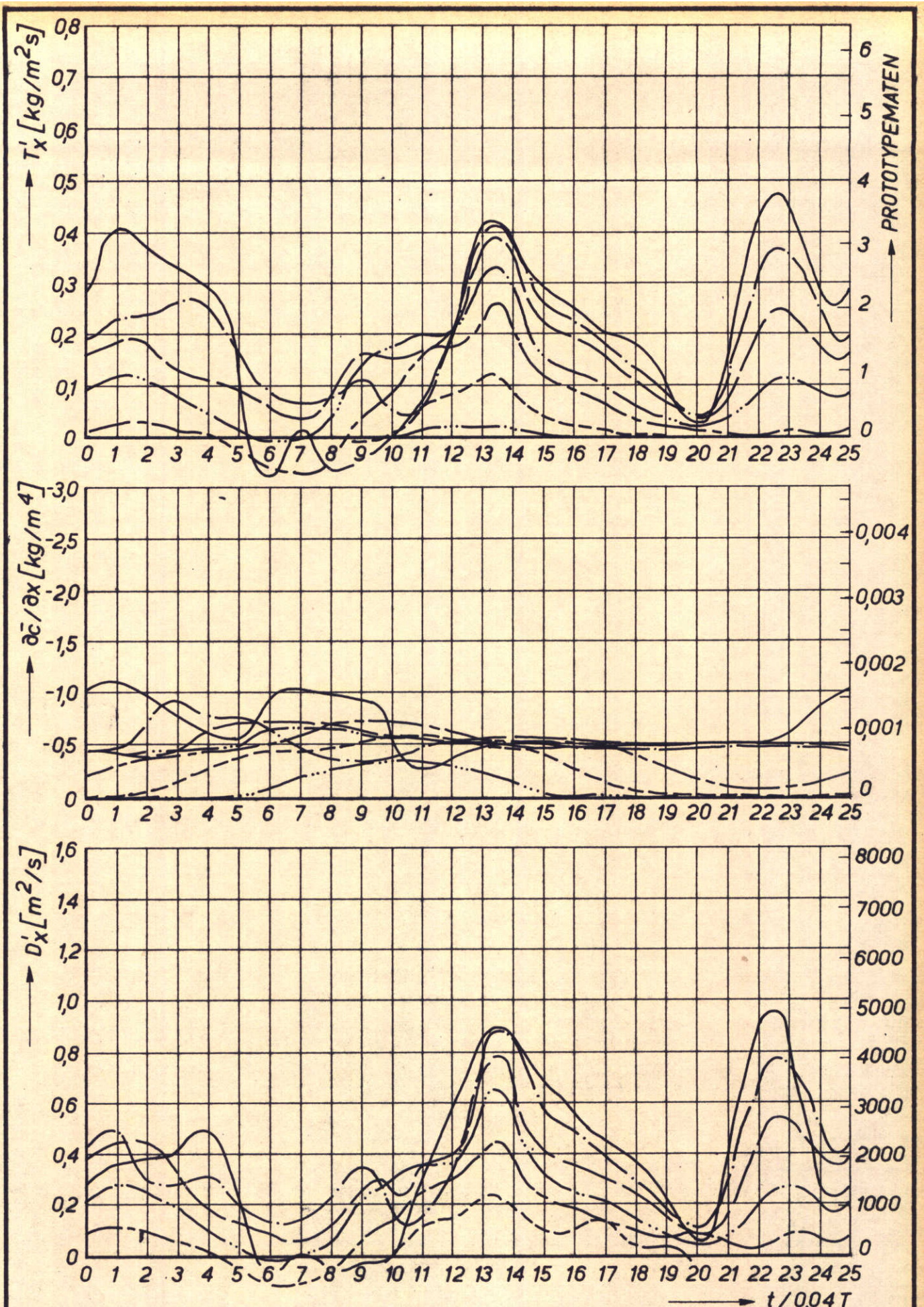


ONDERZOEK VARIATIE WATERHOOGTE
PROEF T3 ($h_0 = 13,8 m$ PROTOTYPE)

— $X/\Delta X = 2, 4, 6$
— $X/\Delta X = 8, 10, 12$
— $X/\Delta X = 14, 16$

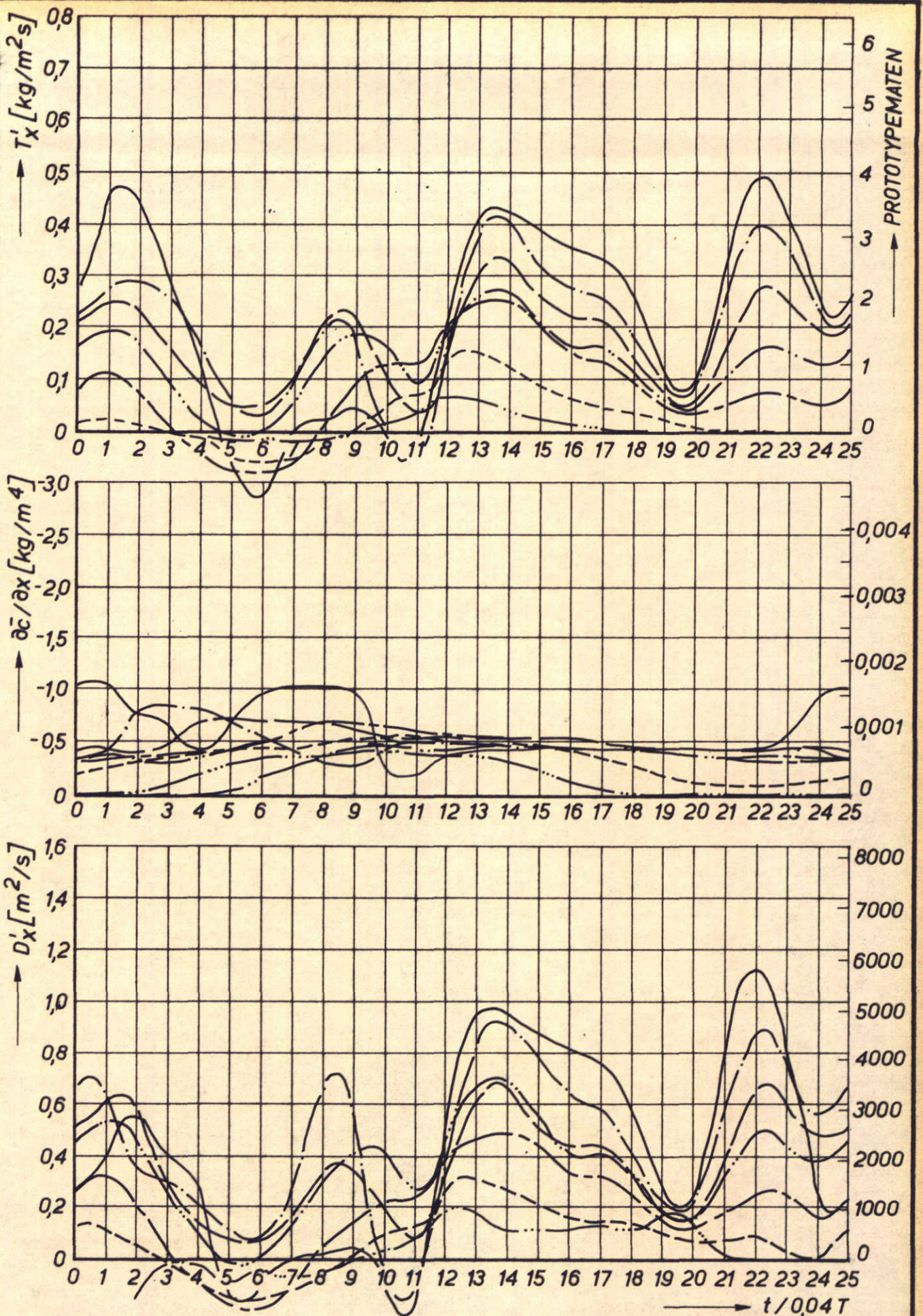
W_K

A4



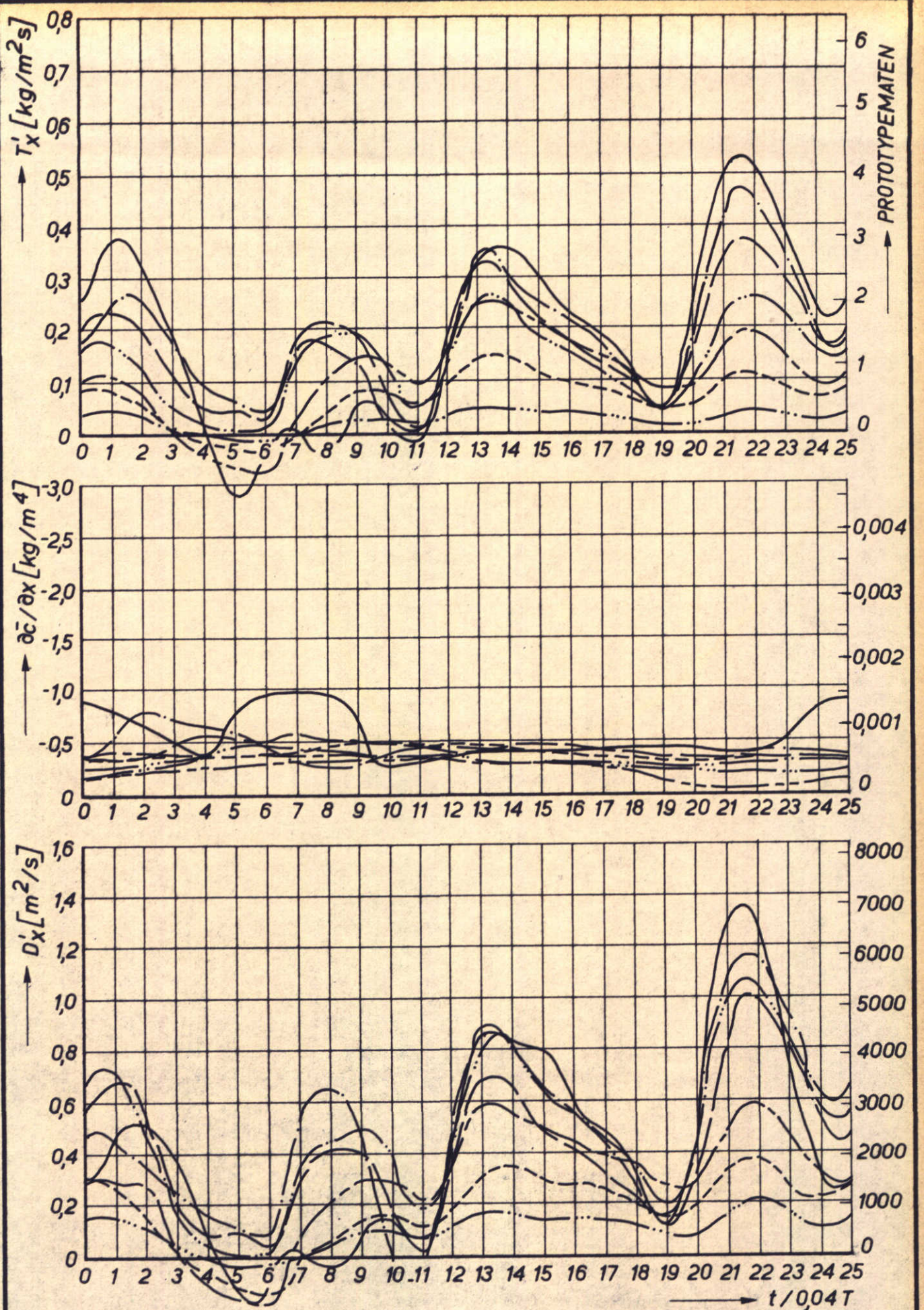
ONDERZOEK VARIATIE WATERHOOGTE
PROEF T 108 ($h_0 = 16 \text{ m}$ PROTOTYPE)

| | | |
|-----------------|--------------------------|-------|
| $\equiv \equiv$ | $X/\Delta X = 2, 4, 6$ | W_K |
| $\equiv \equiv$ | $X/\Delta X = 8, 10, 12$ | |
| $\equiv \equiv$ | $X/\Delta X = 14, 16$ | A4 |



ONDERZOEK VARIATIE WATERHOOGTE
PROEF T 110 ($h_0 = 17 \text{ m}$ PROTOTYPE)

| | |
|--------------------------|-------|
| $X/\Delta X = 2, 4, 6$ | w_K |
| $X/\Delta X = 8, 10, 12$ | |
| $X/\Delta X = 14, 16$ | A4 |

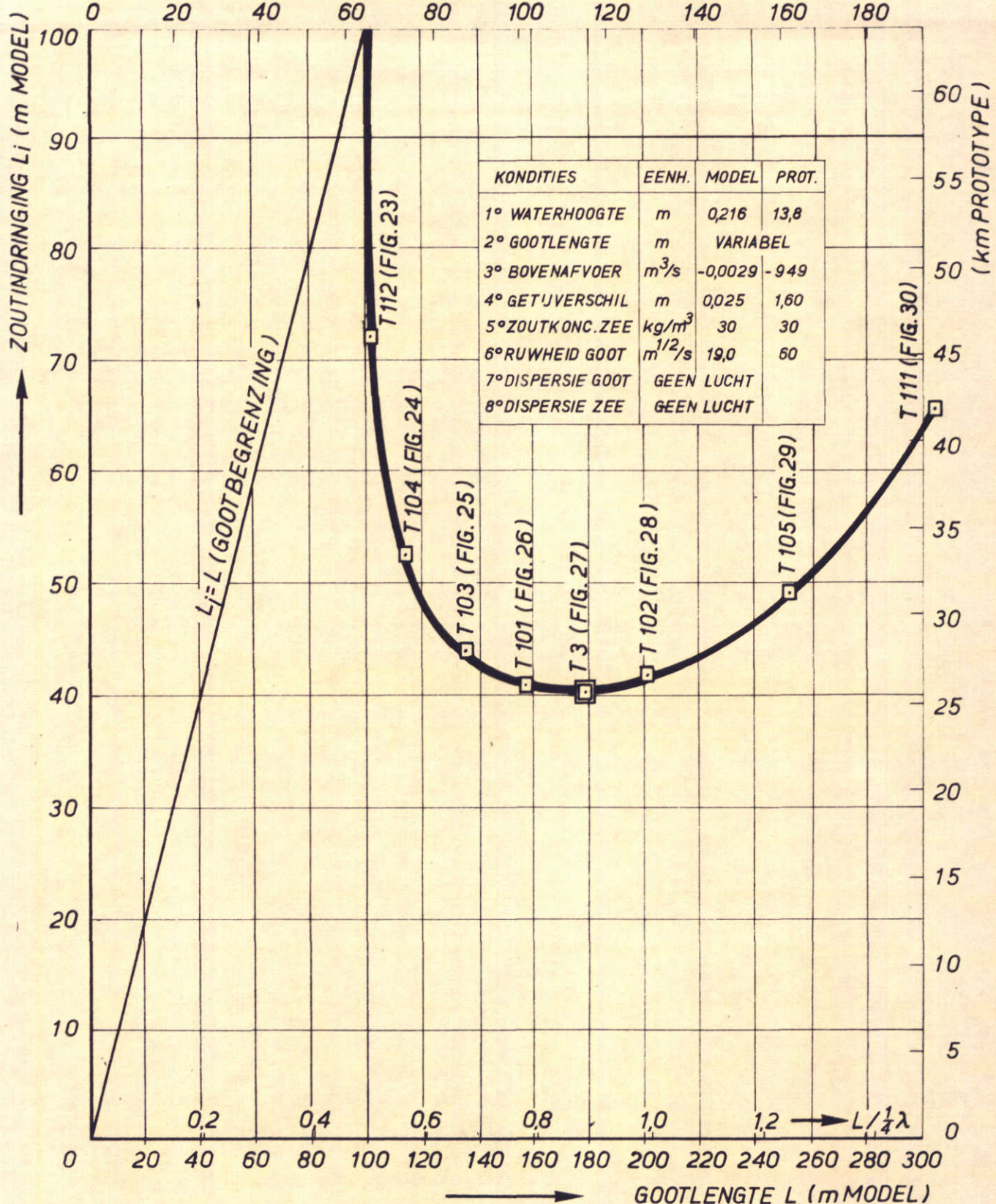


ONDERZOEK VARIATIE WATERHOOGTE
PROEF T 109 ($h_0 = 18 m$ PROTOTYPE)

$X/\Delta X = 2, 4, 6$
 $X/\Delta X = 8, 10, 12$
 $X/\Delta X = 14, 16$

W_K
 $A4$

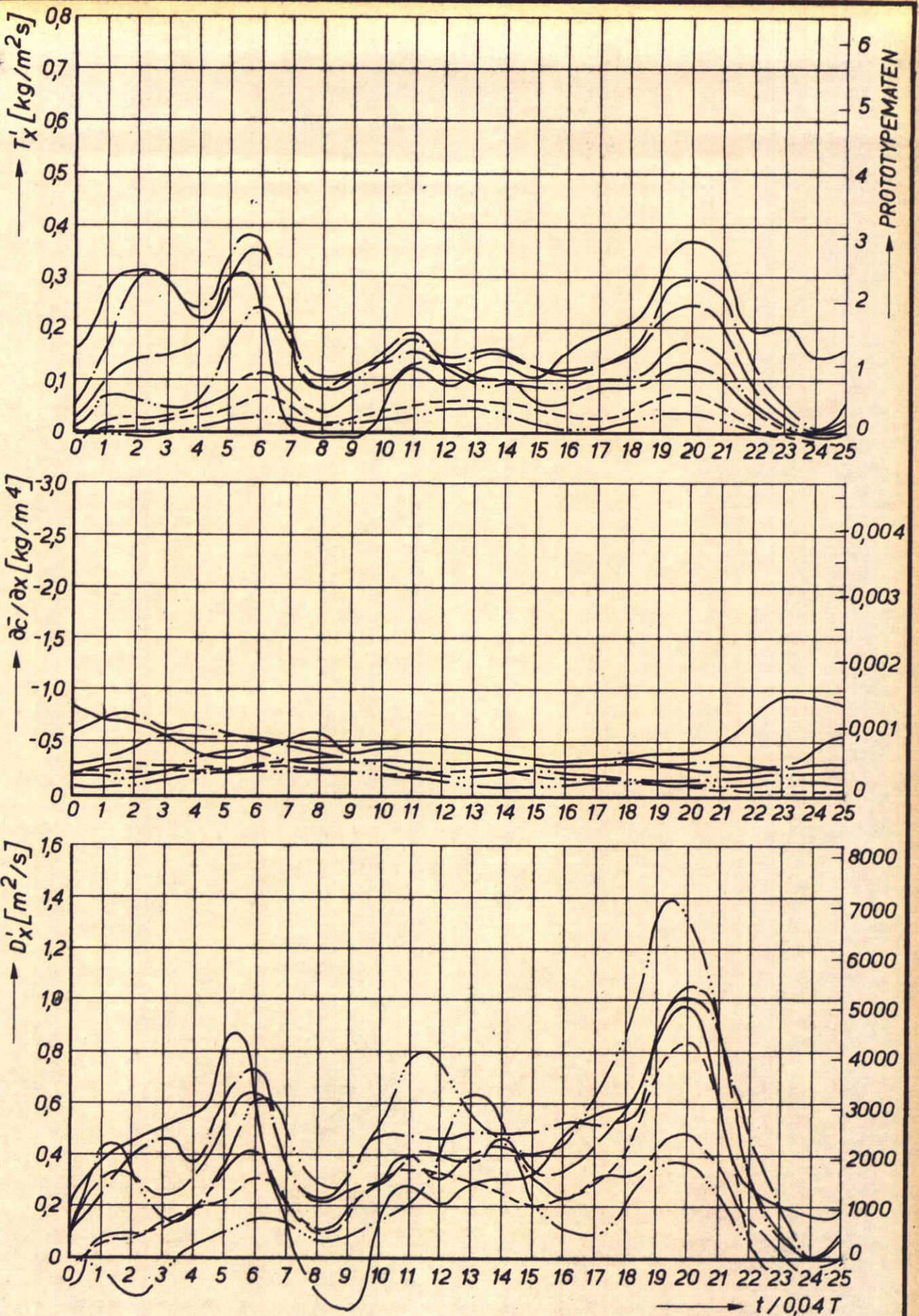
(km PROTOTYPE)



ZOUTINDRINGING BI VARIATIE GOOTLENGTE

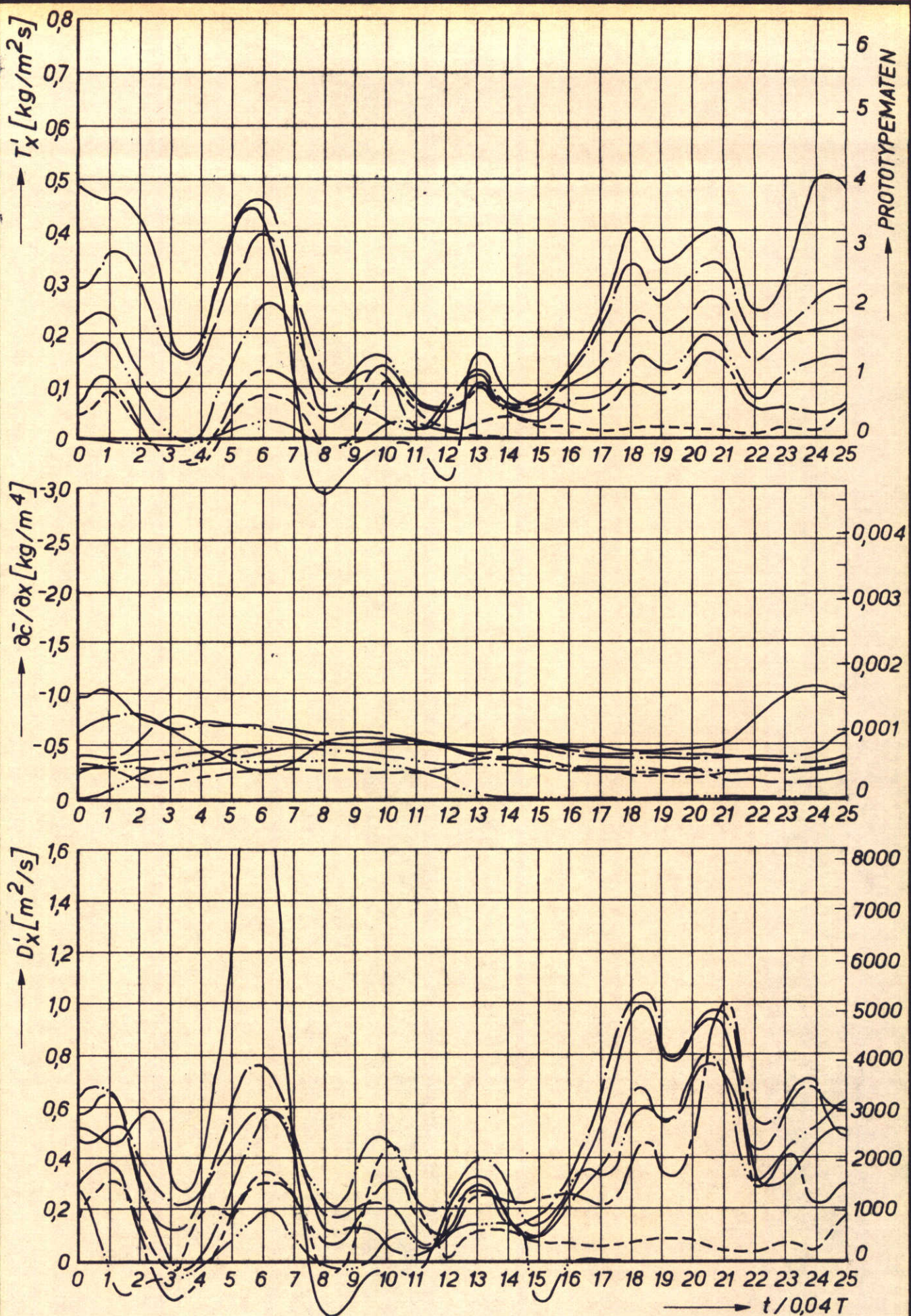
P

A4



ONDERZOEK VARIATIE GOOTLENGTE
PROEF T 112 ($L/\frac{1}{4}\lambda = 0,522$)

W_K
X/ΔX = 2, 4, 6
X/ΔX = 8, 10, 12
X/ΔX = 14, 16

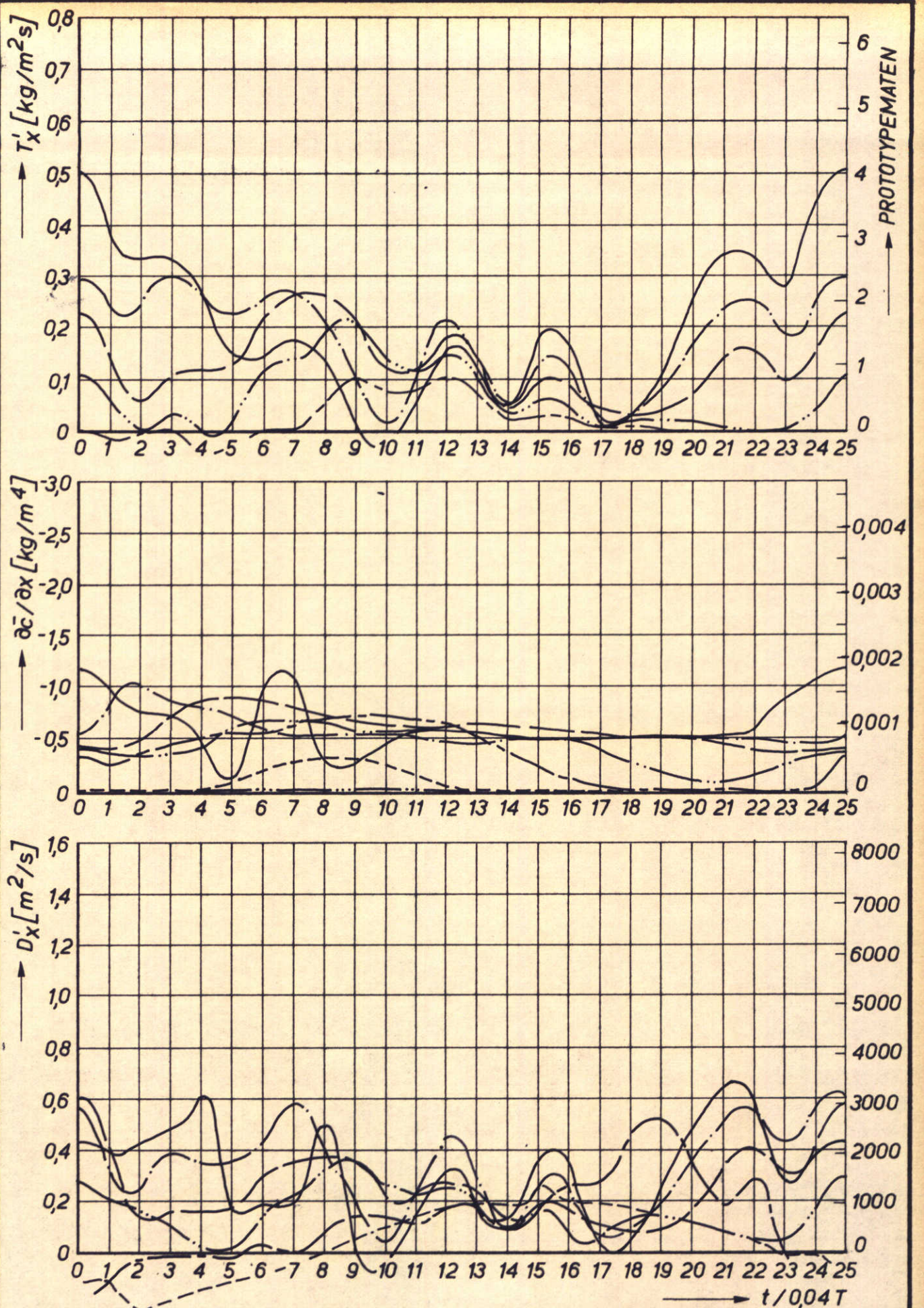


ONDERZOEK VARIATIE GOOTLENGTE

PROEF T 104 ($L / \frac{1}{4} \lambda = 0,558$)

$X/\Delta x = 2, 4, 6$
 $X/\Delta x = 8, 10, 12$
 $X/\Delta x = 14, 16$

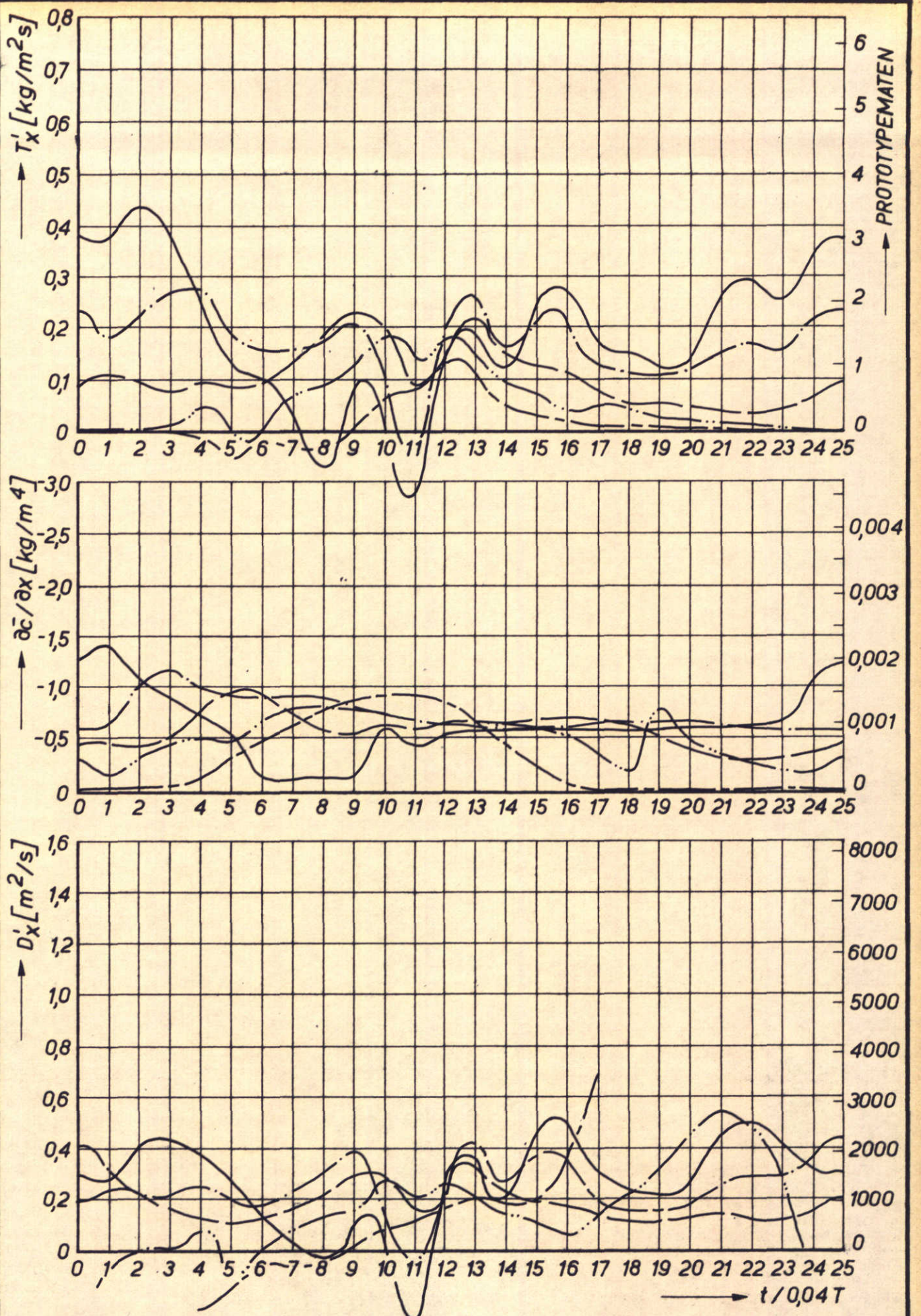
W_K
 A_4



ONDERZOEK VARIATIE GOOTLENGTE
PROEF T 103 ($L/\frac{1}{4}\lambda = 0,666$)

==== $X/\Delta X = 2, 4, 6$
===== $X/\Delta X = 8, 10, 12$
===== $X/\Delta X = 14, 16$

W_K
 $A4$



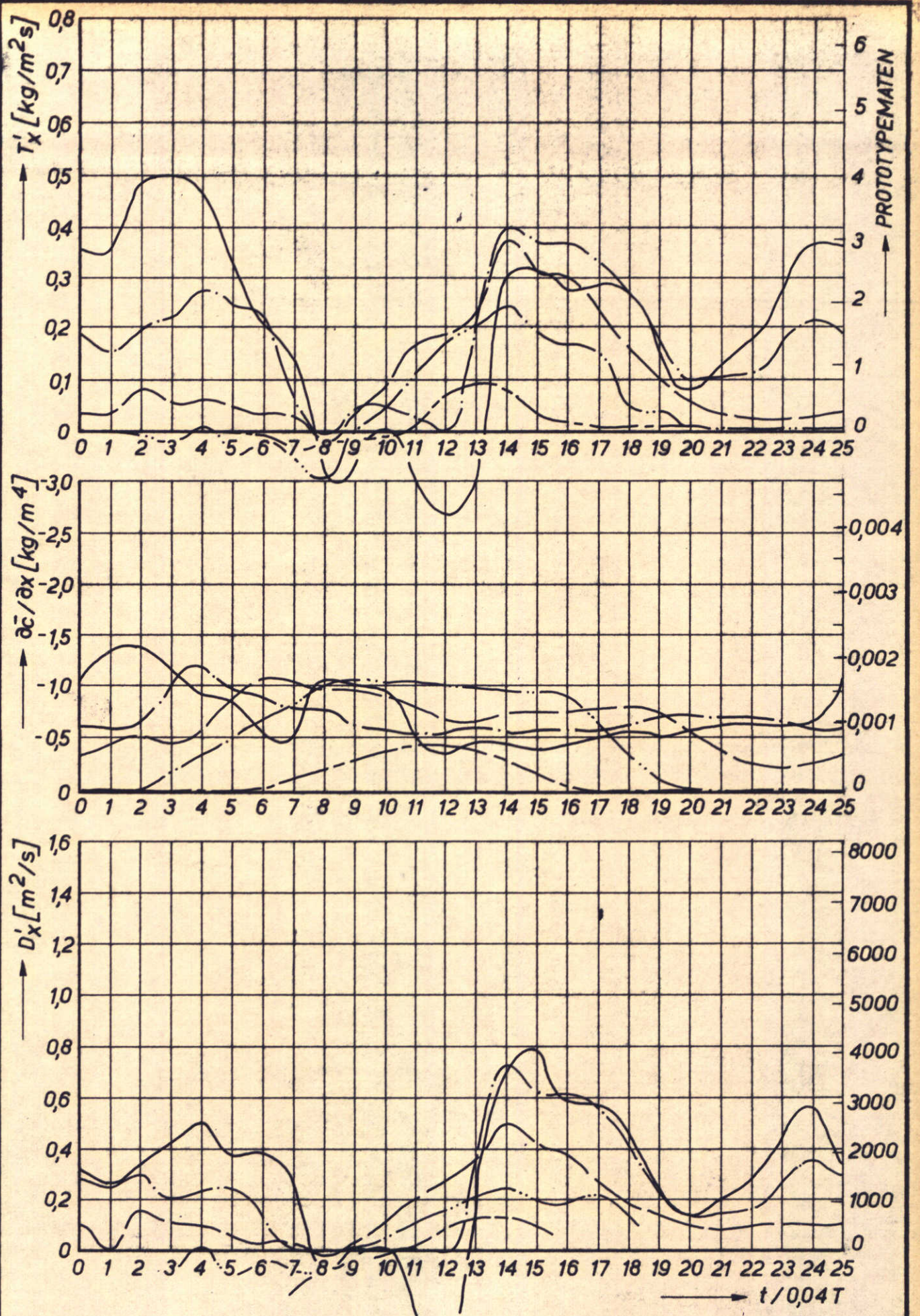
ONDERZOEK VARIATIE GOOTLENGTE

PROEF T 101 ($L/\frac{1}{4}\lambda = 0,774$)

$\cdots \cdots \cdots X/\Delta X = 2, 4, 6$
 $\cdots \cdots \cdots X/\Delta X = 8, 10, 12$
 $\cdots \cdots \cdots X/\Delta X = 14, 16$

W_K

A4

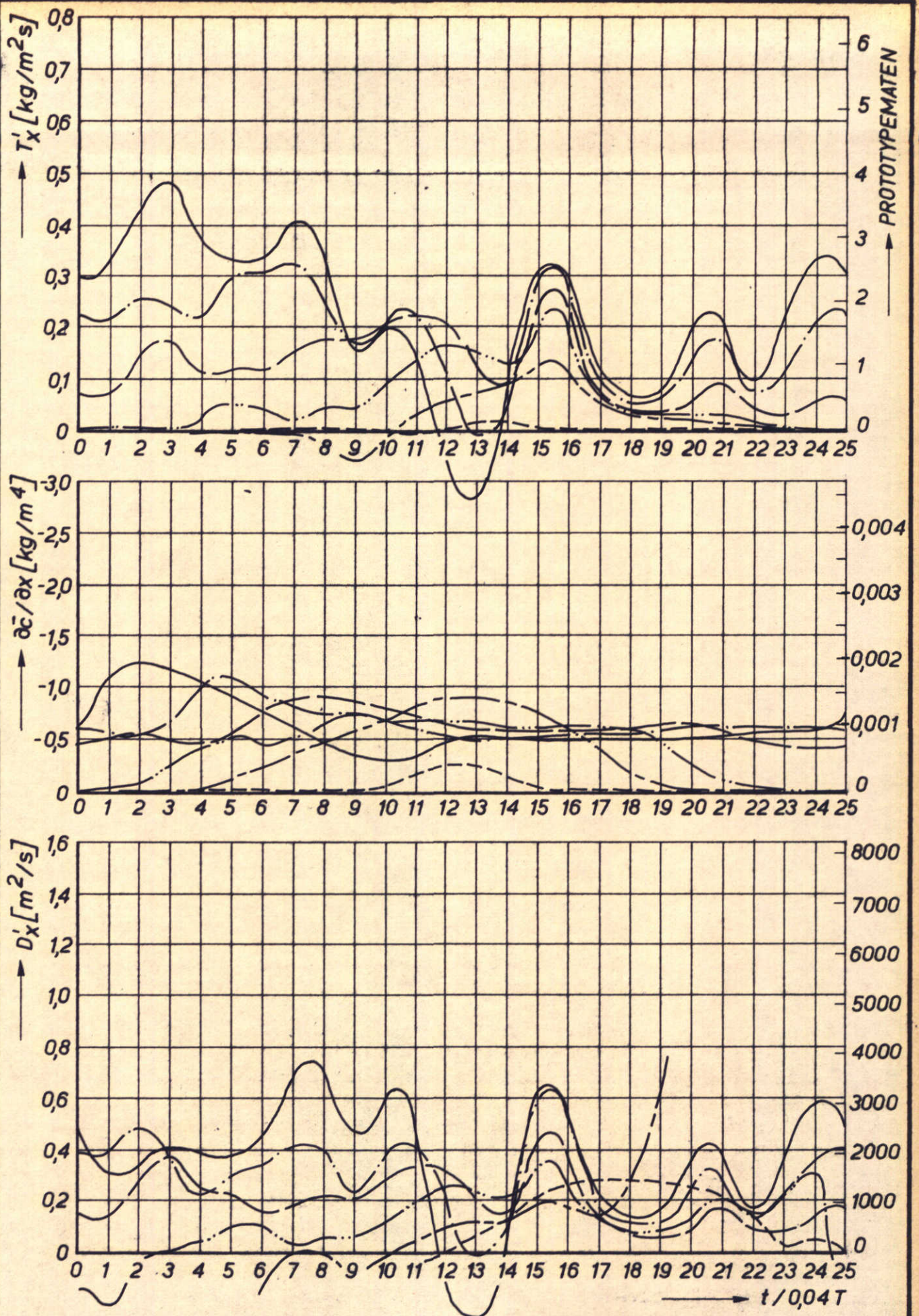


ONDERZOEK VARIATIE GOOTLENGTE

PROEF T 3 ($L/\lambda = 0,882$)

W K
A4

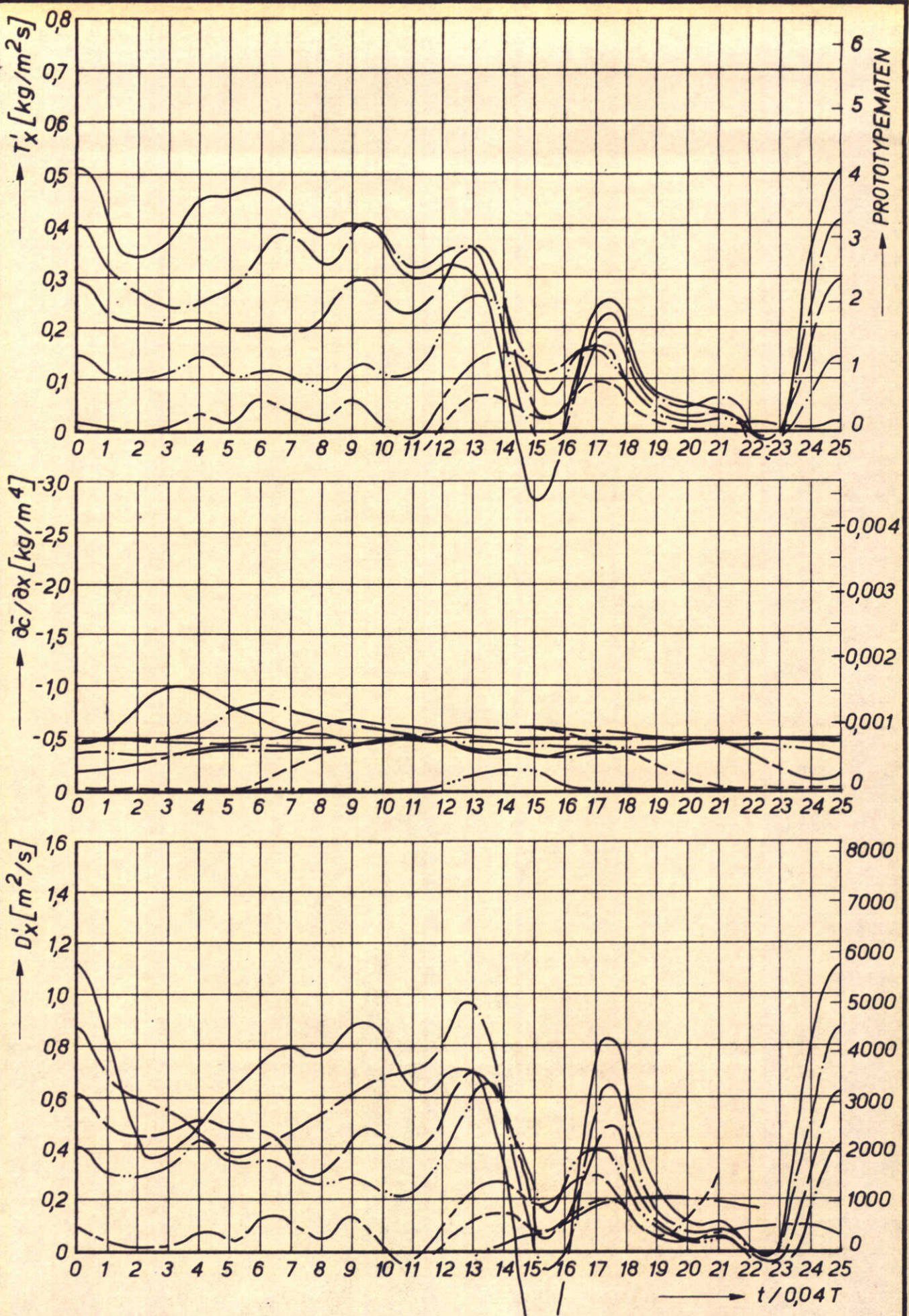
— X/ΔX = 2, 4, 6
— X/ΔX = 8, 10, 12
- - - X/ΔX = 14, 16



ONDERZOEK VARIATIE GOOTLENGTE
PROEF T 102 ($L/\frac{1}{4}\lambda = 0,990$)

— $X/\Delta X = 2, 4, 6$
- - - $X/\Delta X = 8, 10, 12$
- - - - $X/\Delta X = 14, 16$

W_K
 A_4



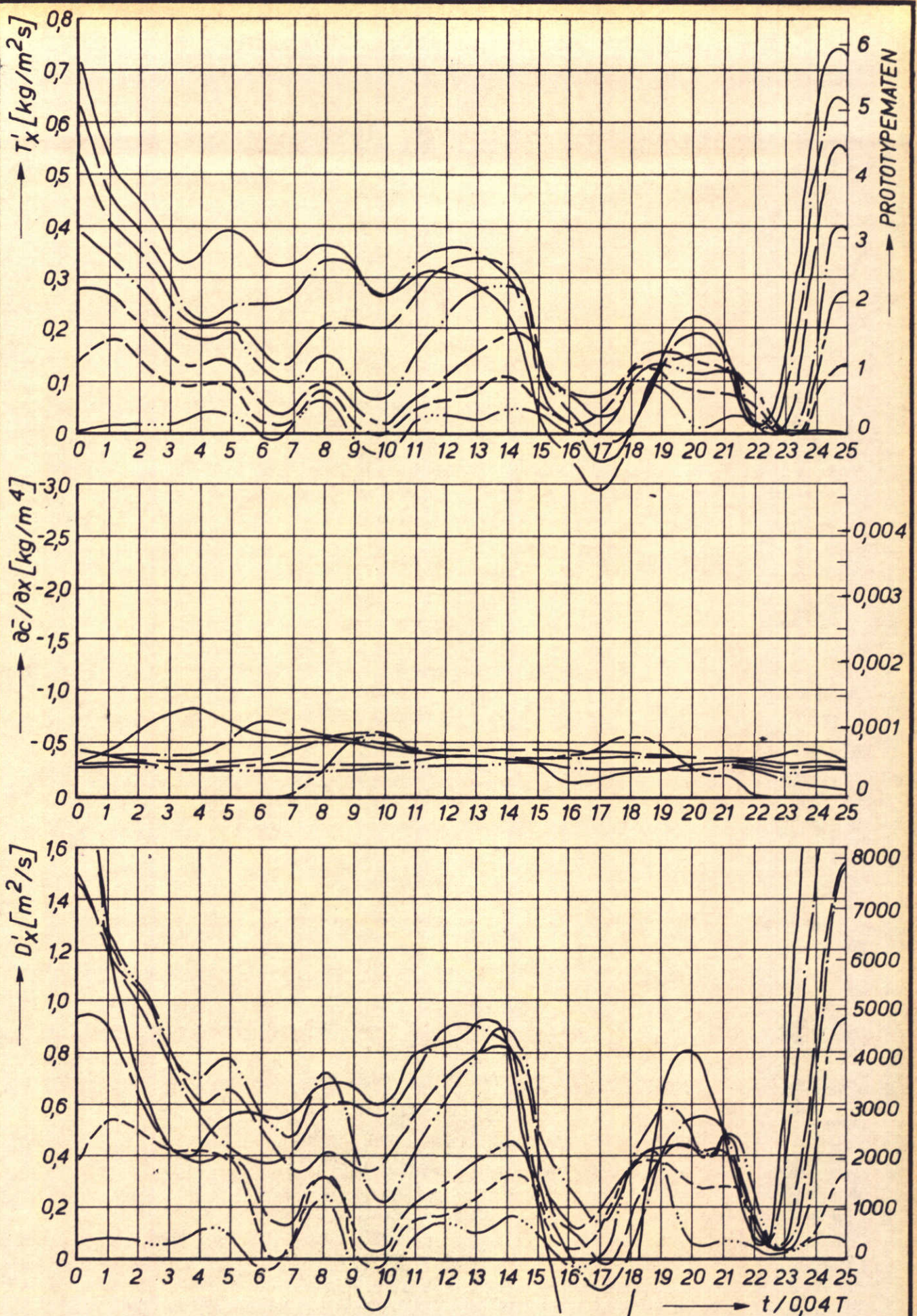
ONDERZOEK VARIATIE GOOTLENGTE

PROEF T 105 ($L / \frac{1}{4} \lambda = 1,242$)

W_K

— · — $X / \Delta X = 2, 4, 6$
 - - - - $X / \Delta X = 8, 10, 12$
 - - - - - $X / \Delta X = 14, 16$

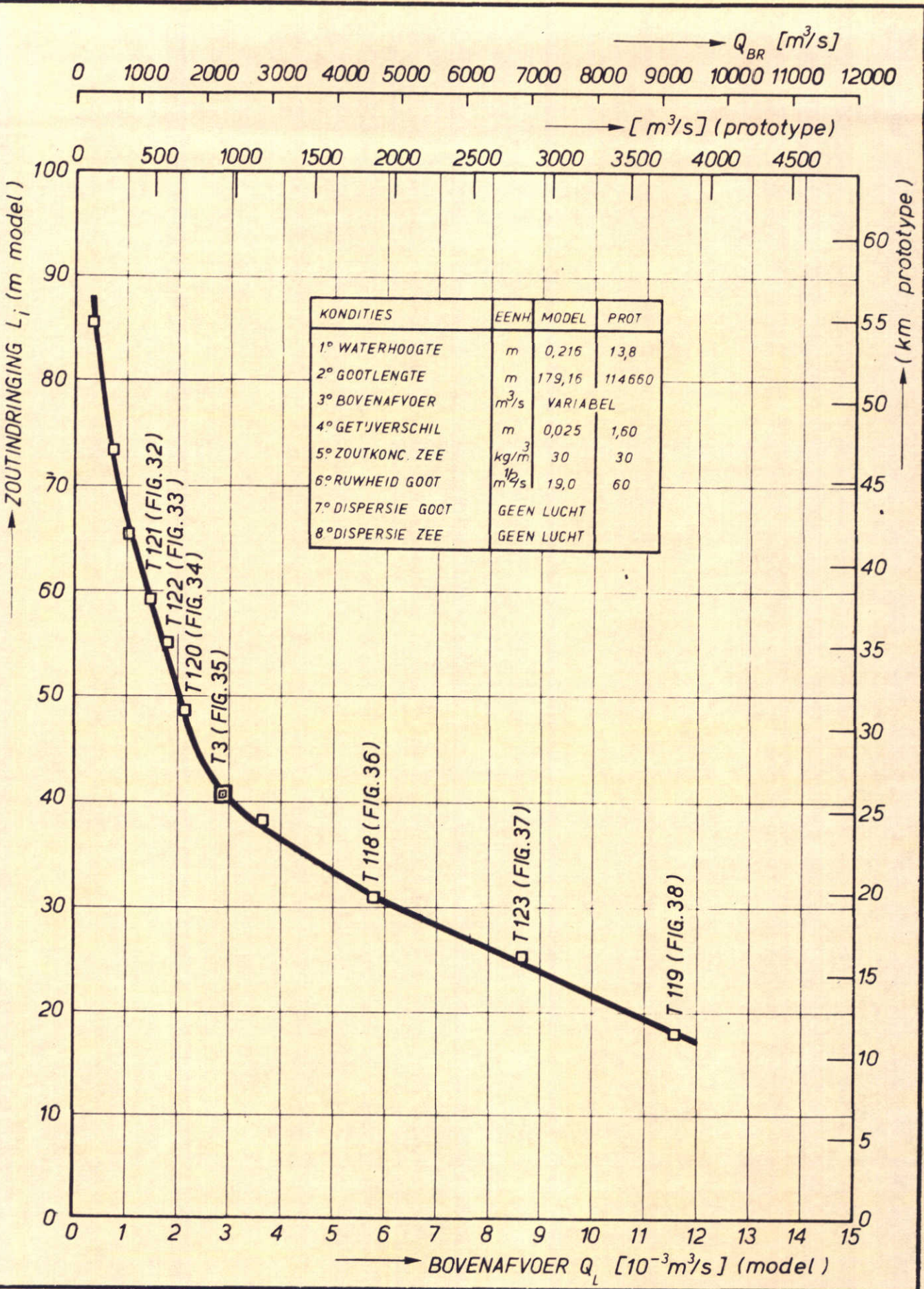
A4



ONDERZOEK VARIATIE GOOTLENGTE
PROEF T 111 ($L/\frac{1}{4}\lambda = 1,494$)

$X/\Delta X = 2, 4, 6$
 $X/\Delta X = 8, 10, 12$
 $X/\Delta X = 14, 16$

W_K
A4



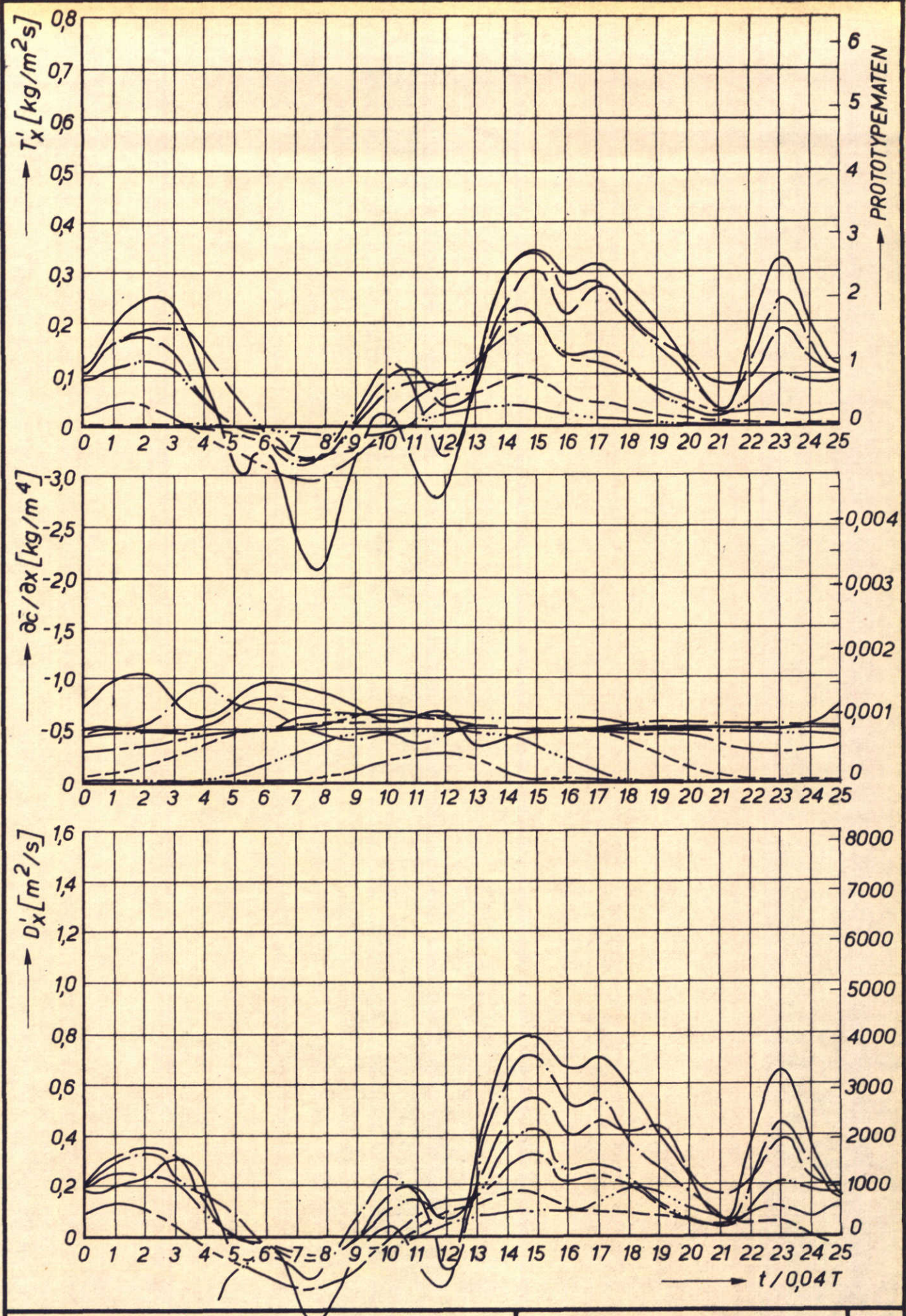
ZOUTINDRINGING BIJ VARIATIE BOVENAFVOER

□ MEETRESULTATEN

■ REFERENTIEPROEF
ROTTERD. WATERWEG

L_i

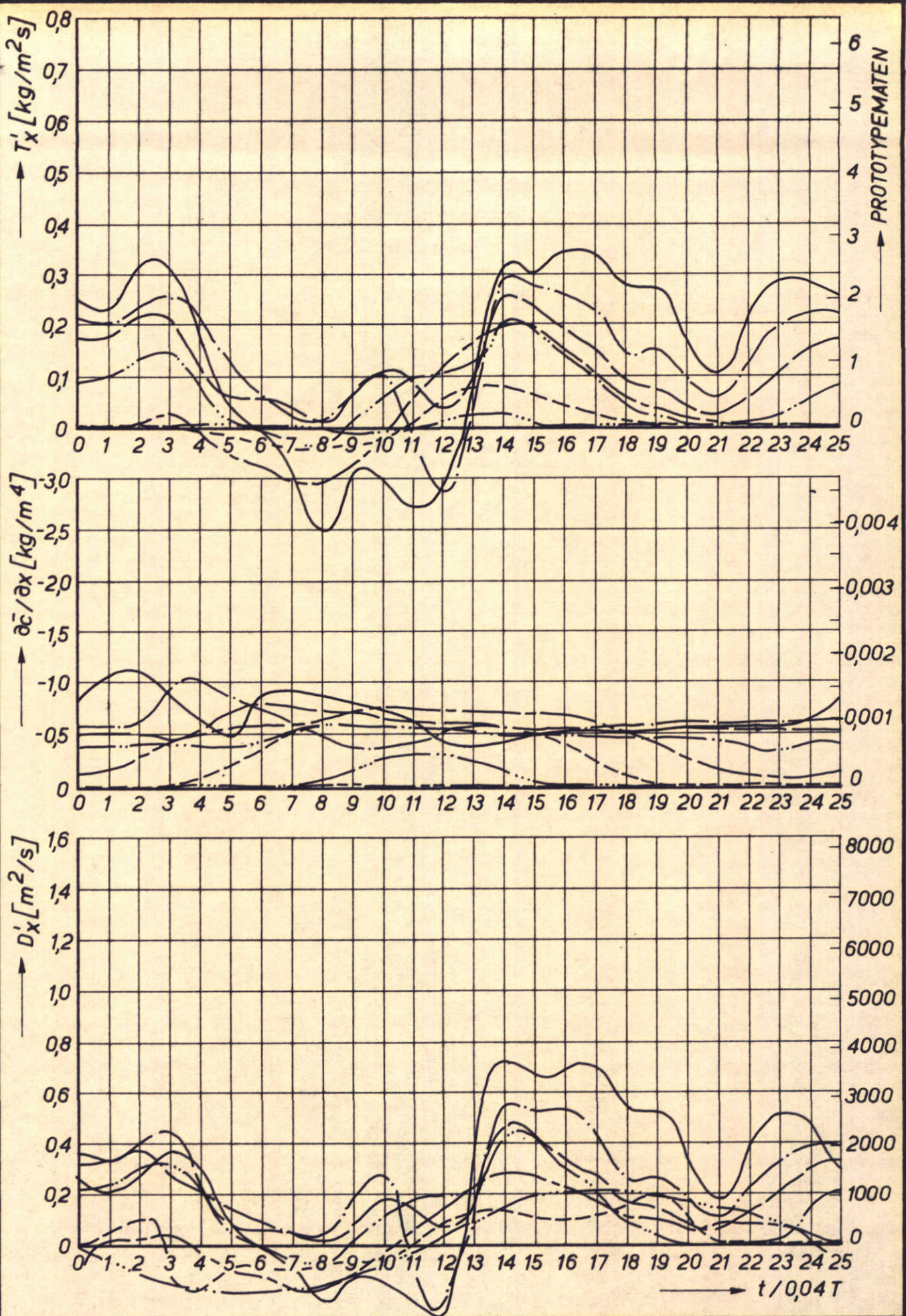
A4



ONDERZOEK VARIATIE BOVENAFVOER
PROEF T 121 ($Q_L = 475 \text{ m}^3/\text{s}$ PROTOTYPE)

$X/\Delta X = 2, 4, 6$
 $X/\Delta X = 8, 10, 12$
 $X/\Delta X = 14, 16$

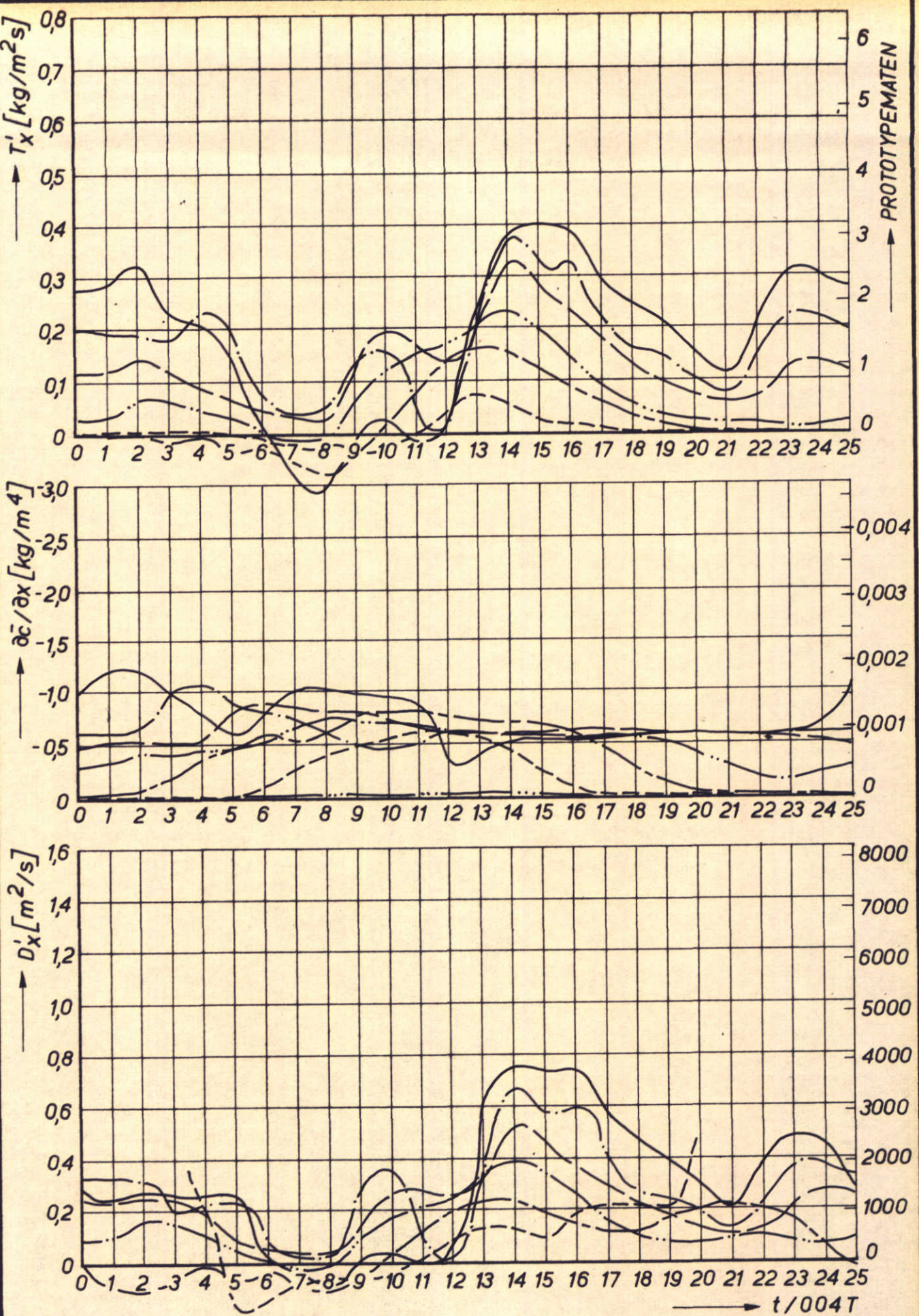
W_K
 $A4$



ONDERZOEK VARIATIE BOVENAFVOER

PROEF T 122 ($Q_L = 593 \text{ m}^3/\text{s}$ PROTOTYPE)

| | |
|--------------------------|-------|
| $X/\Delta X = 2, 4, 6$ | w_K |
| $X/\Delta X = 8, 10, 12$ | |
| $X/\Delta X = 14, 16$ | A4 |



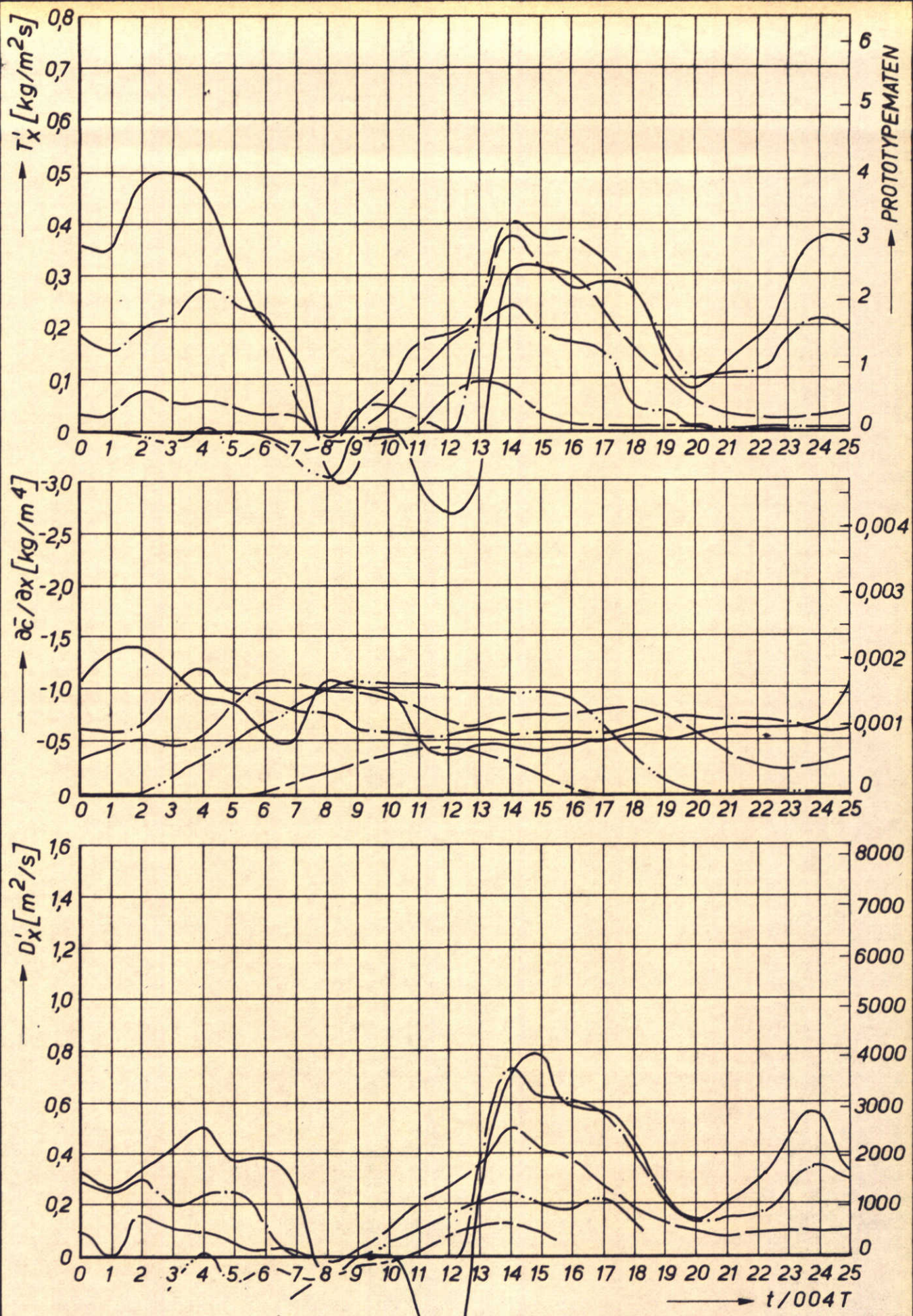
ONDERZOEK VARIATIE BOVENAFVOER

PROEF T 120 ($Q_L = 712 \text{ m}^3/\text{s}$ PROTOTYPE)

| | |
|-----------------|--------------------------|
| $\cdots \cdots$ | $X/\Delta X = 2, 4, 6$ |
| $- - - -$ | $X/\Delta X = 8, 10, 12$ |
| $- - - - -$ | $X/\Delta X = 14, 16$ |

W_K

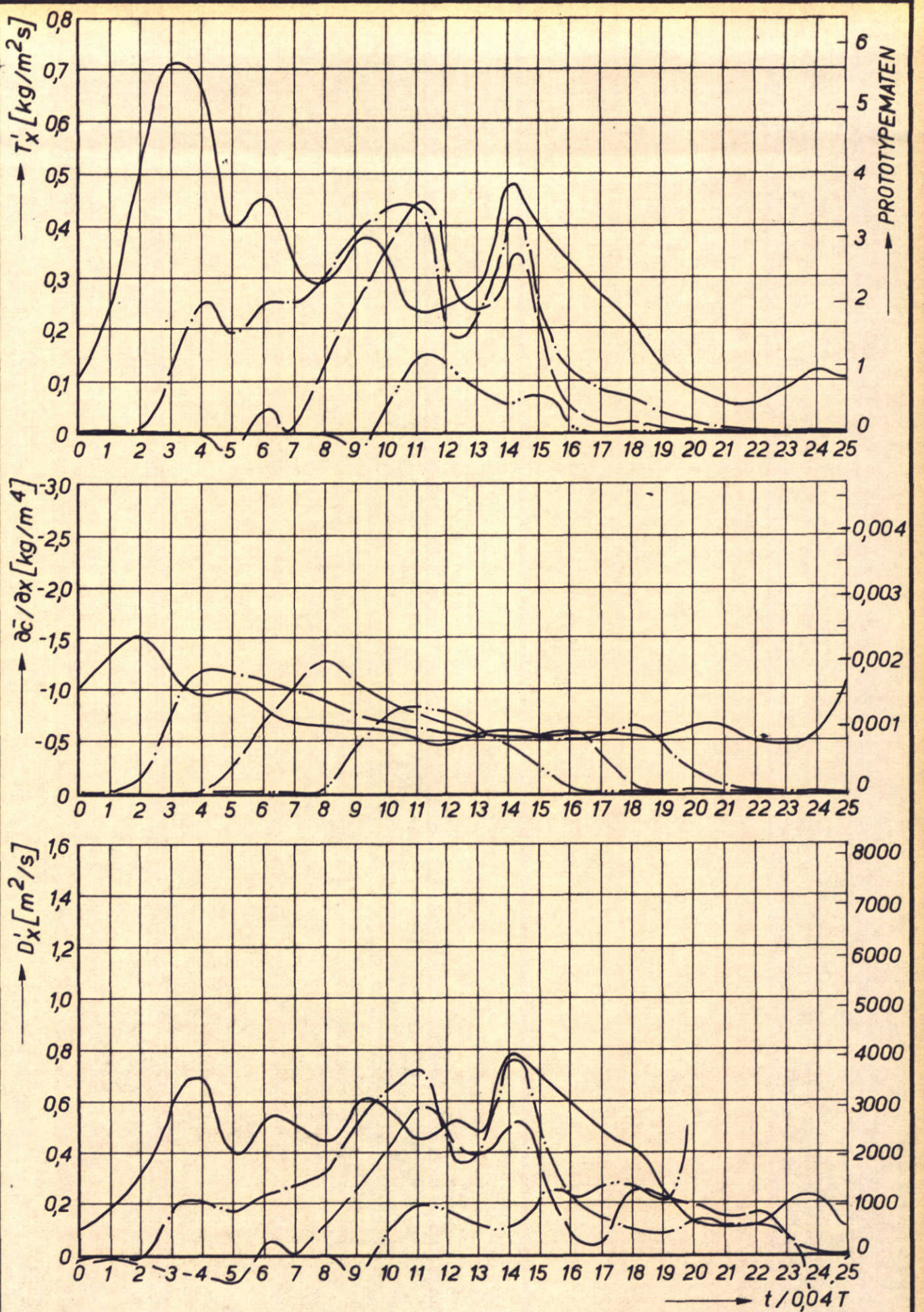
A4



ONDERZOEK VARIATIE BOVENAFVOER
PROEF T 3 ($Q_L = 949 m^3/s$ PROTOTYPE)

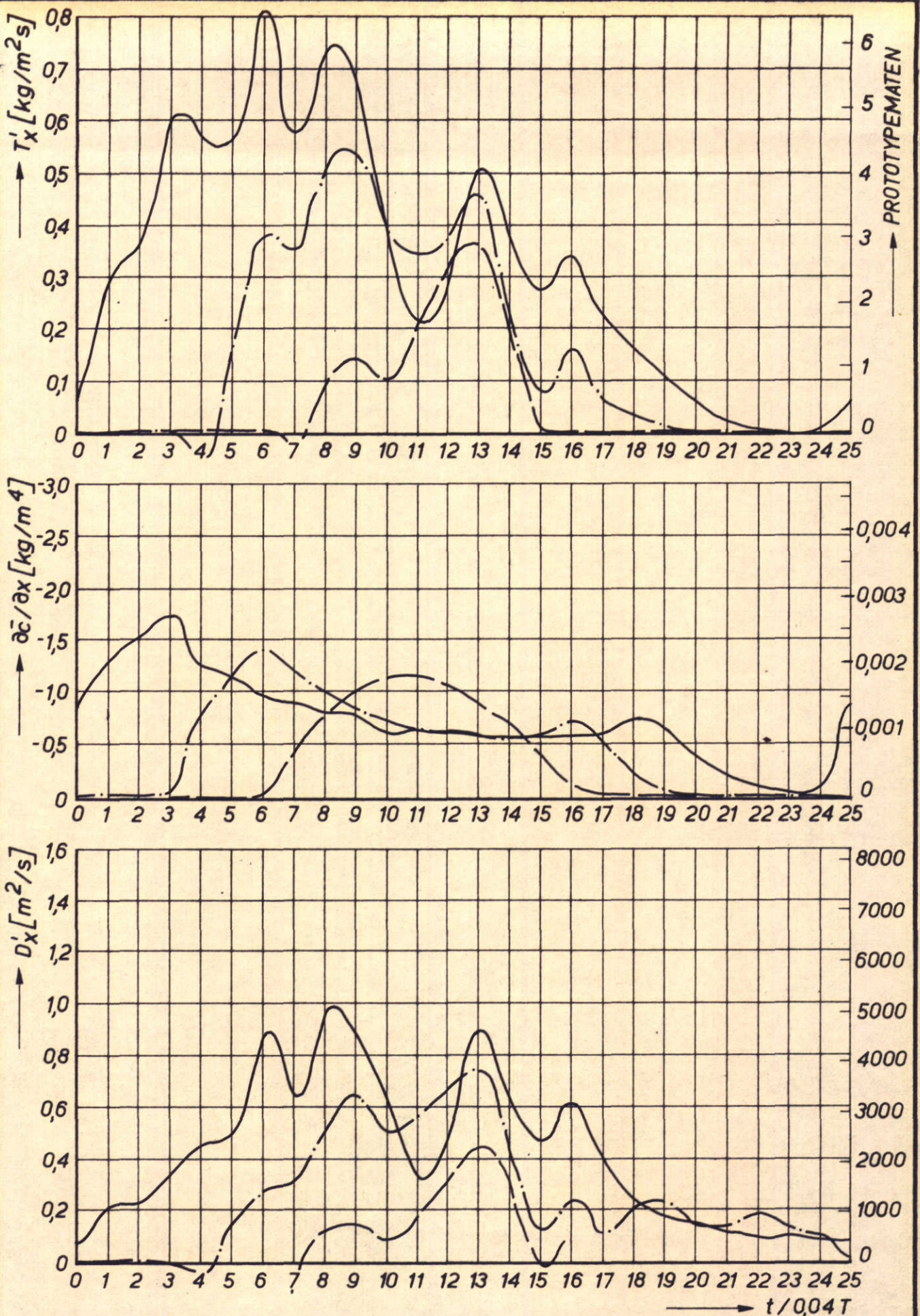
— · — $X/\Delta X = 2, 4, 6$
— · — $X/\Delta X = 8, 10, 12$
— · — $X/\Delta X = 14, 16$

W_K
 A_4



ONDERZOEK VARIATIE BOVENAFVOER
PROEF T 118 ($Q_L = 1899 \text{ m}^3/\text{s}$ PROTOTYPE)

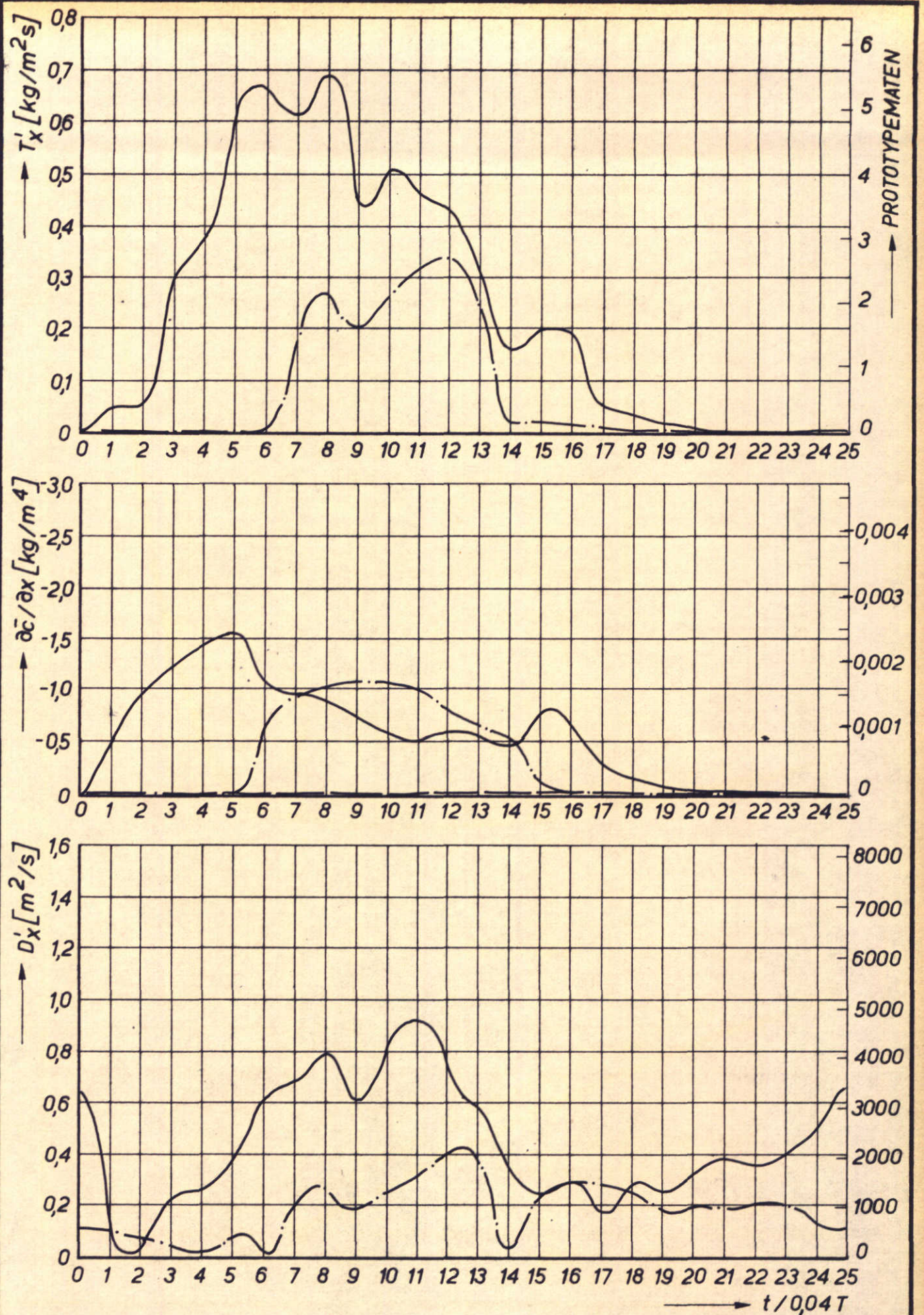
| | | |
|-----------------|--------------------------|-------|
| $\cdots \cdots$ | $X/\Delta X = 2, 4, 6$ | W_K |
| $- - - -$ | $X/\Delta X = 8, 10, 12$ | |
| $- \cdot - -$ | $X/\Delta X = 14, 16$ | A4 |



ONDERZOEK VARIATIE BOVENAFVOER
PROEF T 123 ($Q_L = 2848 m^3/s$ PROTOTYPE)

| | |
|----------------------|--------------------------|
| $\equiv\equiv\equiv$ | $X/\Delta X = 2, 4, 6$ |
| $\equiv\equiv\equiv$ | $X/\Delta X = 8, 10, 12$ |
| $\equiv\equiv\equiv$ | $X/\Delta X = 14, 16$ |

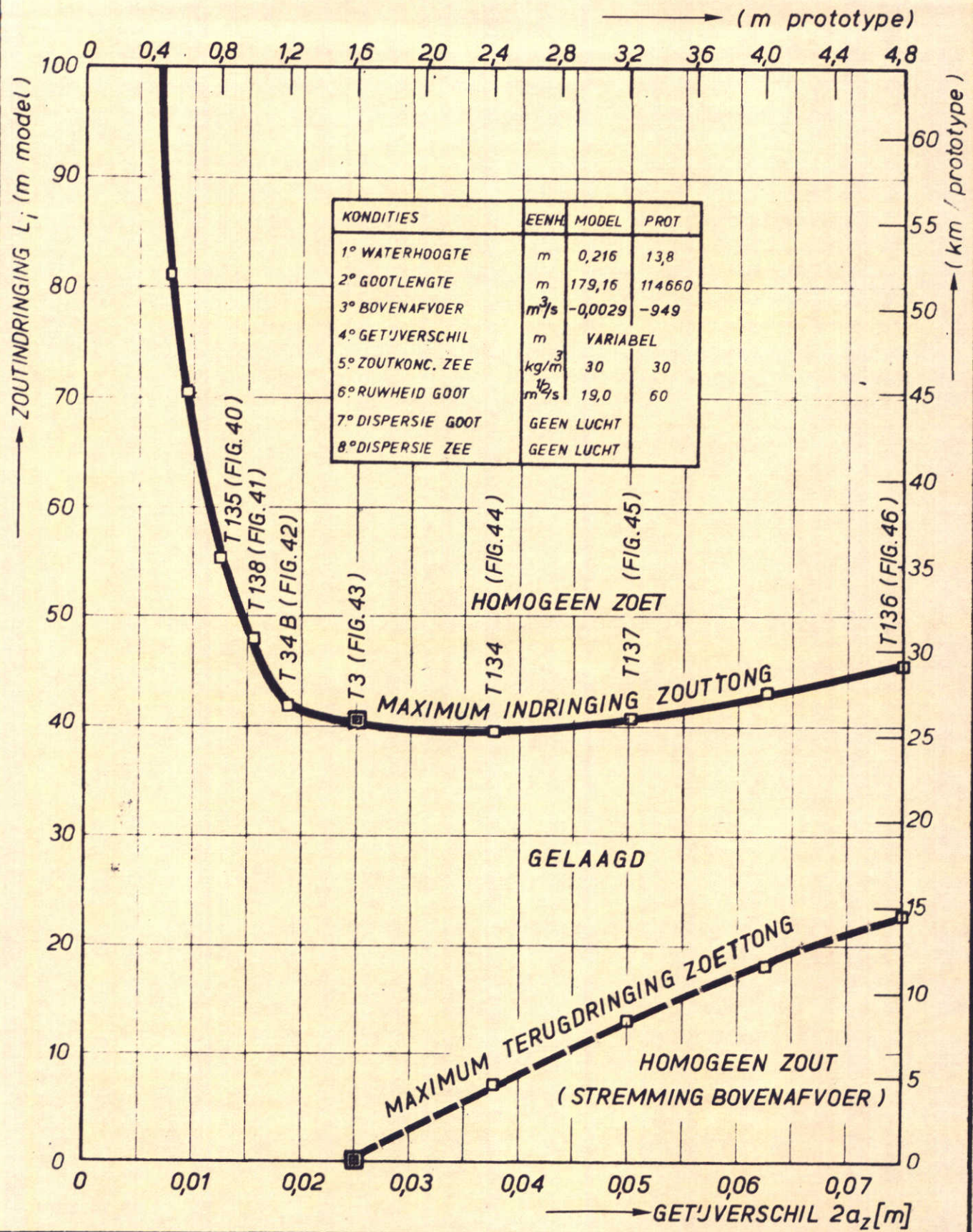
| |
|-------|
| W_K |
| A4 |



ONDERZOEK VARIATIE BOVENAFVOER

PROEF T 119 ($Q_L = 3798 \text{ m}^3/\text{s}$ PROTOTYPE)

| | | |
|----------------|--------------------------|-------|
| $\cdots\cdots$ | $X/\Delta X = 2, 4, 6$ | W_K |
| $- - - -$ | $X/\Delta X = 8, 10, 12$ | |
| $- - - - -$ | $X/\Delta X = 14, 16$ | A4 |



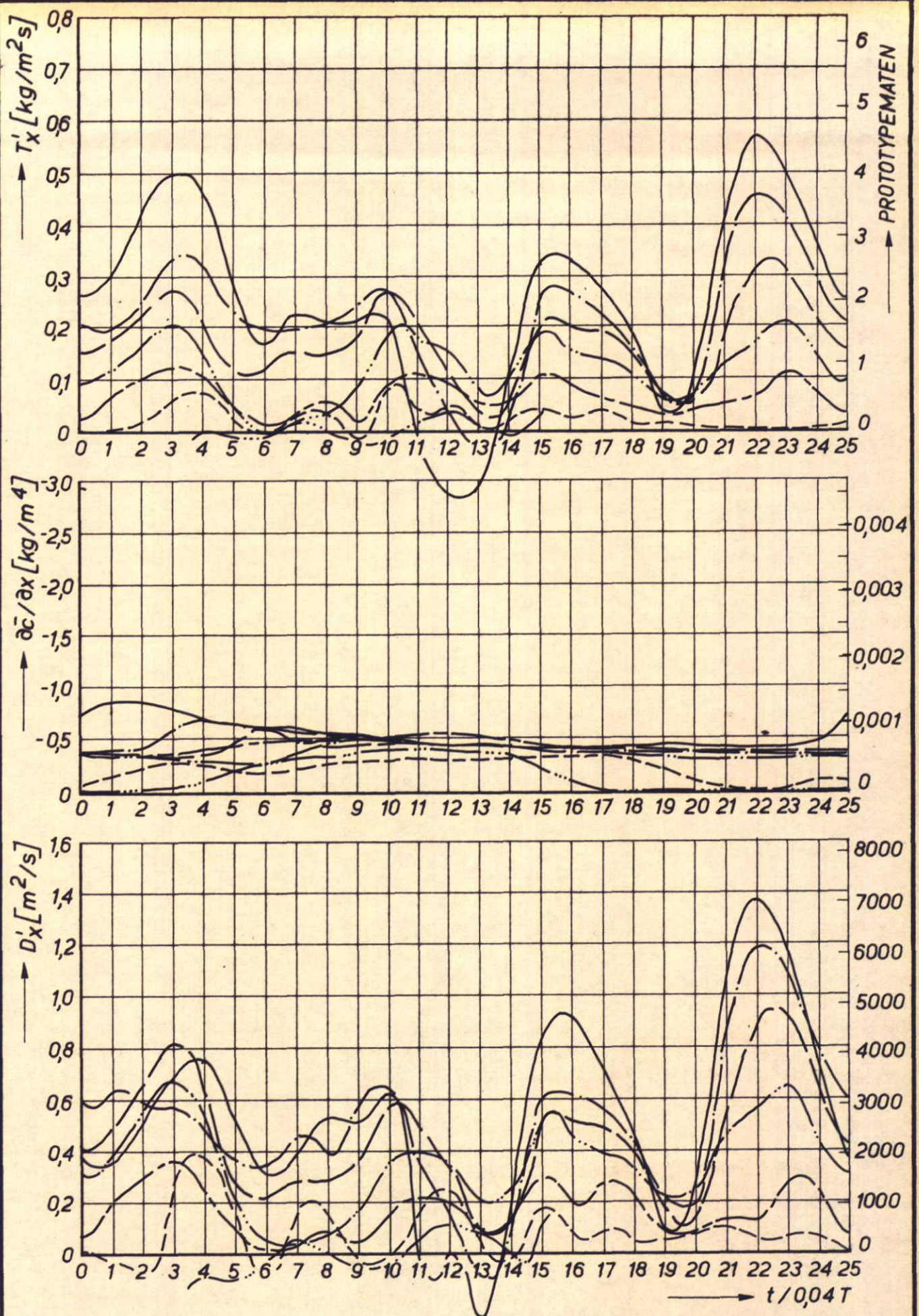
ZOUTINDRINGING BIJ VARIATIE GET'JVERSCHIL

□ MEETRESULTATEN

■ REFERENTIE PROEF
ROTTERD. WATERWEG

L?

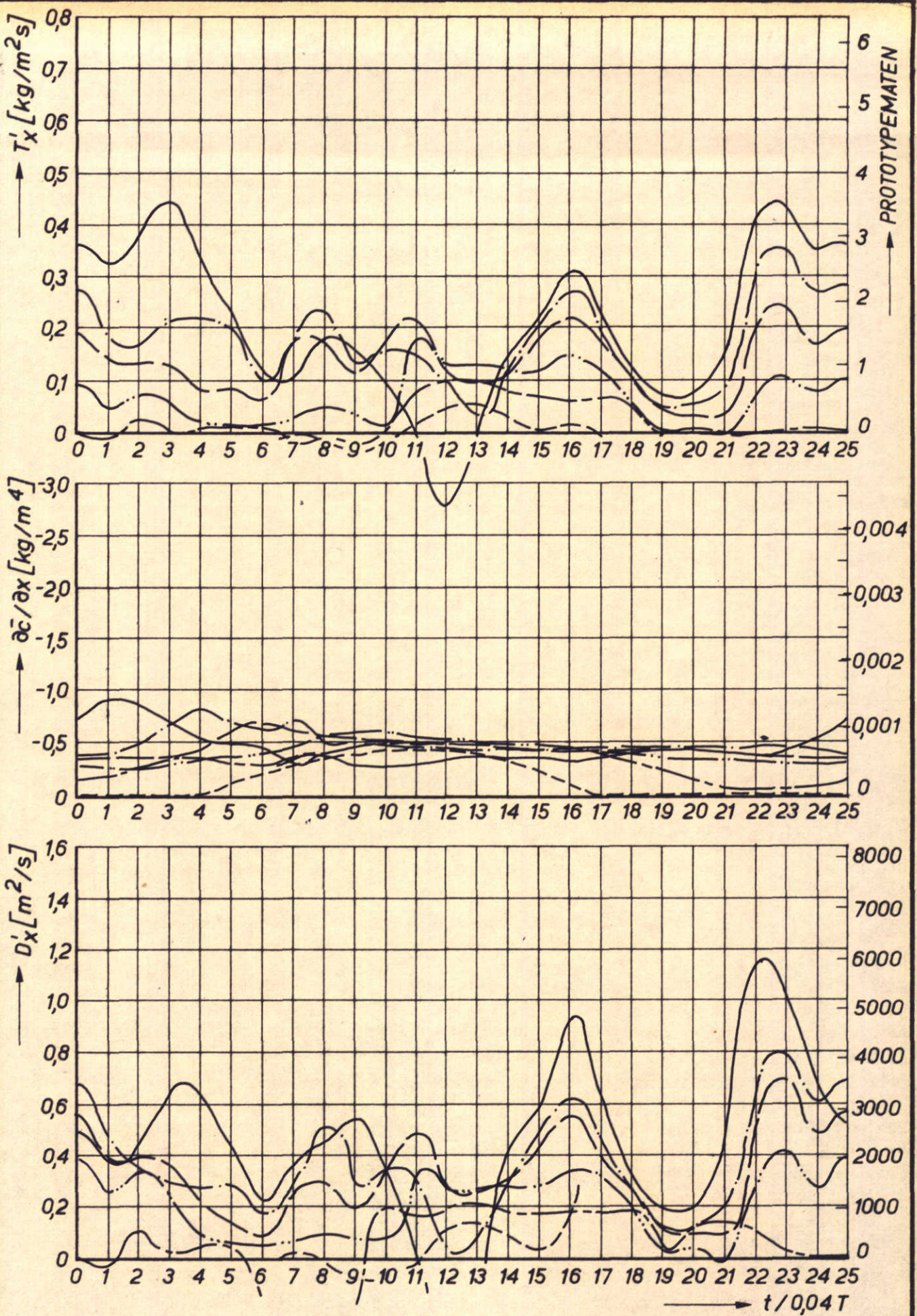
A4



ONDERZOEK VARIATIE GET'JVERSCHIL

PROEF T 135 ($2a_z = 0,80 \text{ m}$ PROTOTYPE)

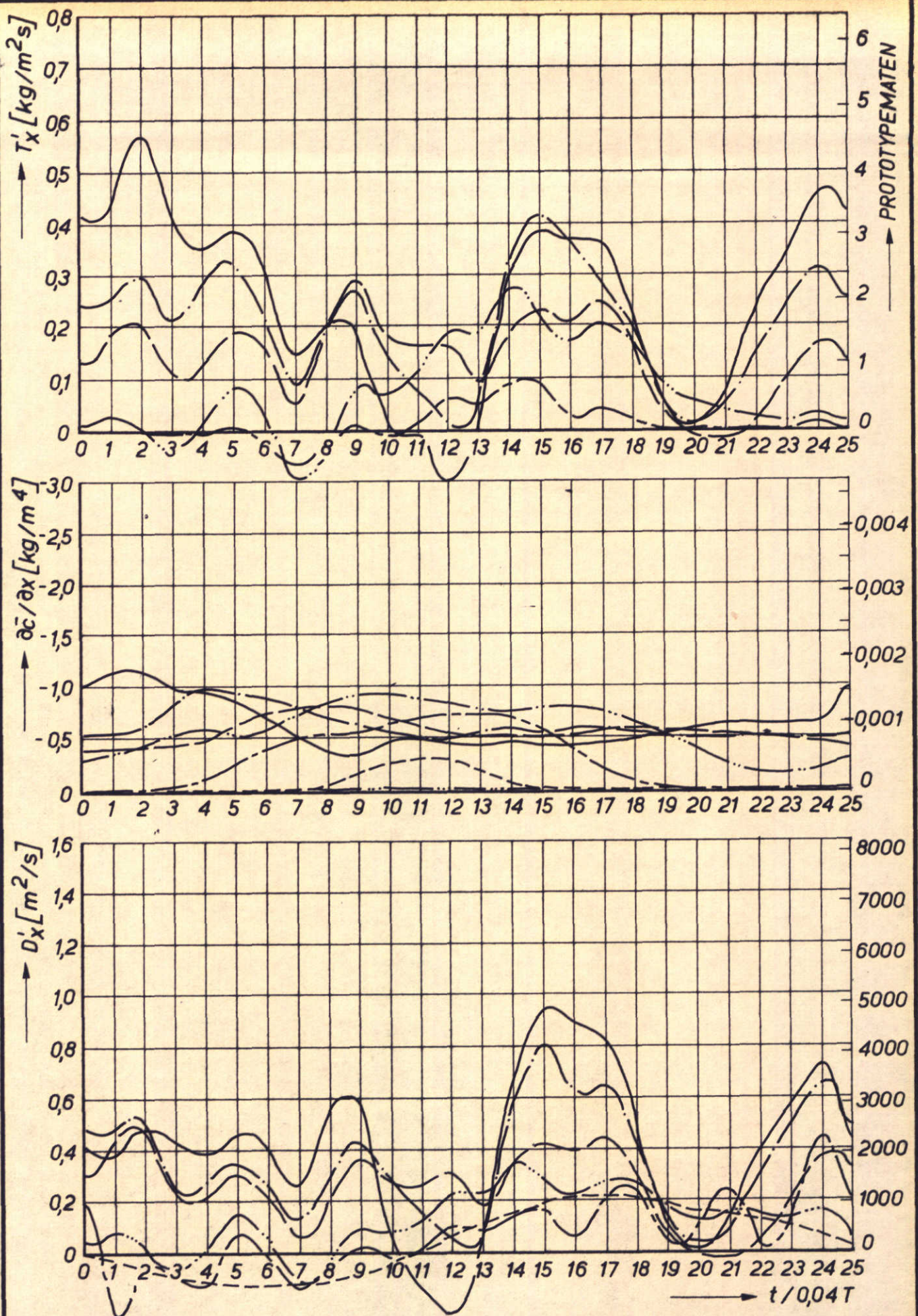
| | |
|--------------------------|-------|
| $X/\Delta X = 2, 4, 6$ | w_K |
| $X/\Delta X = 8, 10, 12$ | |
| $X/\Delta X = 14, 16$ | A4 |



ONDERZOEK VARIATIE GETUVERSCHIL
PROEF T 138 ($2a_z = 1,00 \text{ m}$ PROTOTYPE)

$X/\Delta X = 2, 4, 6$
 $X/\Delta X = 8, 10, 12$
 $X/\Delta X = 14, 16$

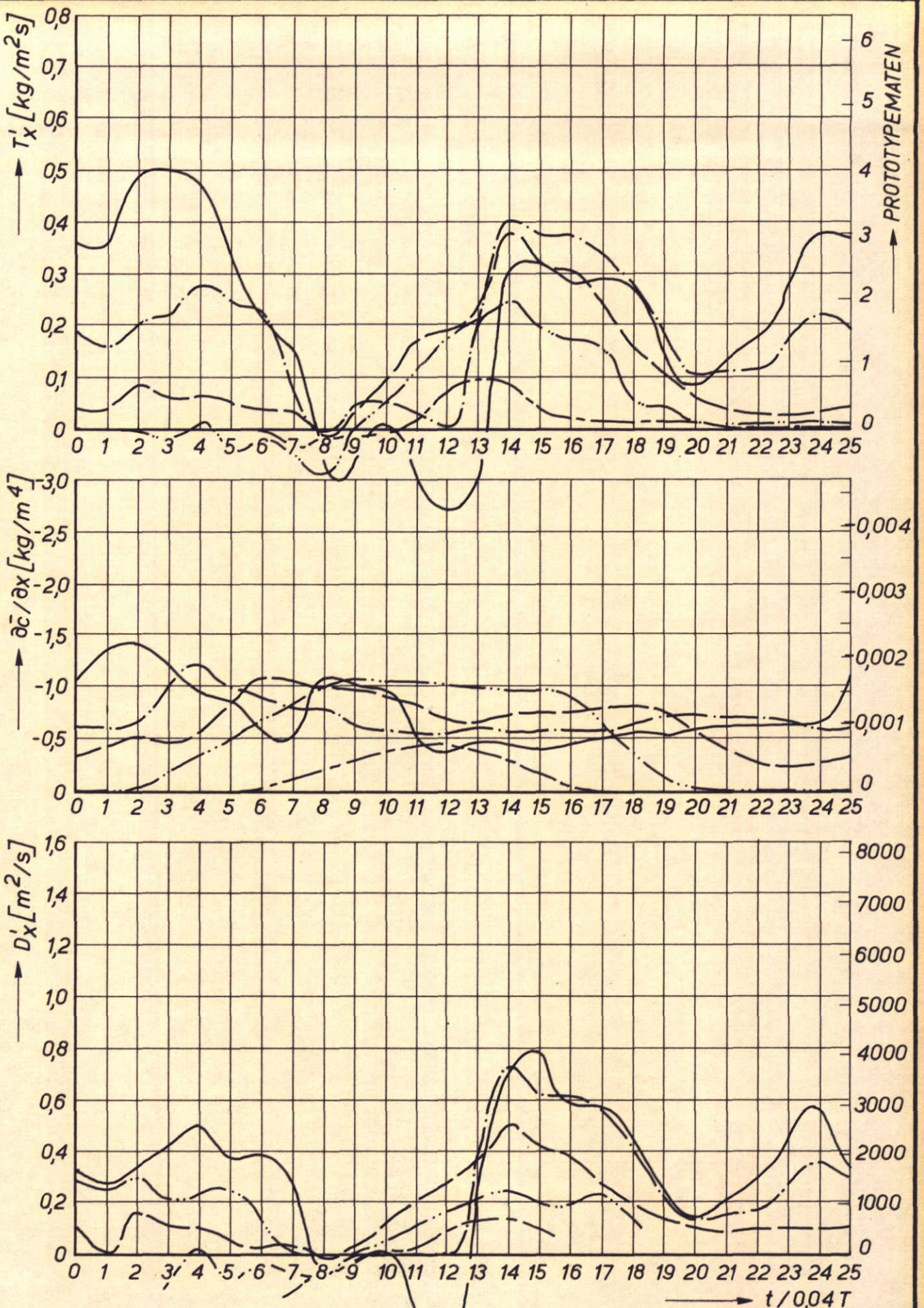
W_K
A4



ONDERZOEK VARIATIE GETUVERSCHIL
PROEF T 34 B ($2a_z = 1,20 \text{ m}$ PROTOTYPE)

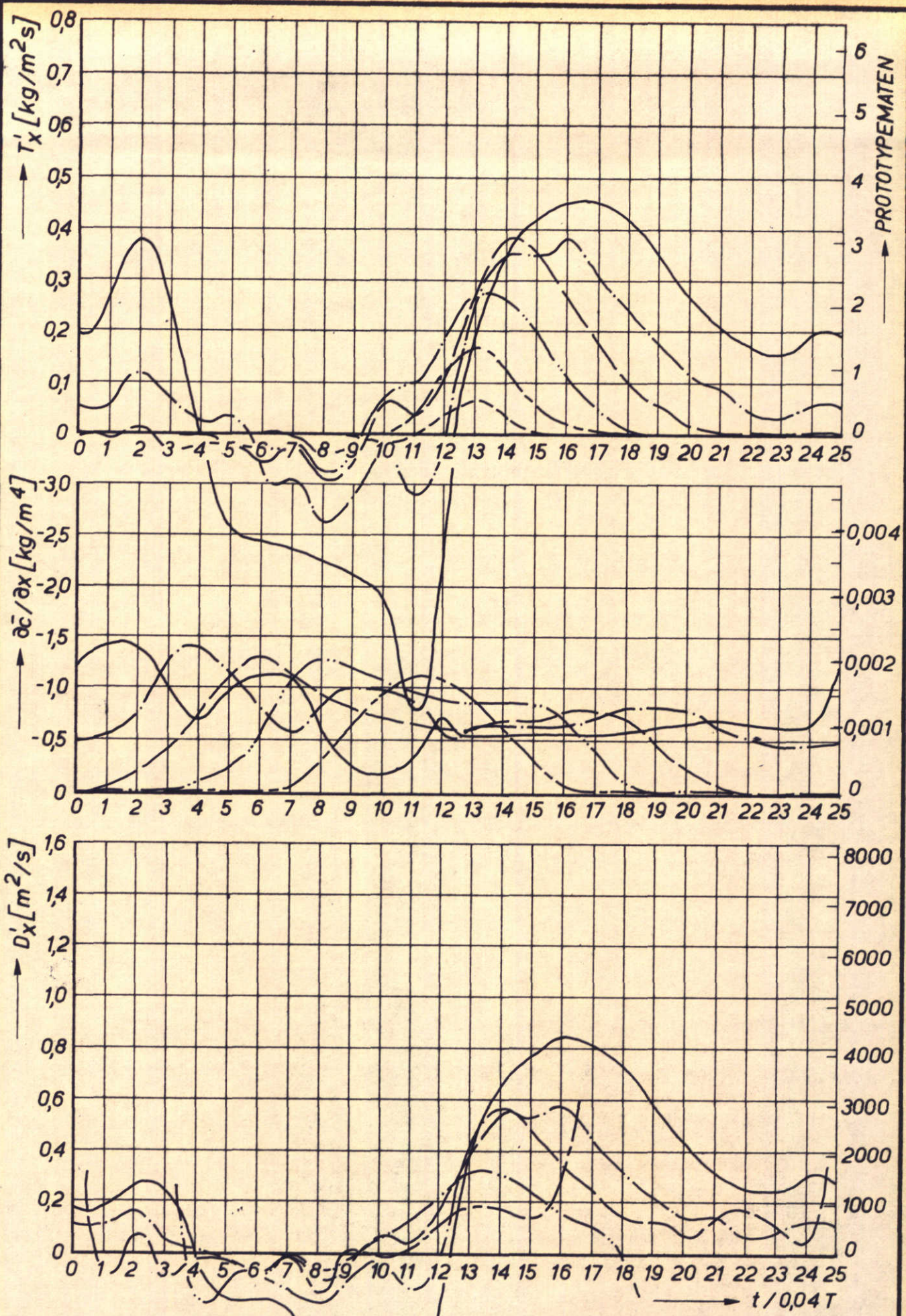
$X/\Delta X = 2, 4, 6$
 $X/\Delta X = 8, 10, 12$
 $X/\Delta X = 14, 16$

W_K
 A_4



ONDERZOEK VARIATIE GETUVERSCHIL
PROEF T 3 ($2a_z = 1,60 \text{ m}$ PROTOTYPE)

W K
A4



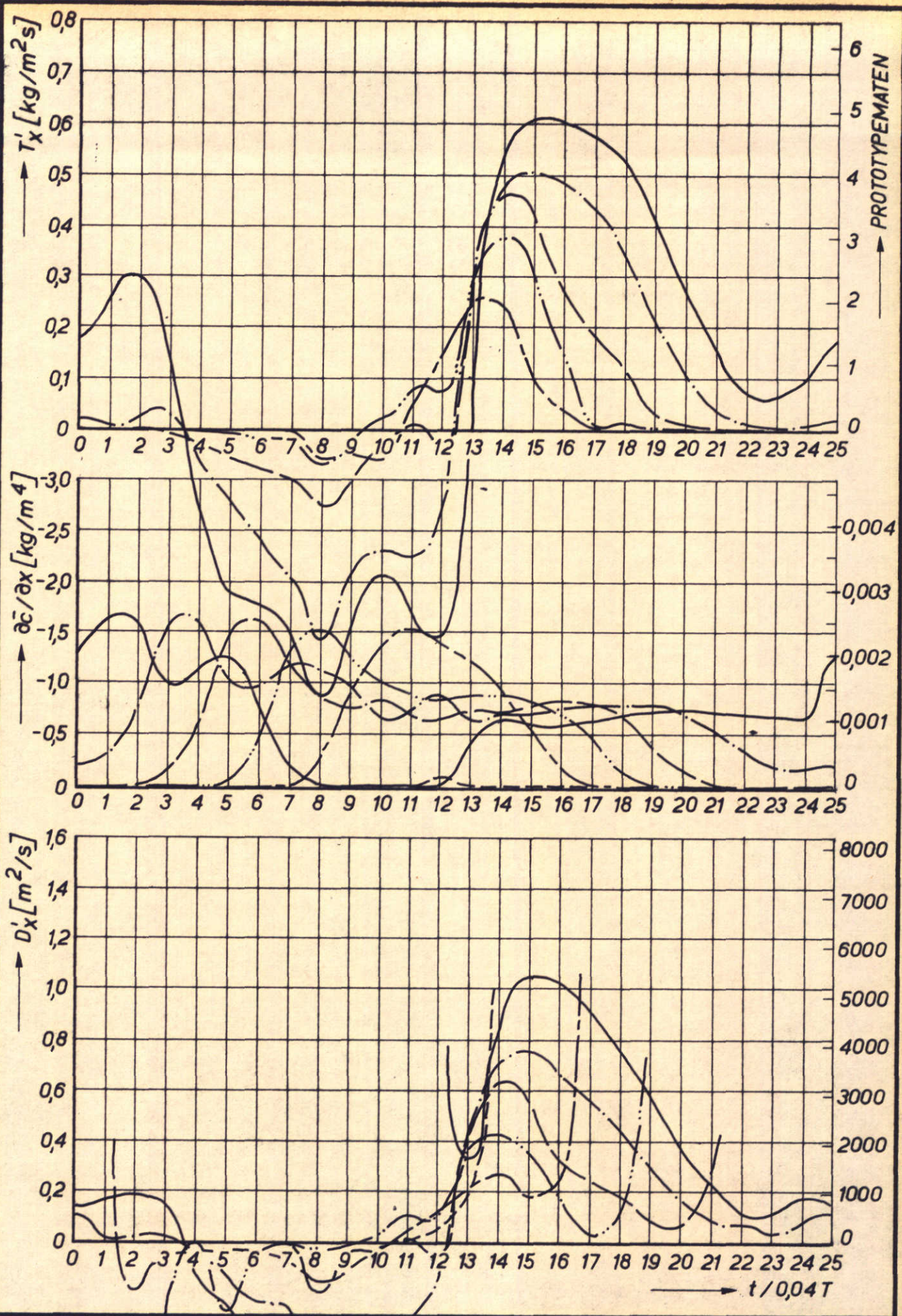
ONDERZOEK VARIATIE GETIJVERSCHIL

PROEF T 134 ($2a_z = 2,40 \text{ m}$ PROTOTYPE)

$X/\Delta X = 2, 4, 6$
 $X/\Delta X = 8, 10, 12$
 $X/\Delta X = 14, 16$

W_K

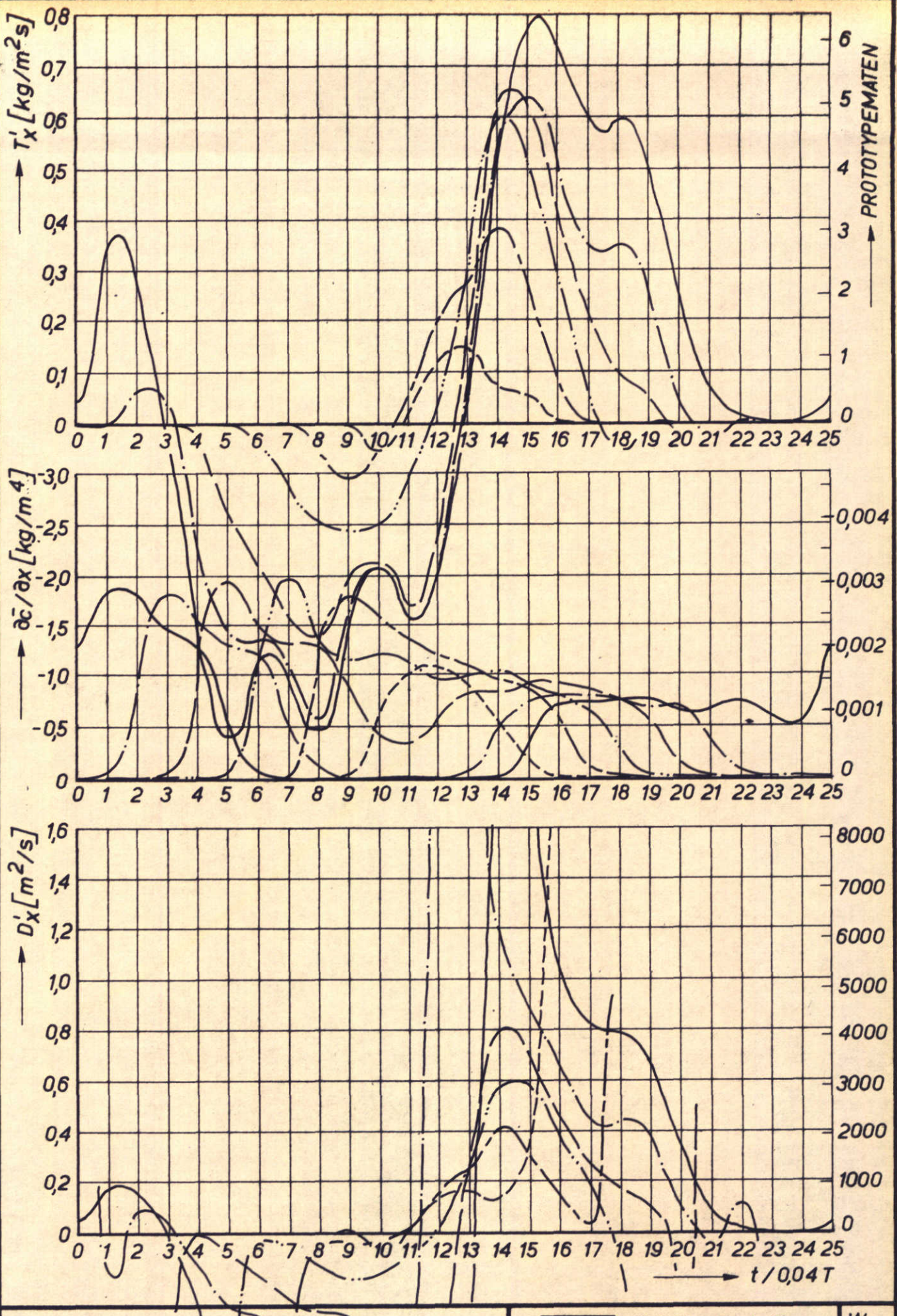
A4



ONDERZOEK VARIATIE GETIJVERSCHIL
PROEF T 137 ($2a_z = 3,20 \text{ m}$ PROTOTYPE)

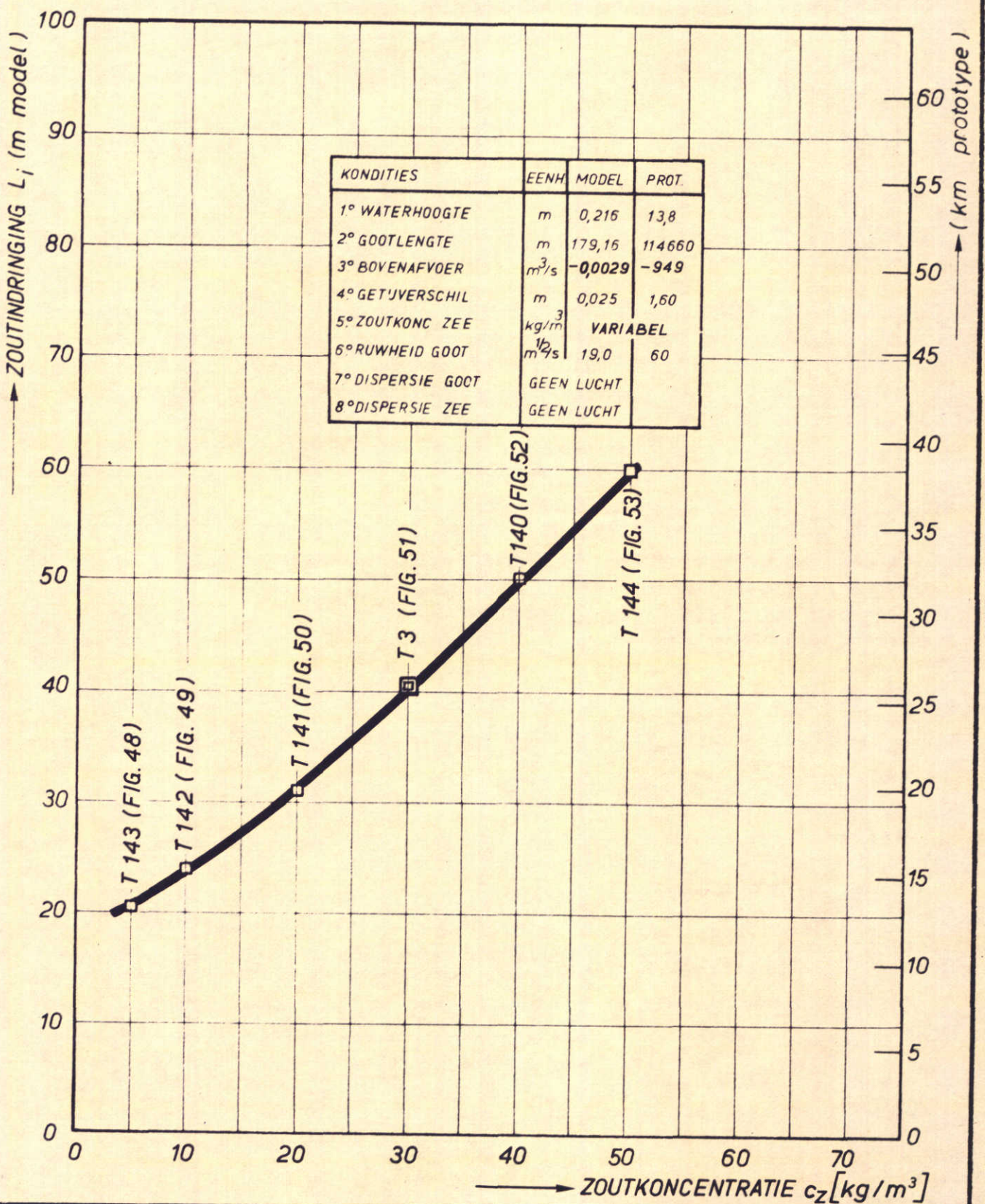
$X/\Delta X = 2, 4, 6$
 $X/\Delta X = 8, 10, 12$
 $X/\Delta X = 14, 16$

W_K
A4



ONDERZOEK VARIATIE GETIJVERSCHIL
PROEF T 136 ($2a_z = 4,80 \text{ m}$ PROTOTYPE)

| | | |
|-----------------|--------------------------|-------|
| $\cdots \cdots$ | $X/\Delta X = 2, 4, 6$ | W_K |
| $- - - -$ | $X/\Delta X = 8, 10, 12$ | |
| $-- -- --$ | $X/\Delta X = 14, 16$ | A_4 |



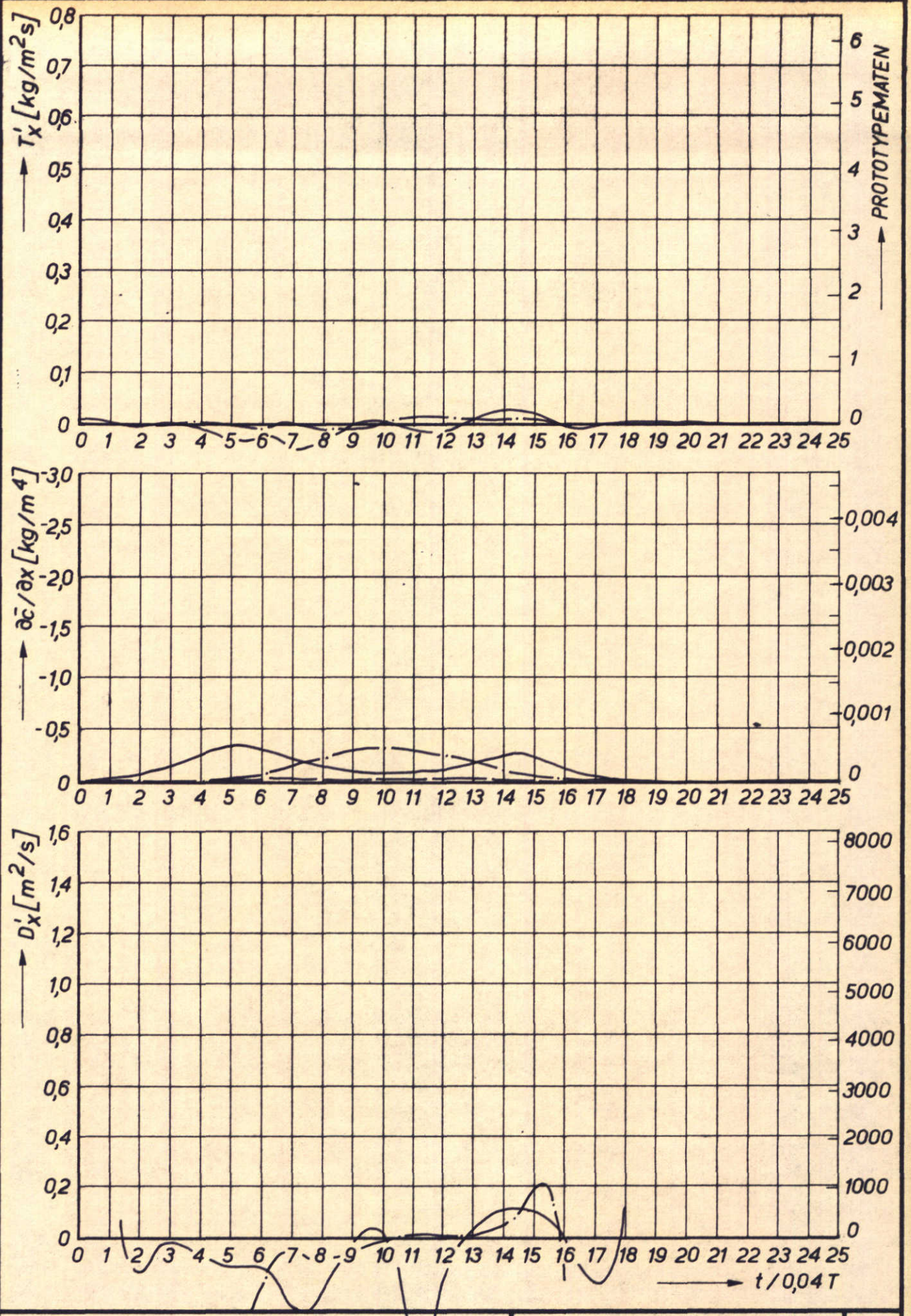
ZOUTINDRINGING BIJ VARIATIE ZOUTKONCENTRATIE ZEE

■ MEETRESULTATEN

L²

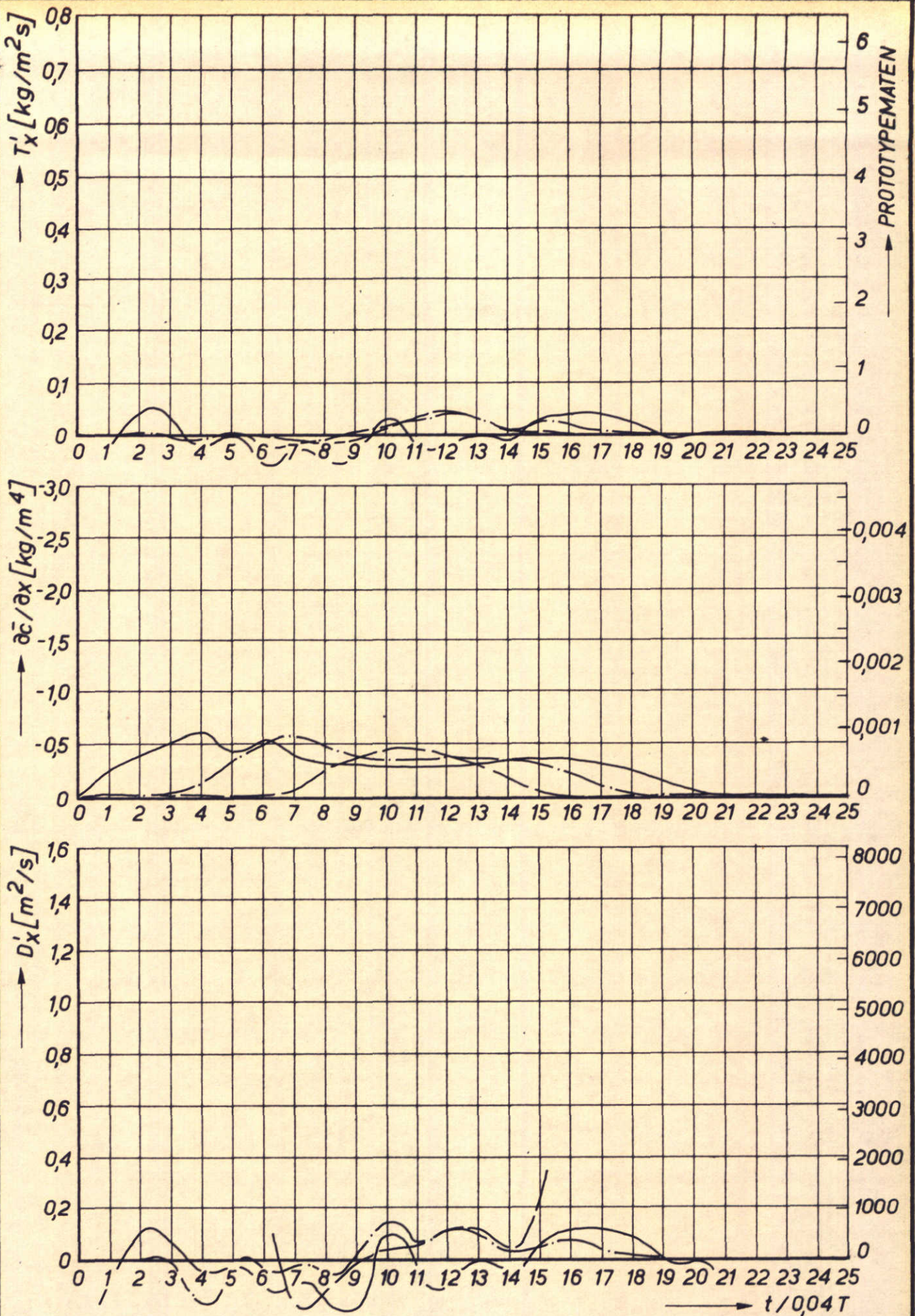
■ REFERENTIEPROEF
ROTTERD. WATERWEG

A4



ONDERZOEK VARIATIE ZOUTKONCENTRATIE ZEE
PROEF T 143 ($c_z = 5 \text{ kg/m}^3$)

| | | |
|-------|--------------------------|----------------|
| ==== | $X/\Delta X = 2, 4, 6$ | W _K |
| ===== | $X/\Delta X = 8, 10, 12$ | |
| ===== | $X/\Delta X = 14, 16$ | |



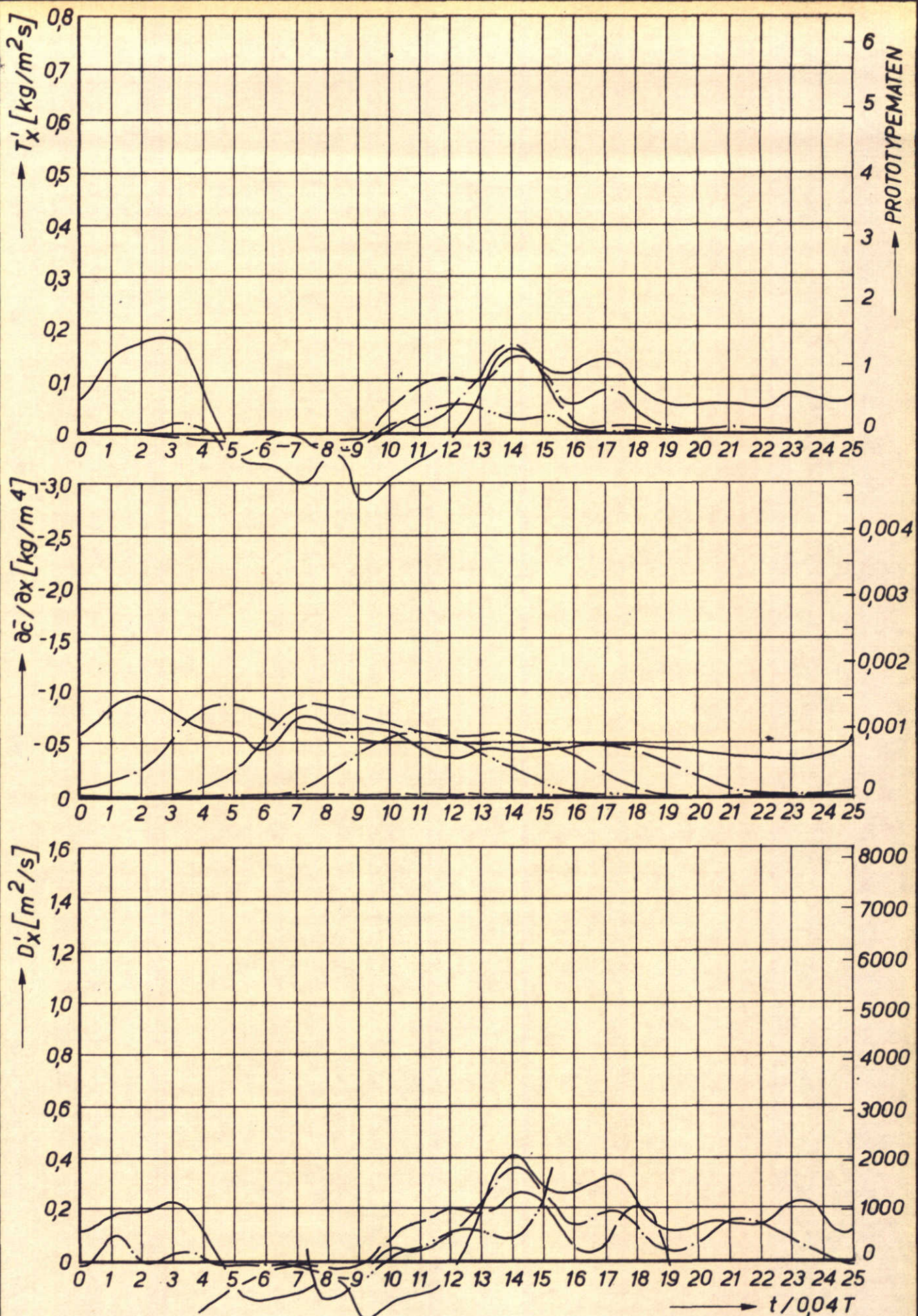
ONDERZOEK VARIATIE ZOUTKONCENTRATIE ZEE

PROEF T 142 ($c_z = 10 \text{ kg}/\text{m}^3$)

$X / \Delta x = 2, 4, 6$
 $X / \Delta x = 8, 10, 12$
 $X / \Delta x = 14, 16$

W_K

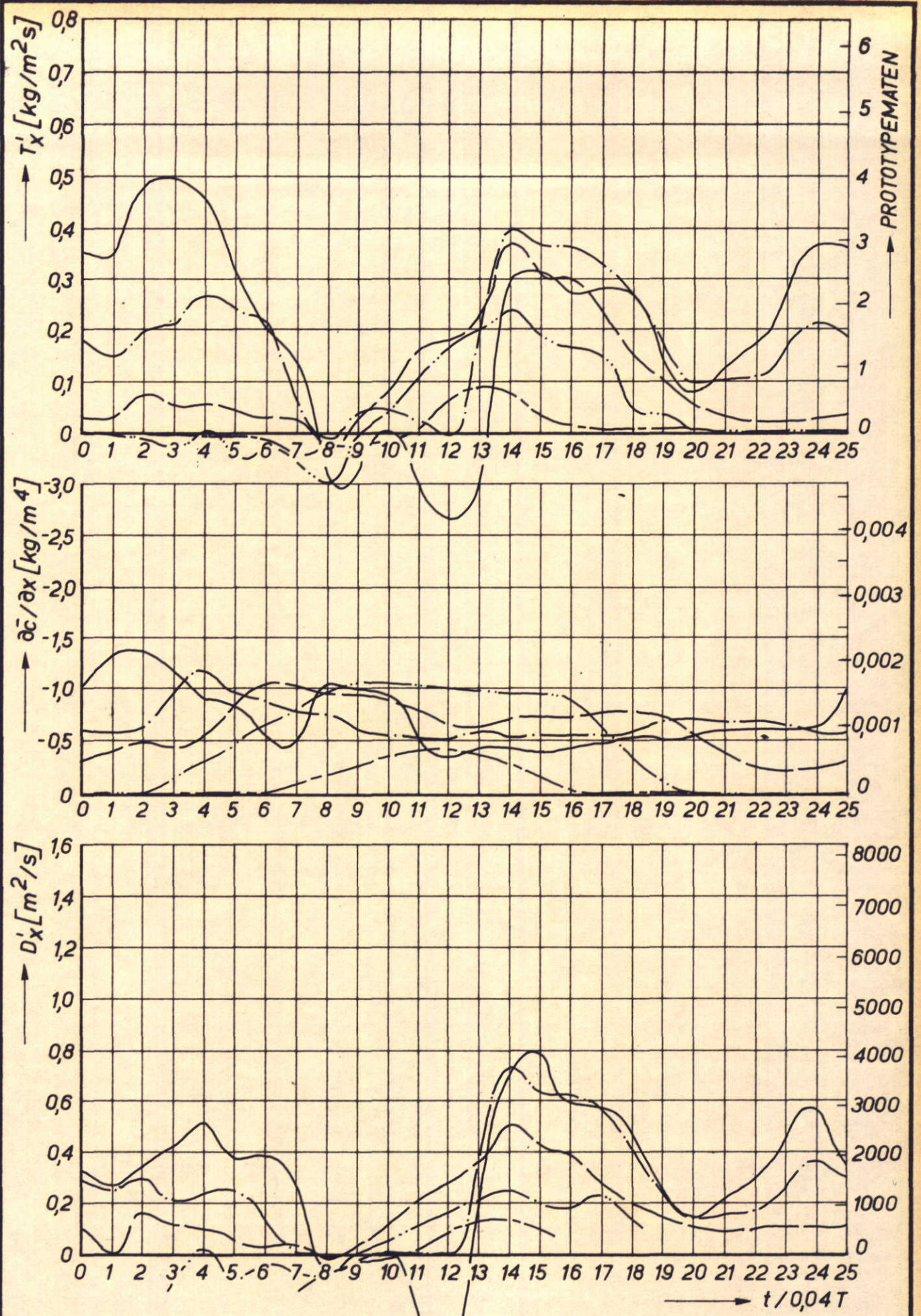
A4



ONDERZOEK VARIATIE ZOUTKONCENTRATIE ZEE
PROEF T 141 ($c_z = 20 \text{ kg}/\text{m}^3$)

$\cdots \cdots \cdots X/\Delta X = 2, 4, 6$
 $- - - - - X/\Delta X = 8, 10, 12$
 $- - - - - X/\Delta X = 14, 16$

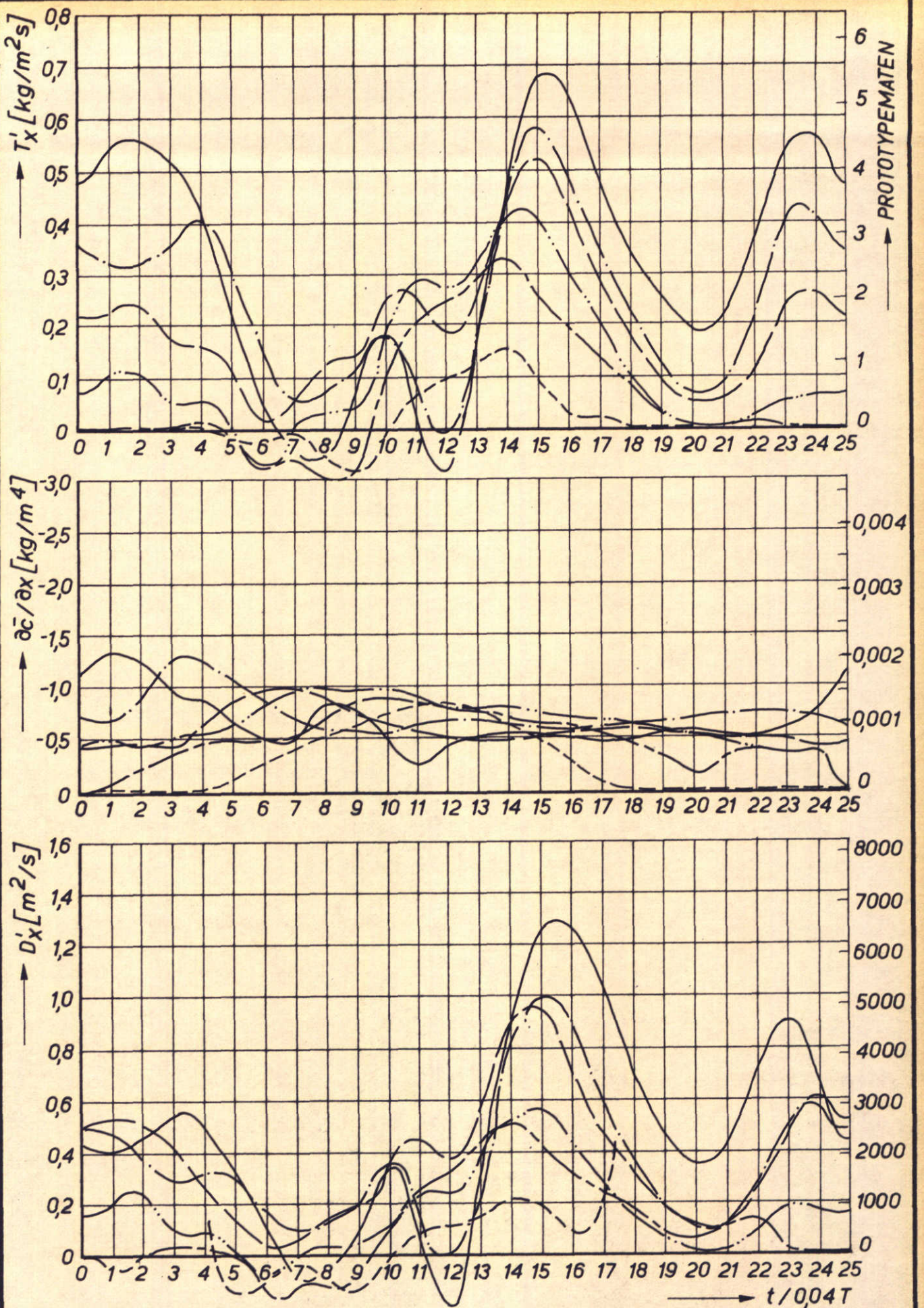
W_K
 A_4



ONDERZOEK VARIATIE ZOUTKONCENTRATIE ZEE
PROEF T3 ($c_z = 30 \text{ kg}/\text{m}^3$)

— $X/\Delta X = 2, 4, 6$
- - - $X/\Delta X = 8, 10, 12$
- - - $X/\Delta X = 14, 16$

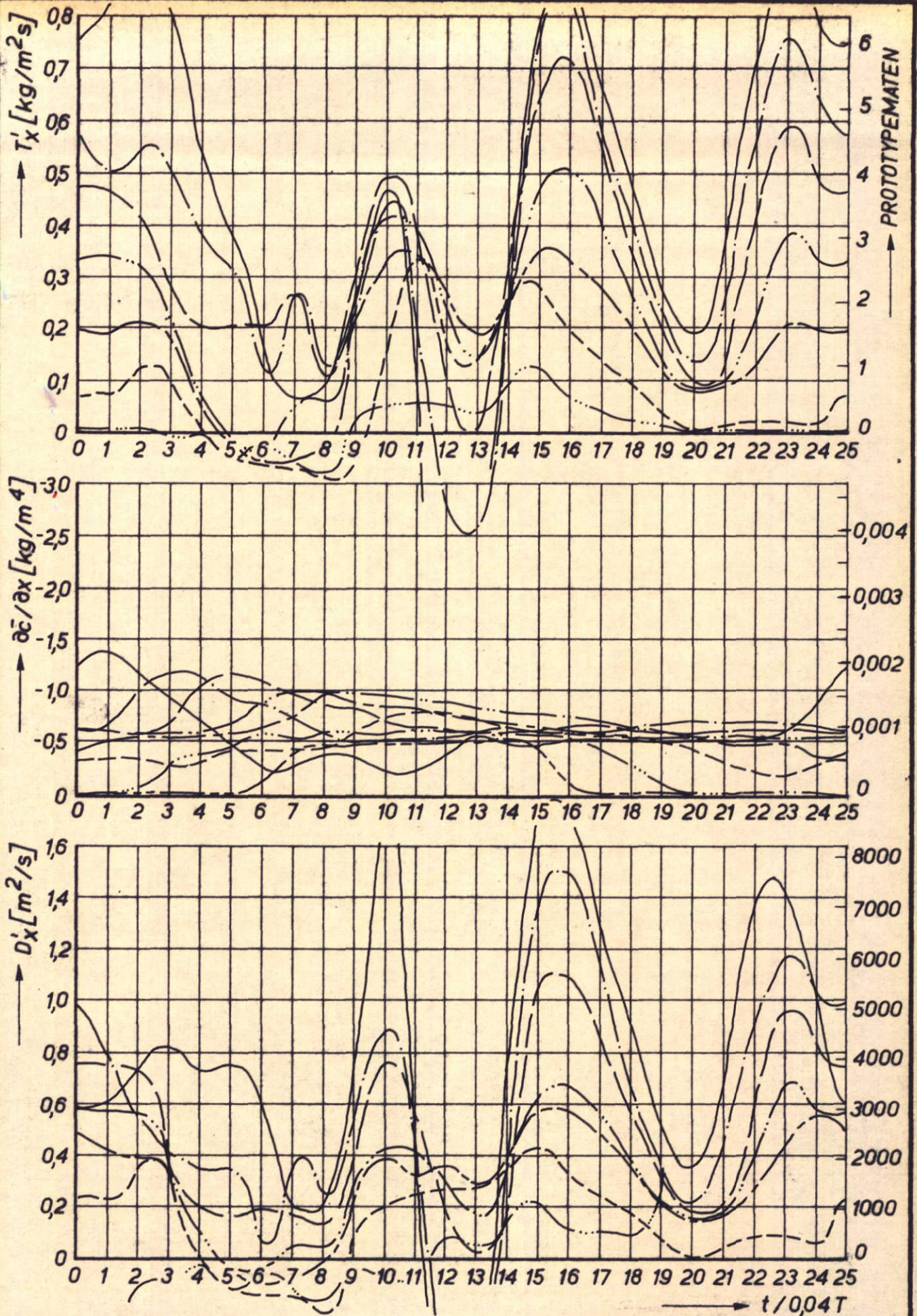
W_K
 A_4



ONDERZOEK VARIATIE ZOUTKONCENTRATIE ZEE
PROEF T 140 ($c_z = 40 \text{ kg/m}^3$)

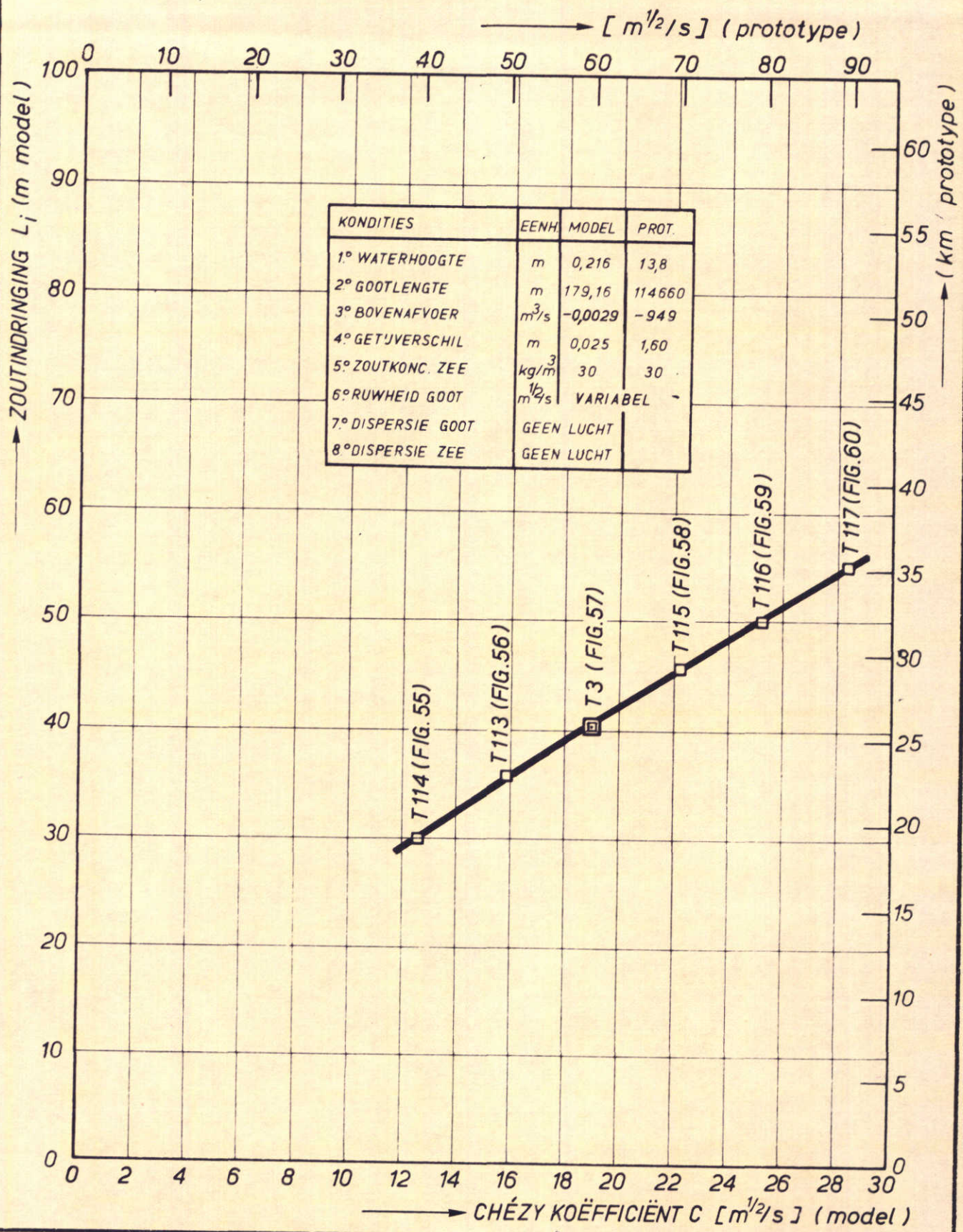
$X/\Delta X = 2, 4, 6$
 $X/\Delta X = 8, 10, 12$
 $X/\Delta X = 14, 16$

W_K
 A_4



ONDERZOEK VARIATIE ZOUTKONCENTRATIE ZEE
PROEF T 144 ($c_z = 50 \text{ kg/m}^3$)

| | |
|--------------------|-------|
| $X/ΔX = 2, 4, 6$ | w_K |
| $X/ΔX = 8, 10, 12$ | |
| $X/ΔX = 14, 16$ | A4 |



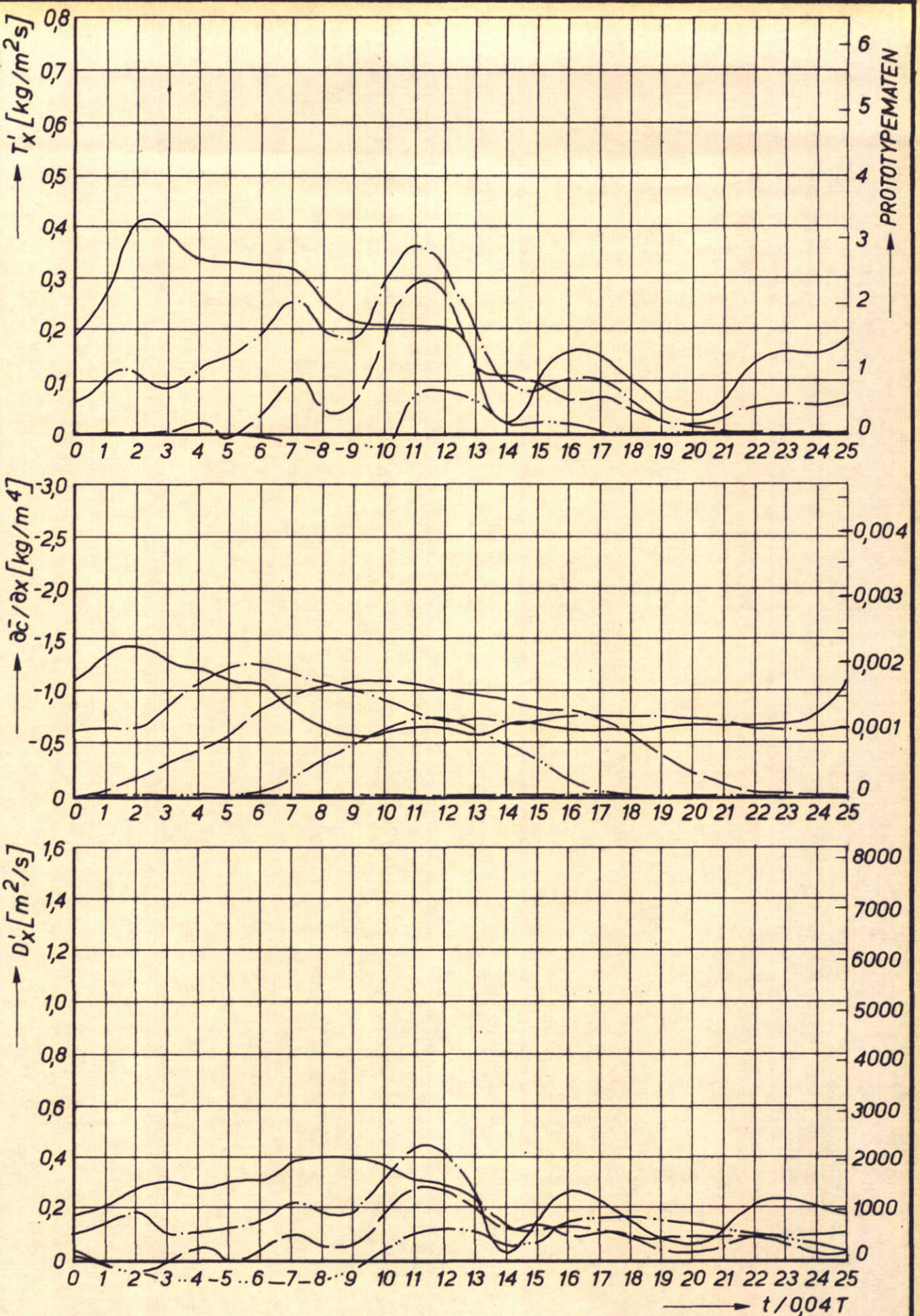
ZOUTINDRINGING BIJ VARIATIE CHEZY-KOËFFICIËNT

MEETRESULTATEN

REFERENTIEPROEF
ROTTERD. WATERWEG

L7

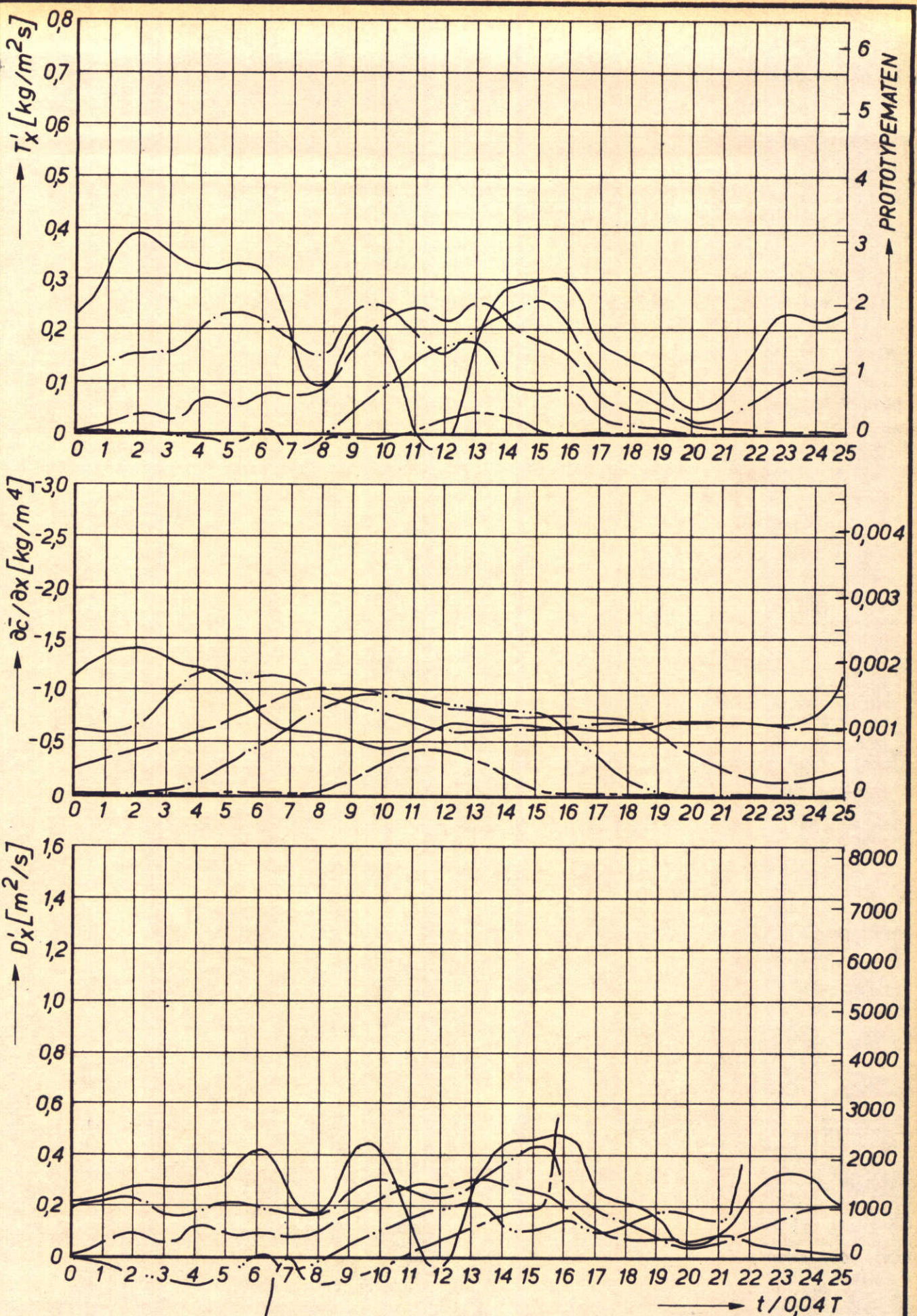
A4



ONDERZOEK VARIATIE RUWHEID
PROEF T 114 ($C = 40 \text{ m}^{1/2}/\text{s}$ PROTOTYPE)

$X/\Delta X = 2, 4, 6$
 $X/\Delta X = 8, 10, 12$
 $X/\Delta X = 14, 16$

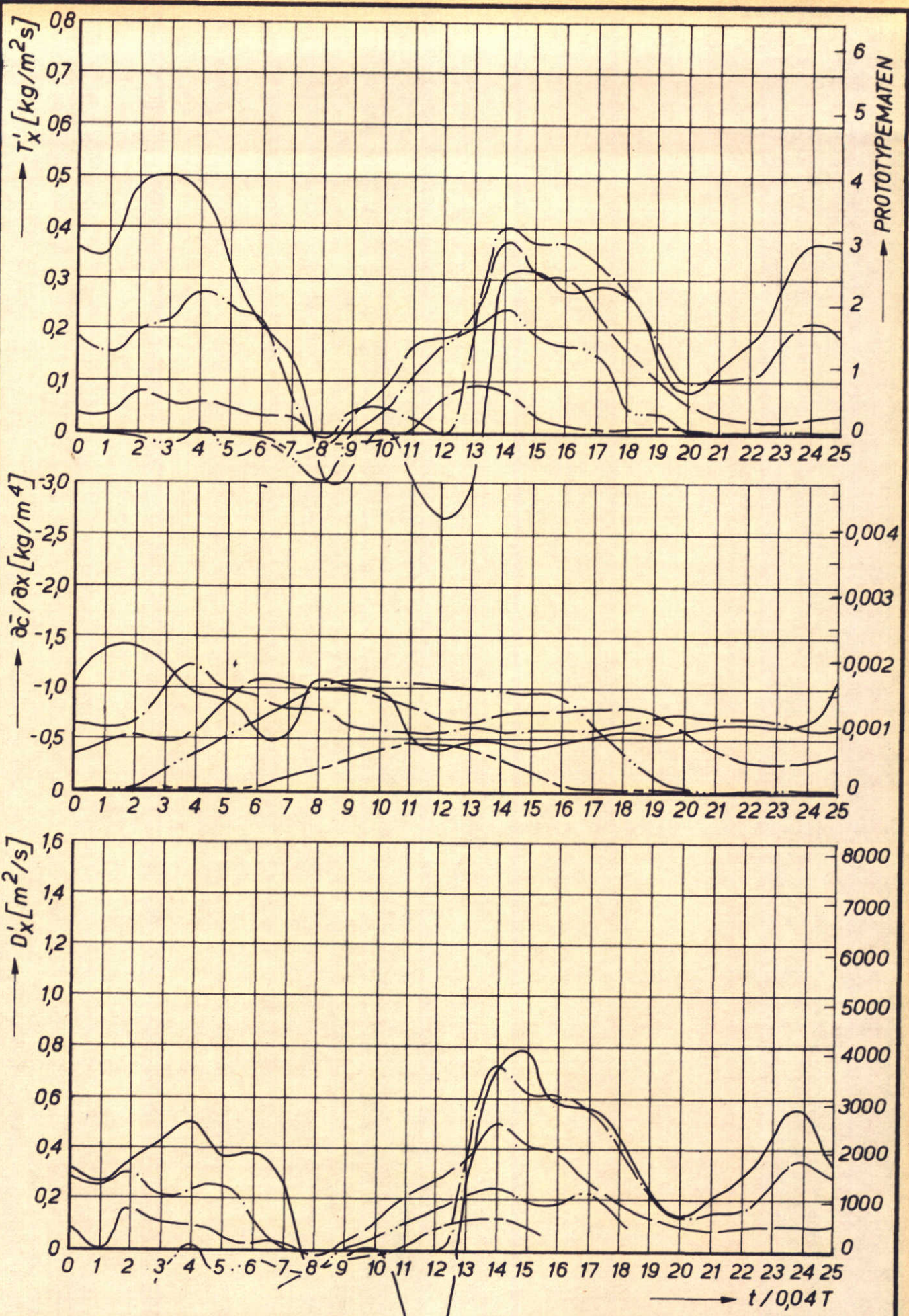
W_K
A4



ONDERZOEK VARIATIE RUWHEID
PROEF T 113 ($C = 50 \text{ m}^{1/2}/\text{s}$ PROTOTYPE)

$X/\Delta X = 2, 4, 6$
 $X/\Delta X = 8, 10, 12$
 $X/\Delta X = 14, 16$

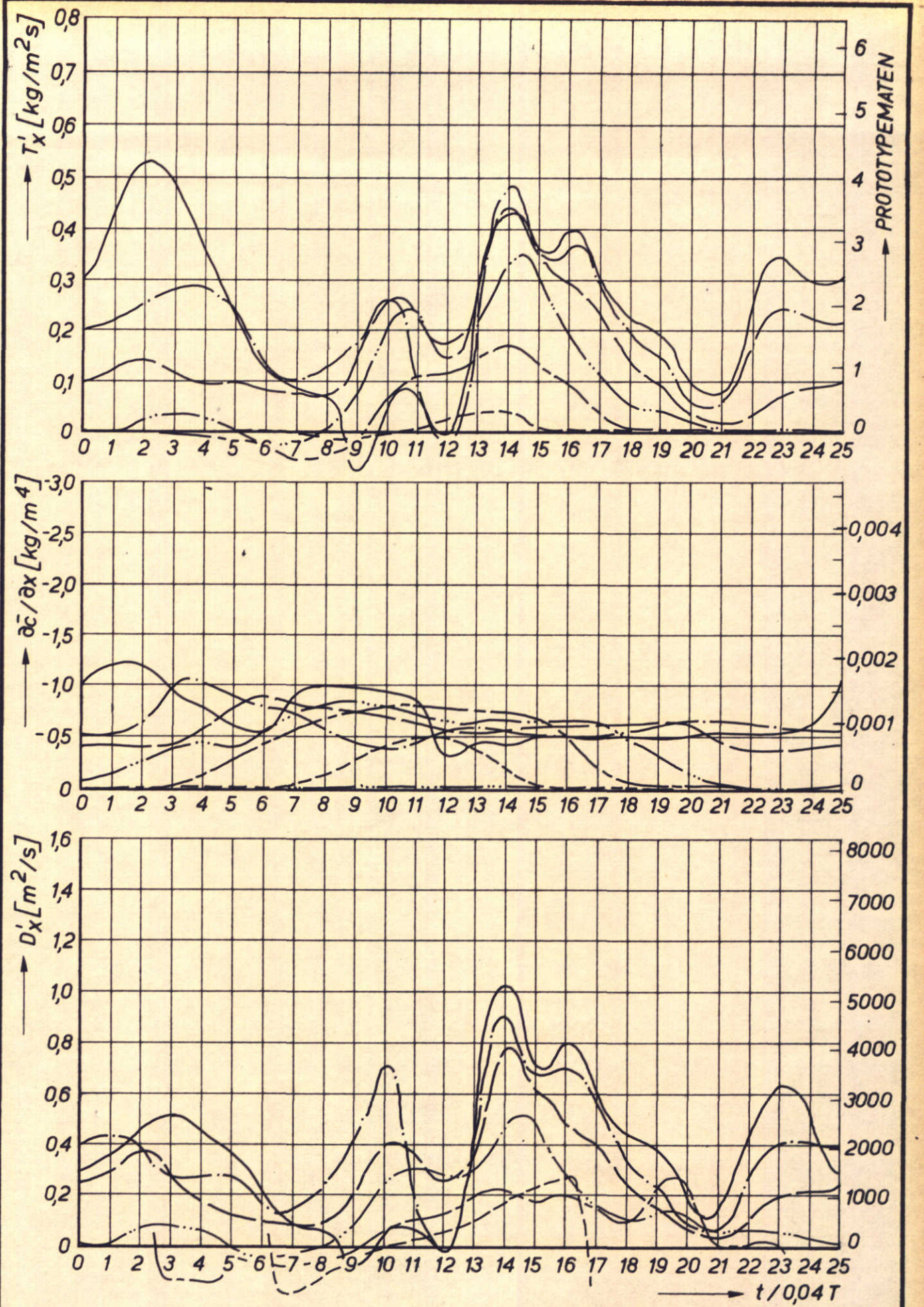
W_K
 A_4



ONDERZOEK VARIATIE RUWHEID
PROEF T 3 ($C = 60 m^{1/2}/s$ PROTOTYPE)

— · — $X/\Delta X = 2, 4, 6$
— · — $X/\Delta X = 8, 10, 12$
— · — $X/\Delta X = 14, 16$

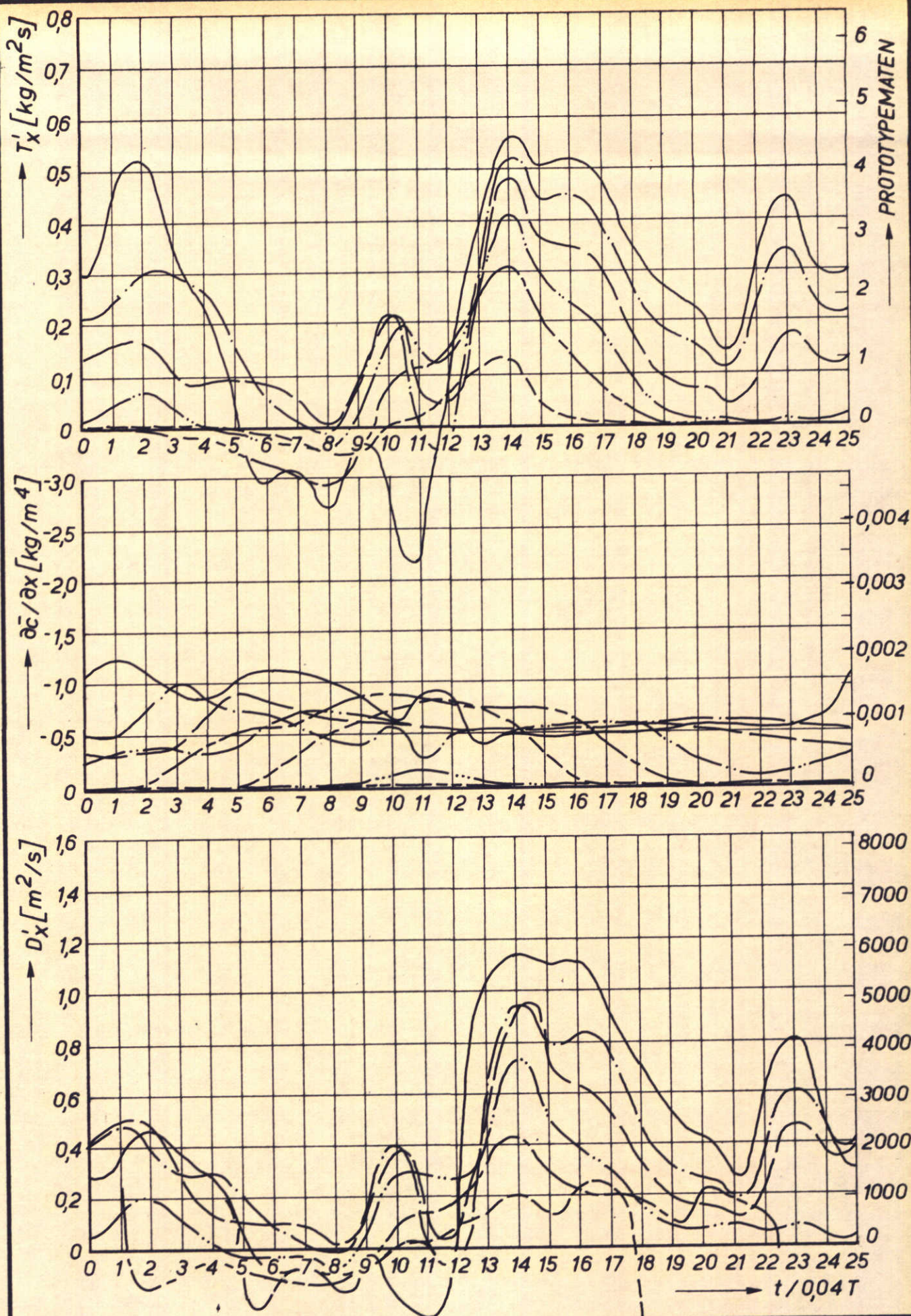
W_K
 A_4



ONDERZOEK VARIATIE RUWHEID

PROEF T 115 ($C = 70 \text{ m}^{1/2}/\text{s}$ PROTOTYPE)

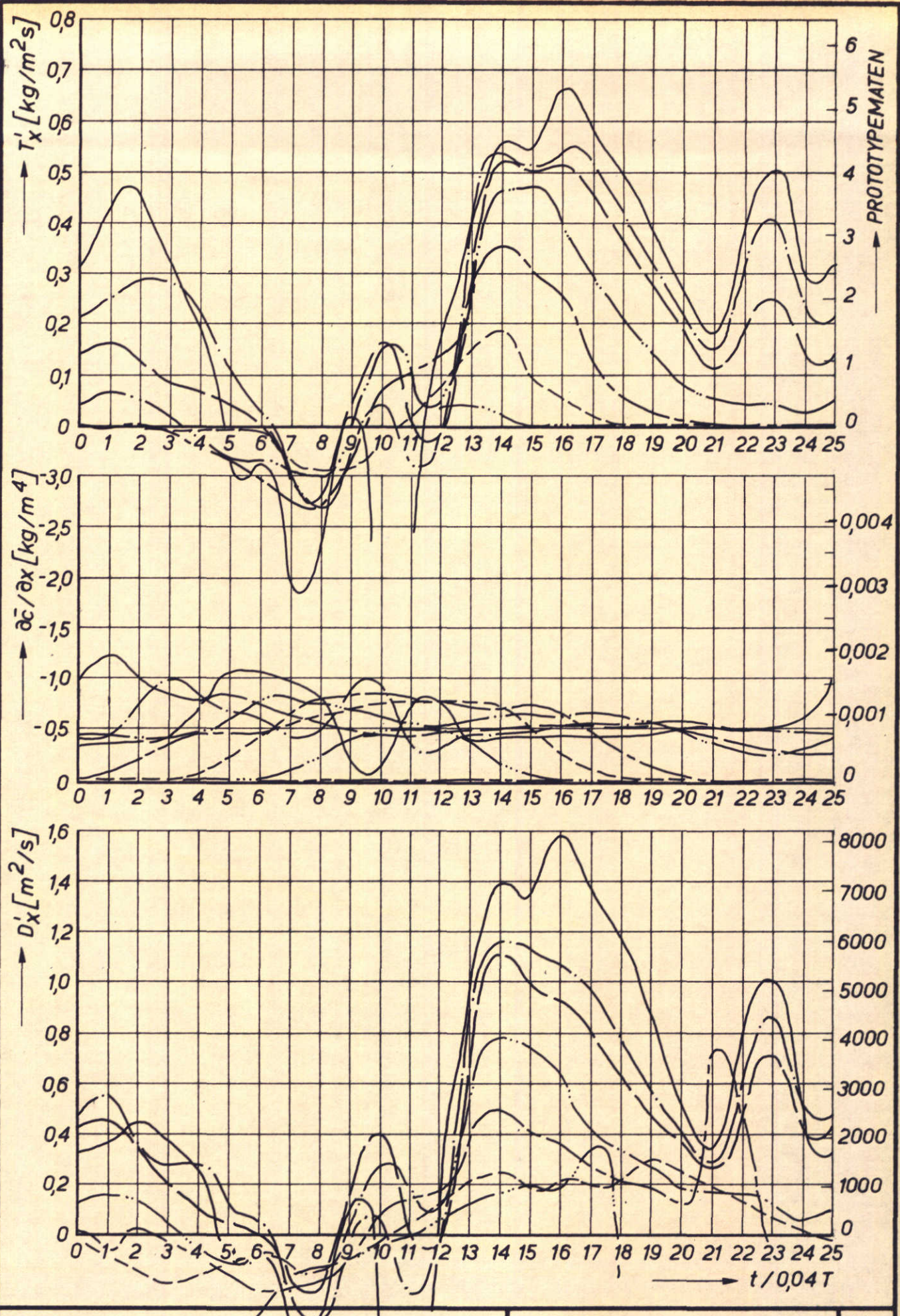
| | |
|--------------------------|-------|
| $X/\Delta X = 2, 4, 6$ | W_K |
| $X/\Delta X = 8, 10, 12$ | |
| $X/\Delta X = 14, 16$ | A4 |



ONDERZOEK VARIATIE RUWHEID
PROEF T 116 ($C = 80 \text{ m}^{1/2}/\text{s}$ PROTOTYPE)

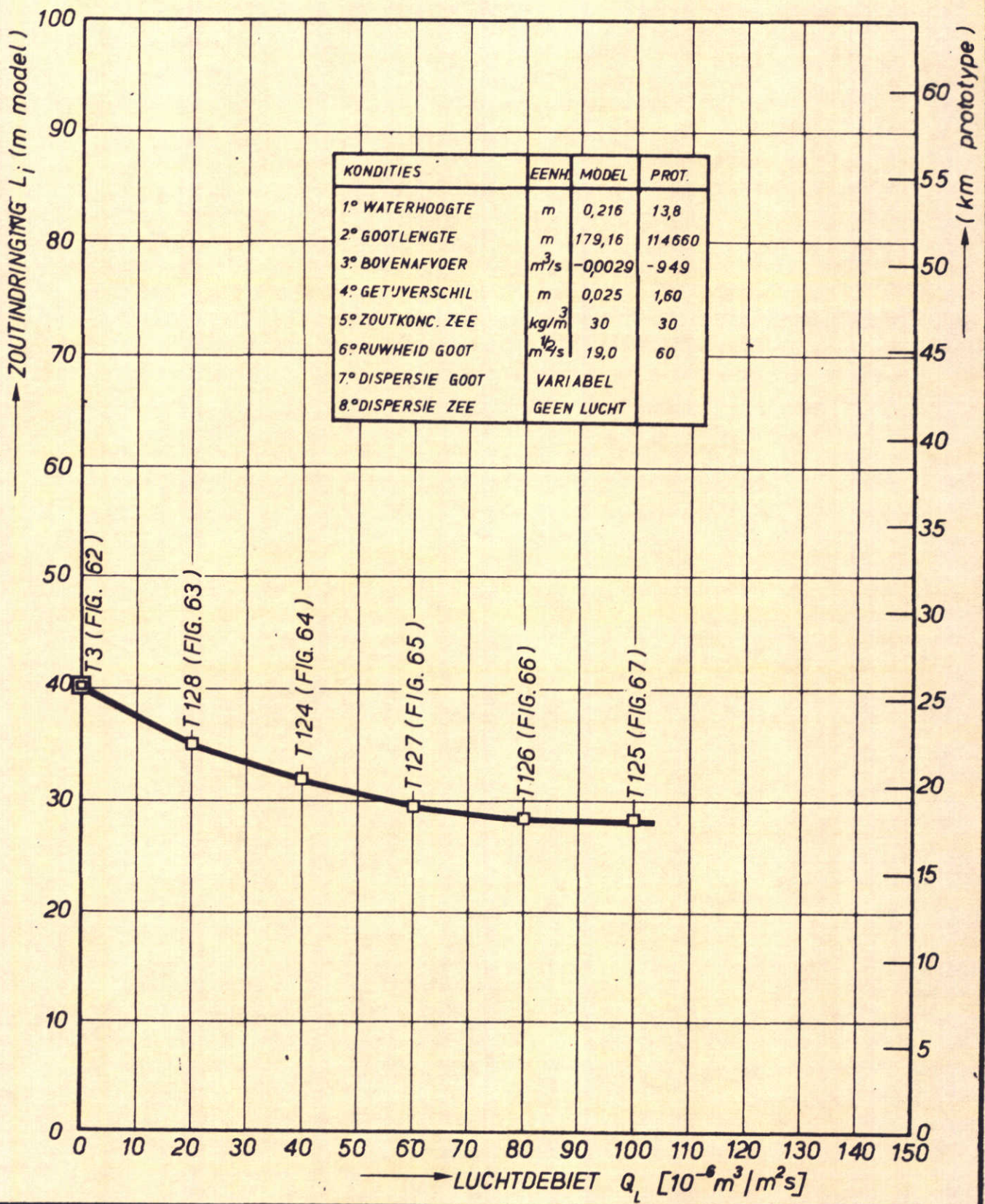
$X/\Delta X = 2, 4, 6$
 $X/\Delta X = 8, 10, 12$
 $X/\Delta X = 14, 16$

W
K
A4



ONDERZOEK VARIATIE RUWHEID
PROEF T 117 ($C = 90 m^{1/2}/s$ PROTOTYPE)

| | |
|--------------------------|-------|
| $X/\Delta X = 2, 4, 6$ | w_K |
| $X/\Delta X = 8, 10, 12$ | |
| $X/\Delta X = 14, 16$ | A4 |



ZOUTINDRINGING BIJ VARIATIE LUCHTINJEKTIE GOOT

MEETRESULTATEN

REFERENTIE PROEF
ROTTERD. WATERWEG

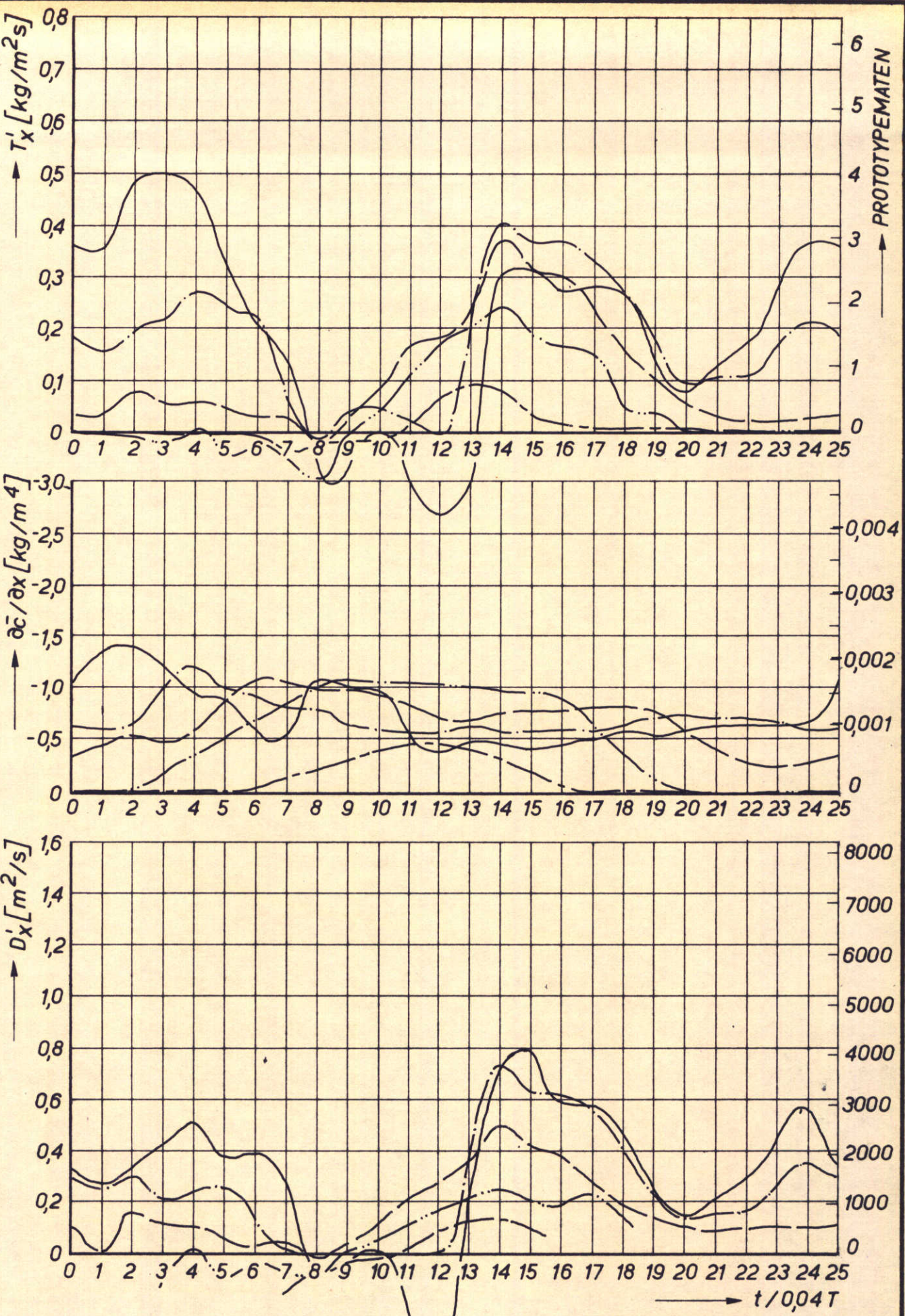
G.P.

A4

WATERLOOPKUNDIG LABORATORIUM

M.896-2196

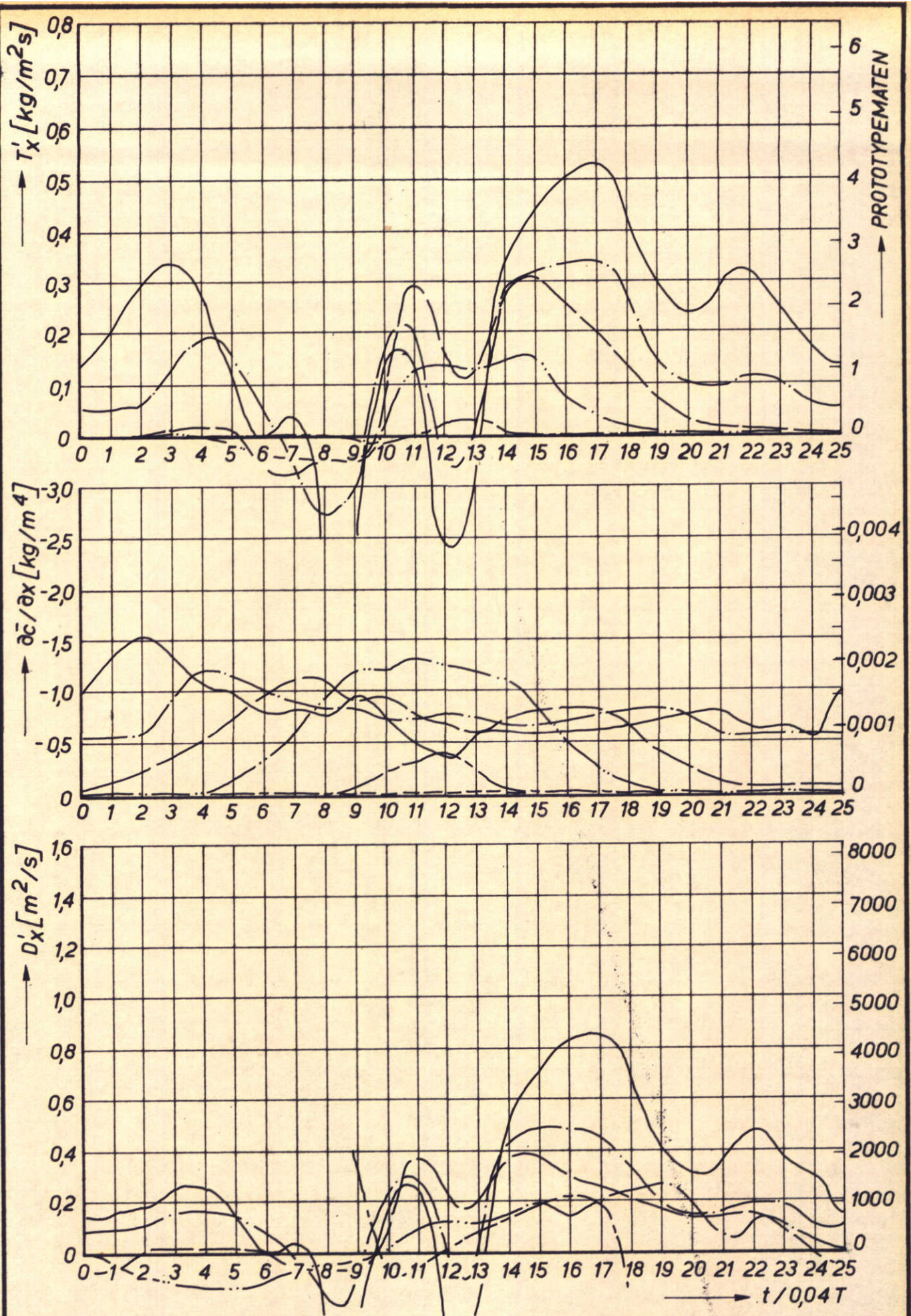
FIG. 61



ONDERZOEK VARIATIE LUCHTINJEKTIE

PROEF T3 ($Q_a = 0 \text{ cc}/\text{m}^2\text{s}$)

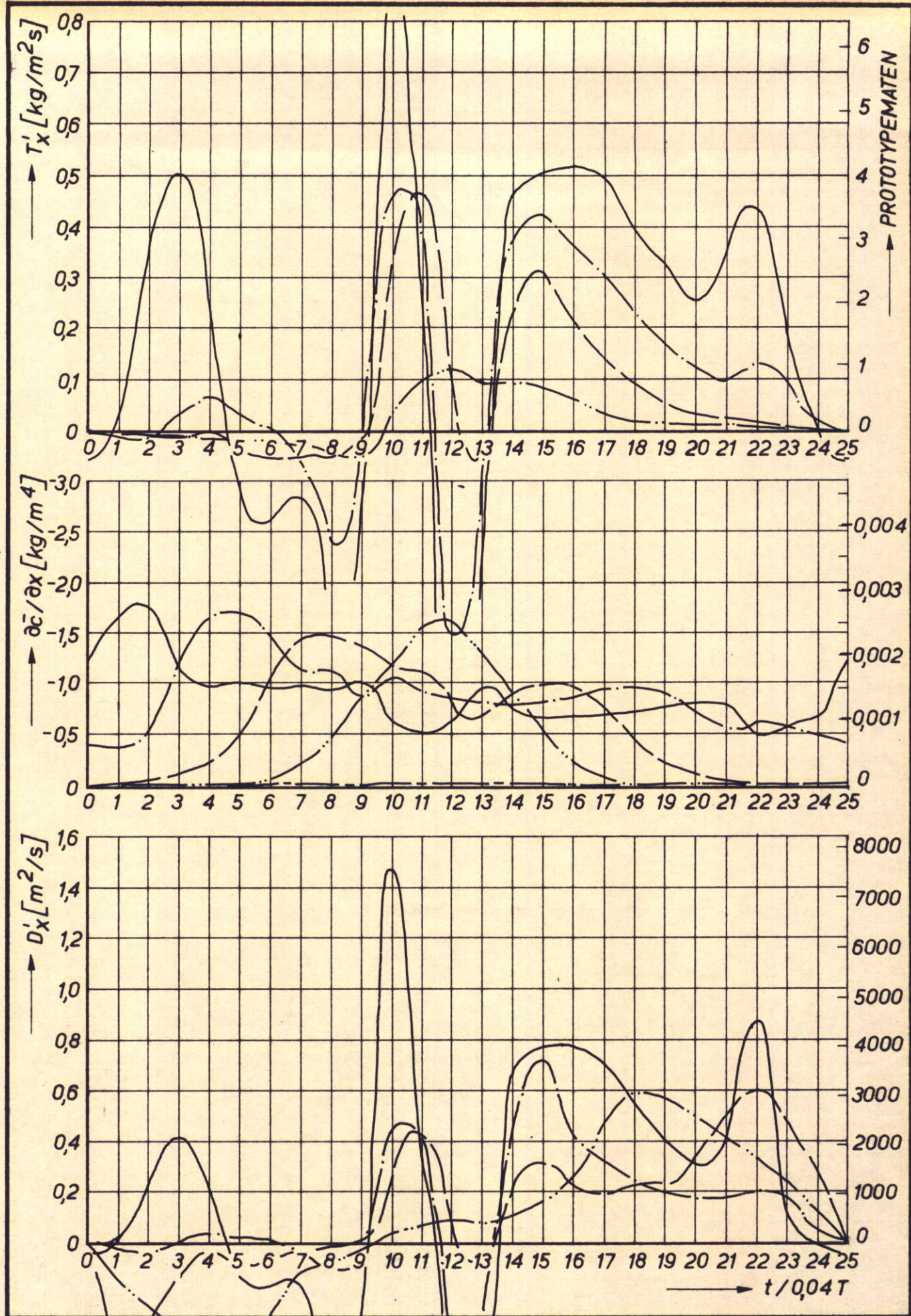
| | |
|--------------------------|-------|
| $X/\Delta X = 2, 4, 6$ | W_K |
| $X/\Delta X = 8, 10, 12$ | |
| $X/\Delta X = 14, 16$ | A4 |



ONDERZOEK VARIATIE LUCHTINJEKTIE
PROEF T 128 ($Q_a = 20 \text{ cc}/\text{m}^2\text{s}$)

==== $X/\Delta X = 2, 4, 6$
===== $X/\Delta X = 8, 10, 12$
===== $X/\Delta X = 14, 16$

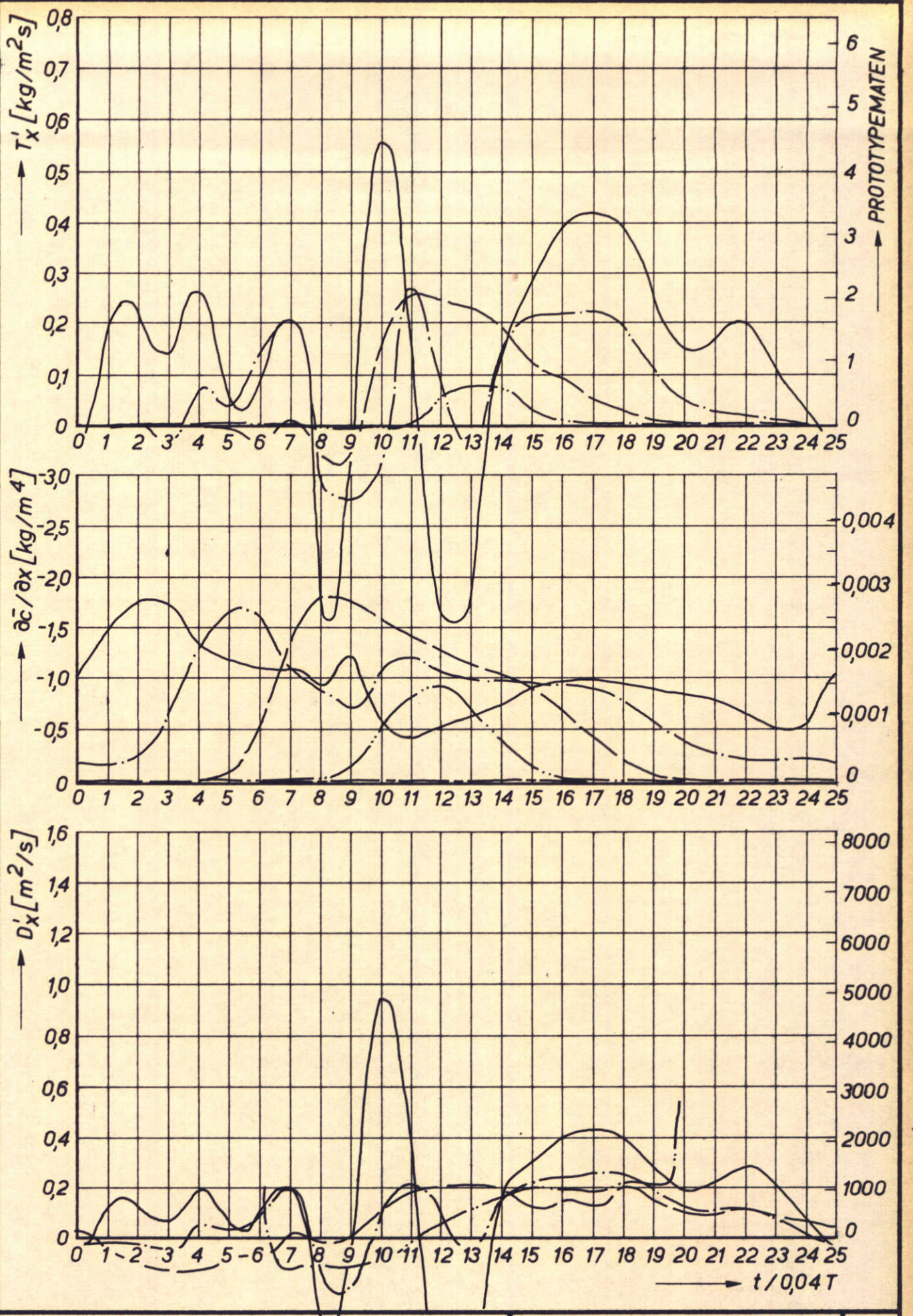
W_K
 $A4$



ONDERZOEK VARIATIE LUCHTINJEKTIE
PROEF T 124 ($Q_a = 40 \text{ cc}/\text{m}^2 \text{s}$)

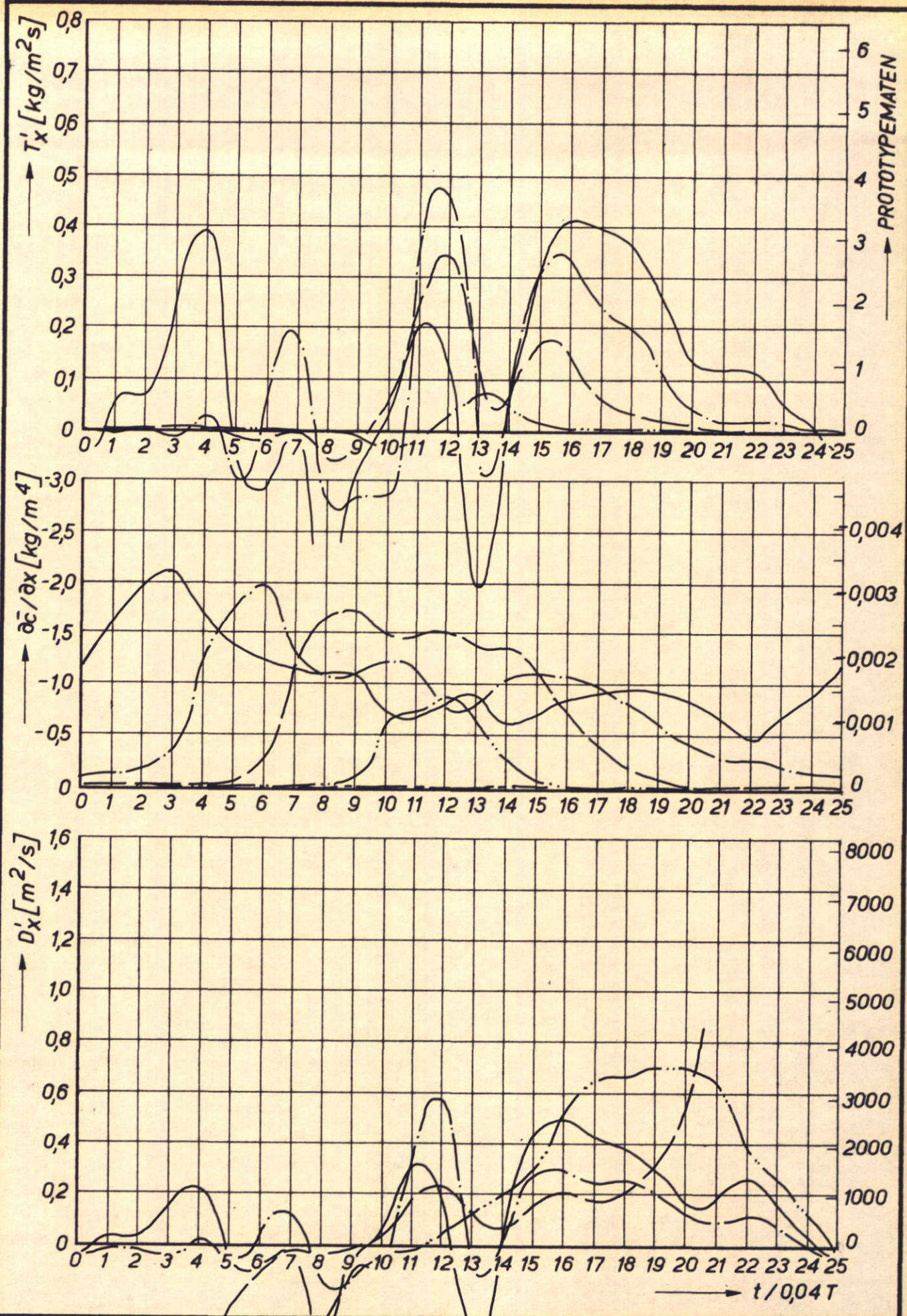
$X/\Delta X = 2, 4, 6$
 $X/\Delta X = 8, 10, 12$
 $X/\Delta X = 14, 16$

W_K
 A_4



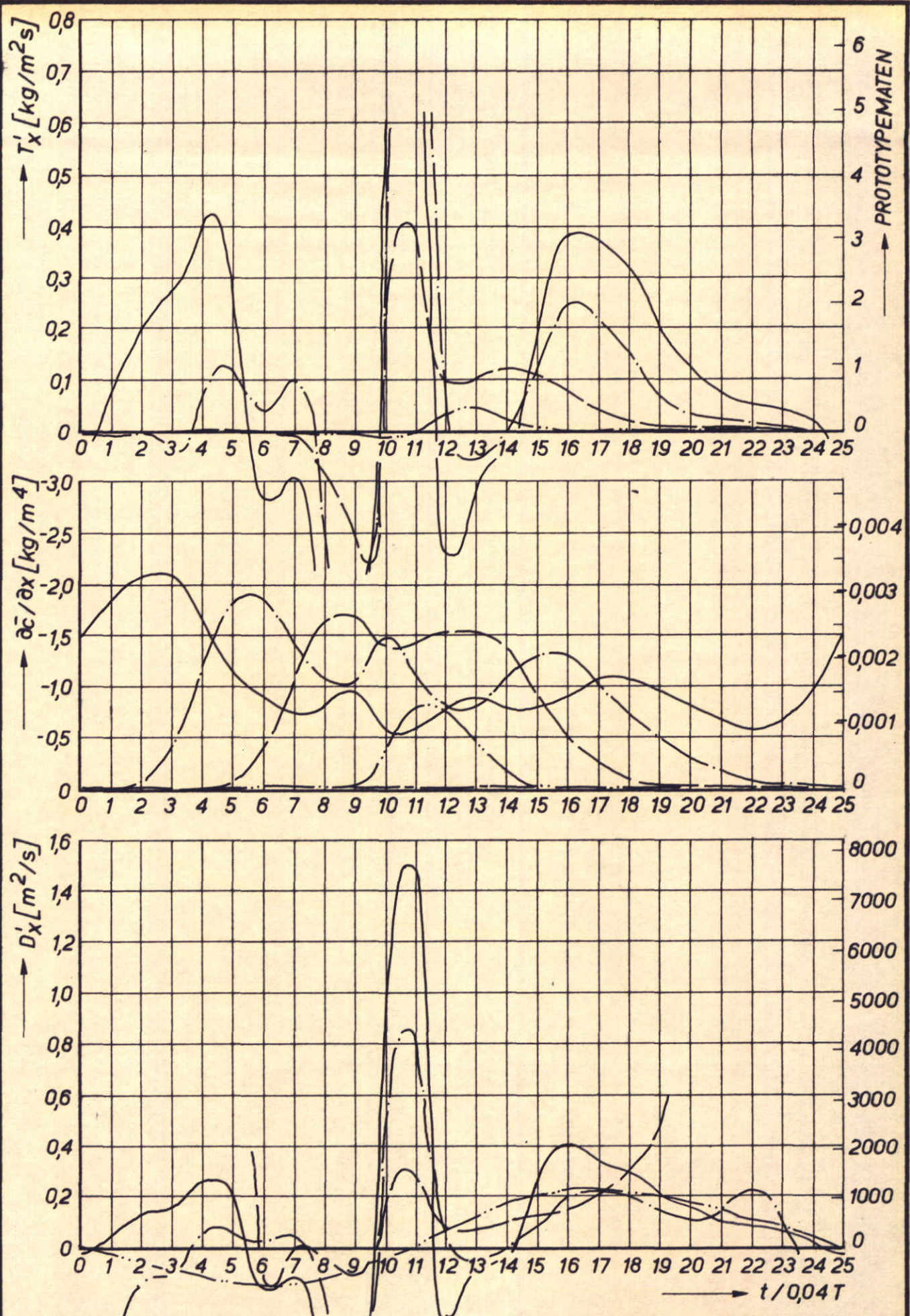
ONDERZOEK VARIATIE LUCHTINJEKTIE
PROEF T 127 ($Q_a = 60 \text{ cc}/\text{m}^2\text{s}$)

| | |
|--------------------------|-----|
| $X/\Delta X = 2, 4, 6$ | W |
| $X/\Delta X = 8, 10, 12$ | K |
| $X/\Delta X = 14, 16$ | A4 |



ONDERZOEK VARIATIE LUCHTINJEKTIE
PROEF T 126 ($Q_a = 80 \text{ cc/m}^2 \text{s}$)

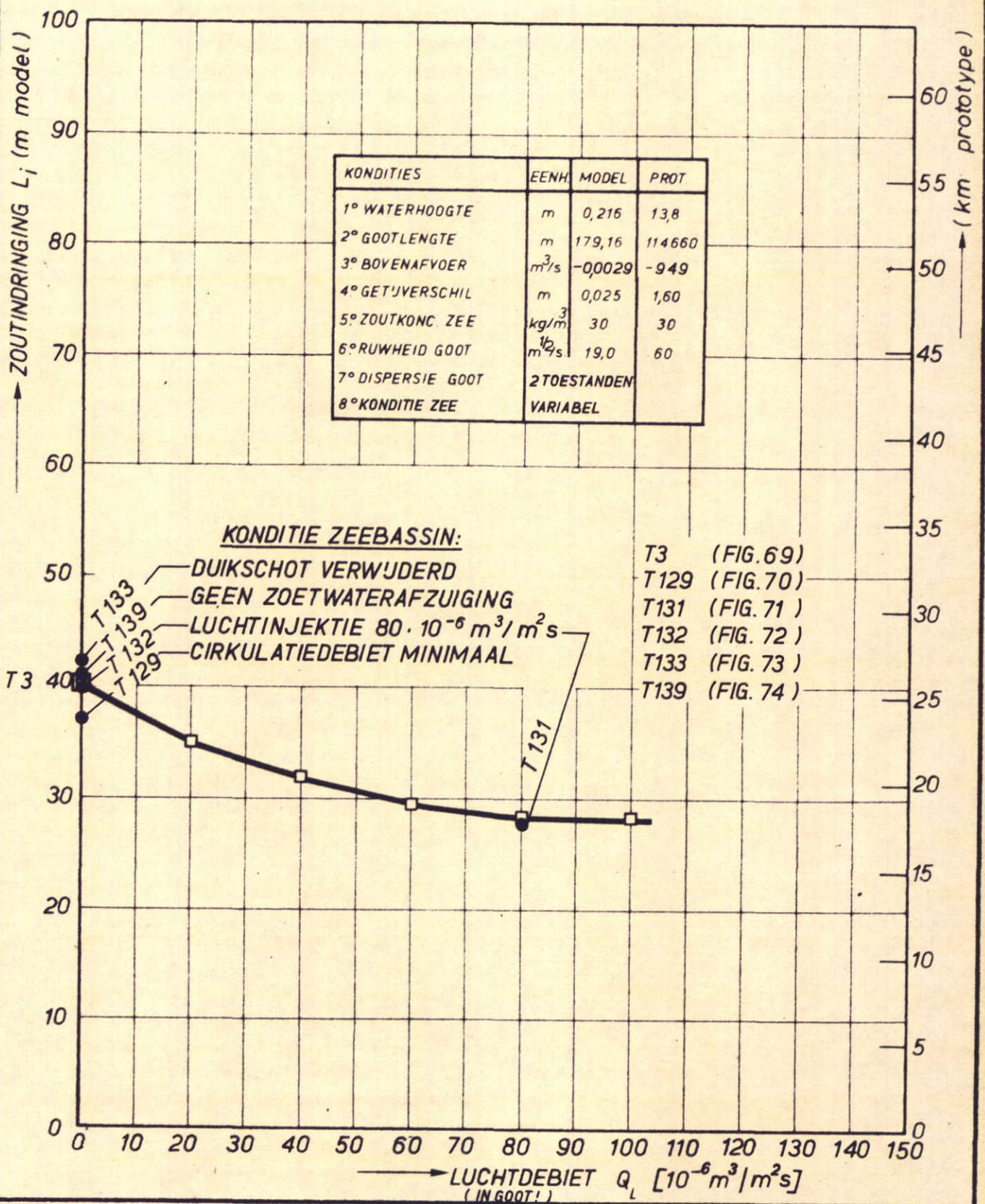
| | |
|----------------------------|-------|
| $X / \Delta X = 2, 4, 6$ | W_K |
| $X / \Delta X = 8, 10, 12$ | |
| $X / \Delta X = 14, 16$ | A4 |



ONDERZOEK VARIATIE LUCHTINJEKTIE
PROEF T 125 ($Q_d = 100 \text{ cc}/\text{m}^2\text{s}$)

— · — $X/\Delta X = 2, 4, 6$
— · — $X/\Delta X = 8, 10, 12$
— · — $X/\Delta X = 14, 16$

W_K
A4



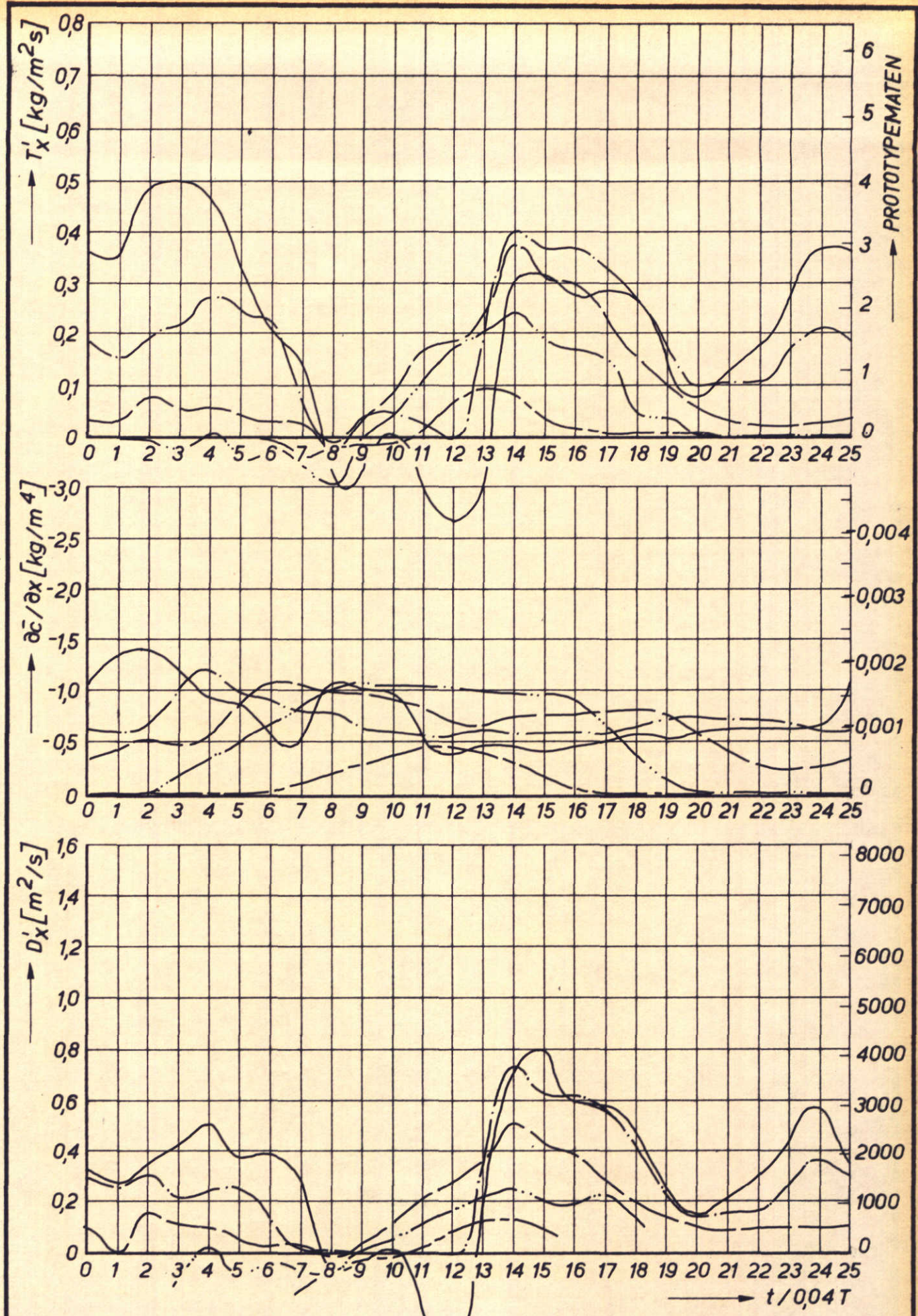
ZOUTINDRINGING BIJ VARIATIE KONDITIE ZEE

MEETRESULTATEN

QP

REFERENTIEPROEF
ROTTERD WATERWEG

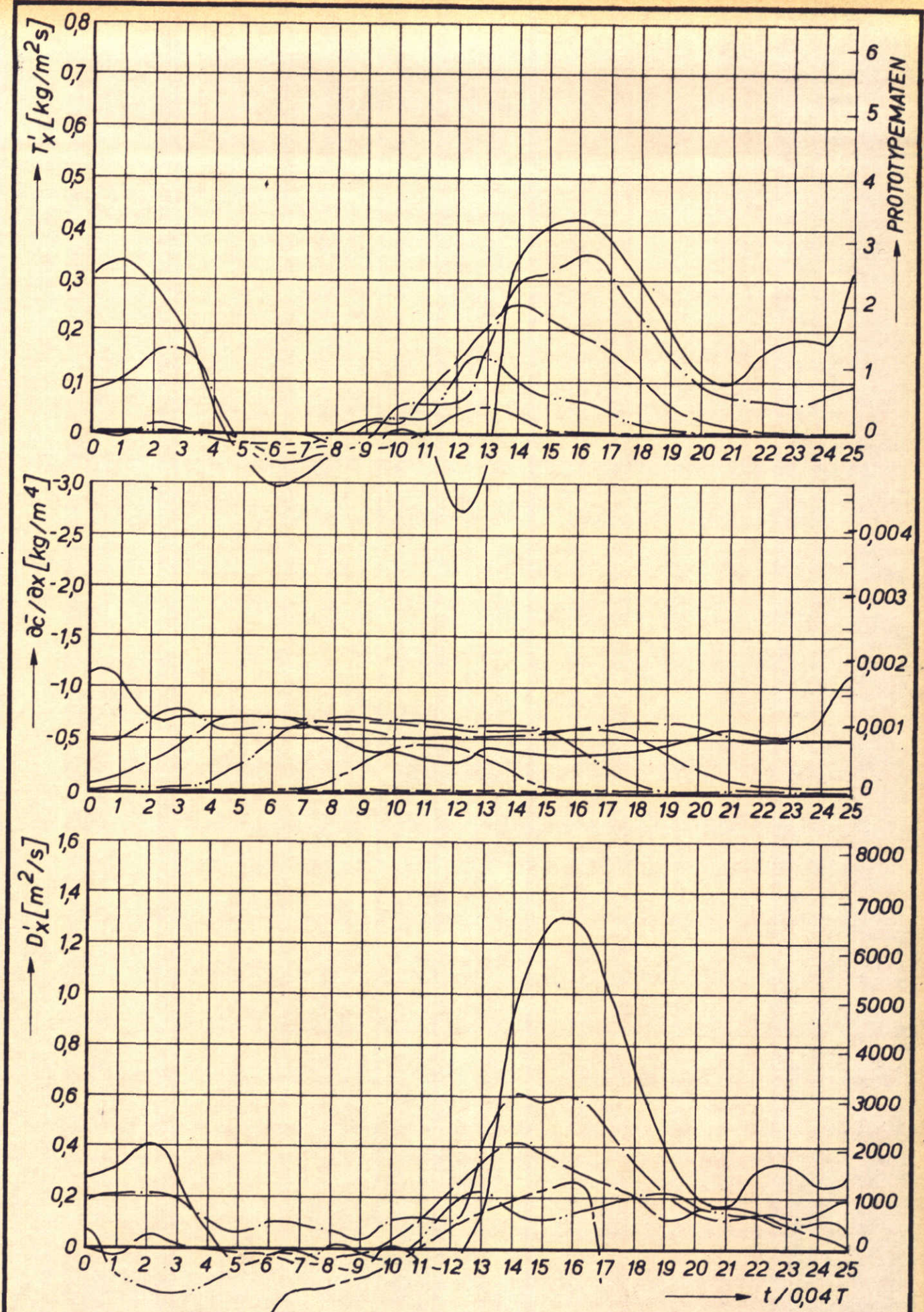
A4



ONDERZOEK VARIATIE KONDITIE ZEE
PROEF T 3 (ZEE ONVERANDERD)

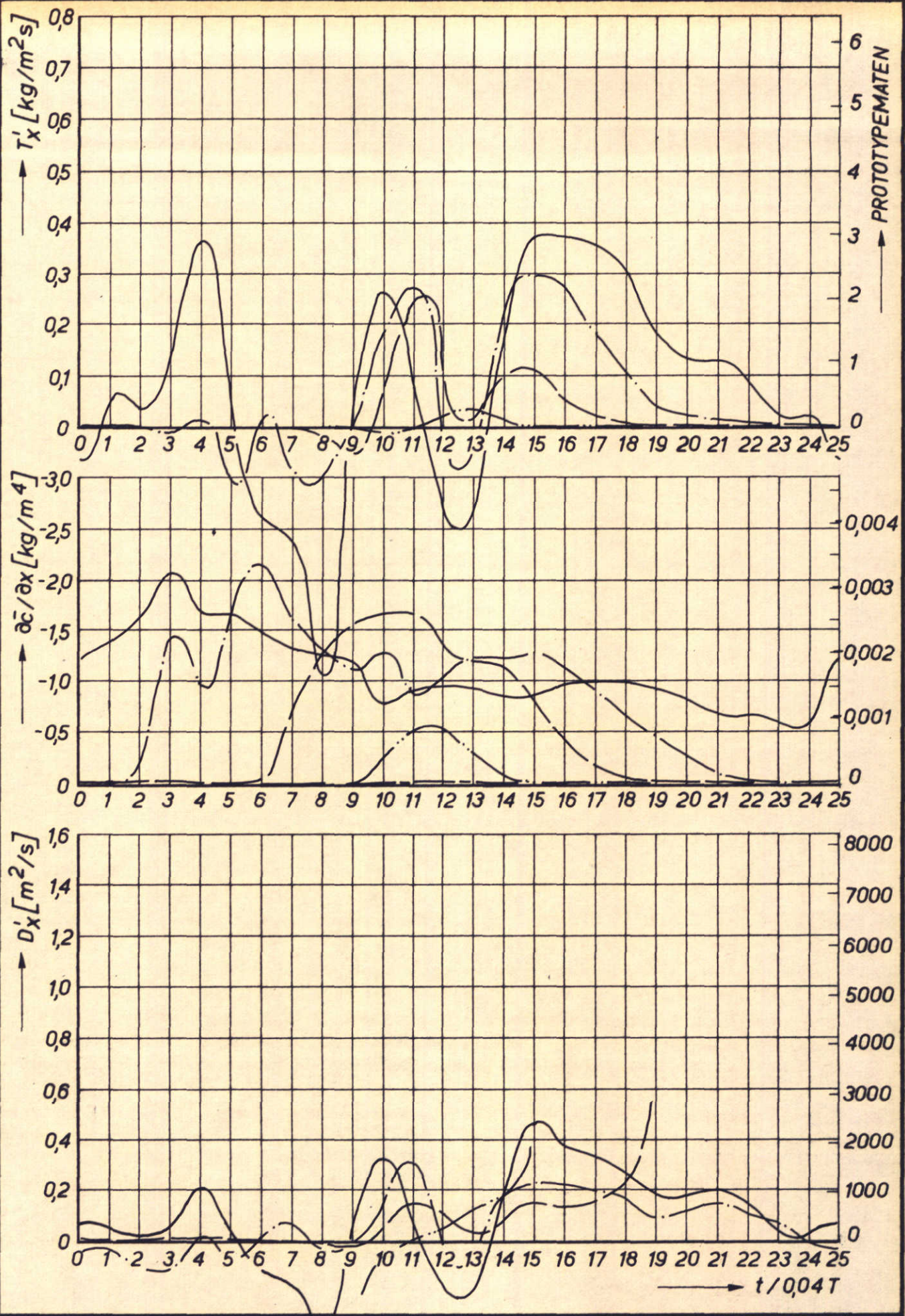
$X/\Delta X = 2, 4, 6$
 $X/\Delta X = 8, 10, 12$
 $X/\Delta X = 14, 16$

W_K
 A_4



ONDERZOEK VARIATIE KONDITIE ZEE
PROEF T 129 (CIRKULATIEDEBIET MINIMAAL)

$X/\Delta X = 2, 4, 6$
 $X/\Delta X = 8, 10, 12$
 $X/\Delta X = 14, 16$

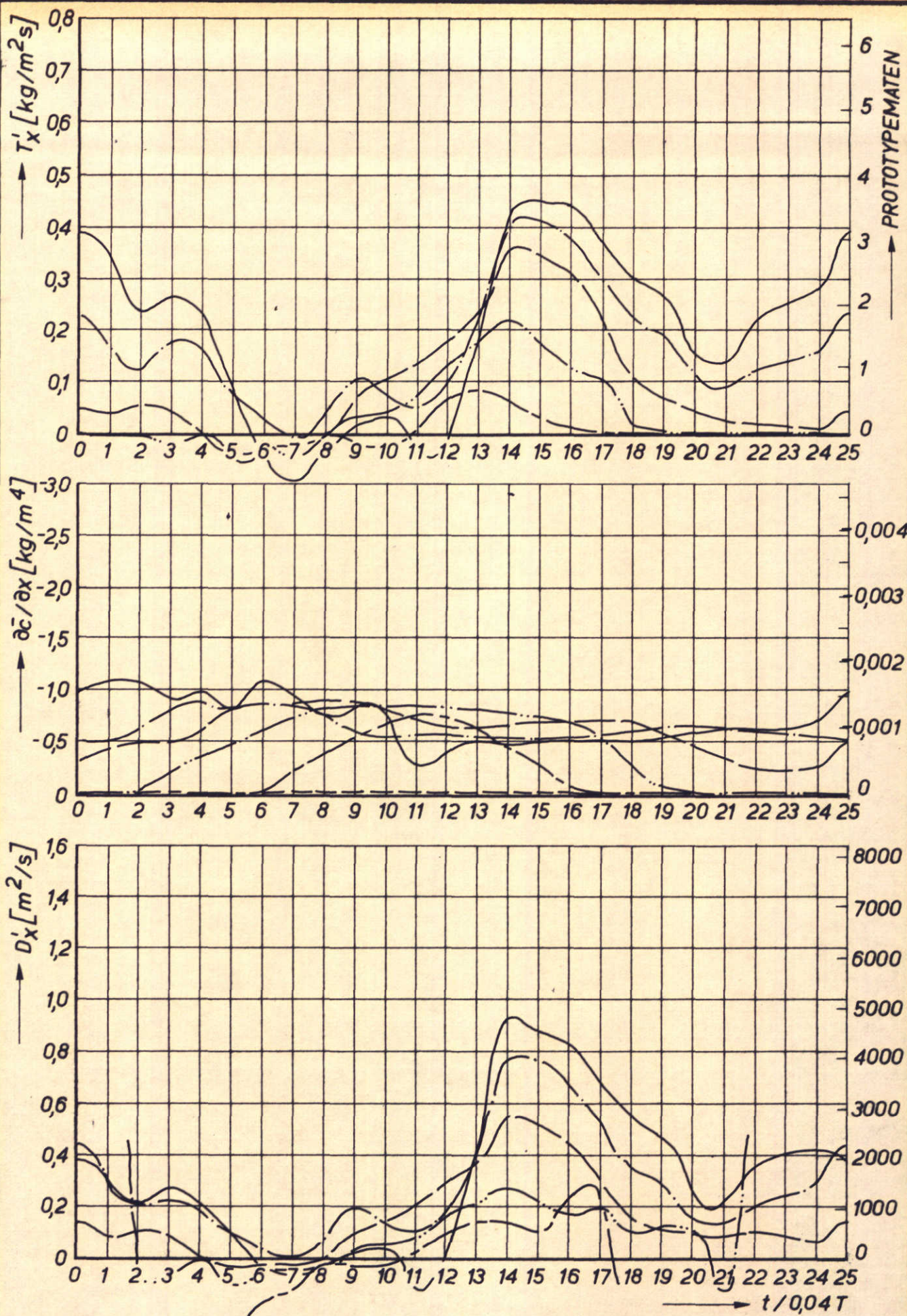


ONDERZOEK VARIATIE KONDITIE ZEE
PROEF T 131 [LUCHT 80 cc/m²s (ZEE+GOOT)]

X/ΔX = 2, 4, 6
X/ΔX = 8, 10, 12
X/ΔX = 14, 16

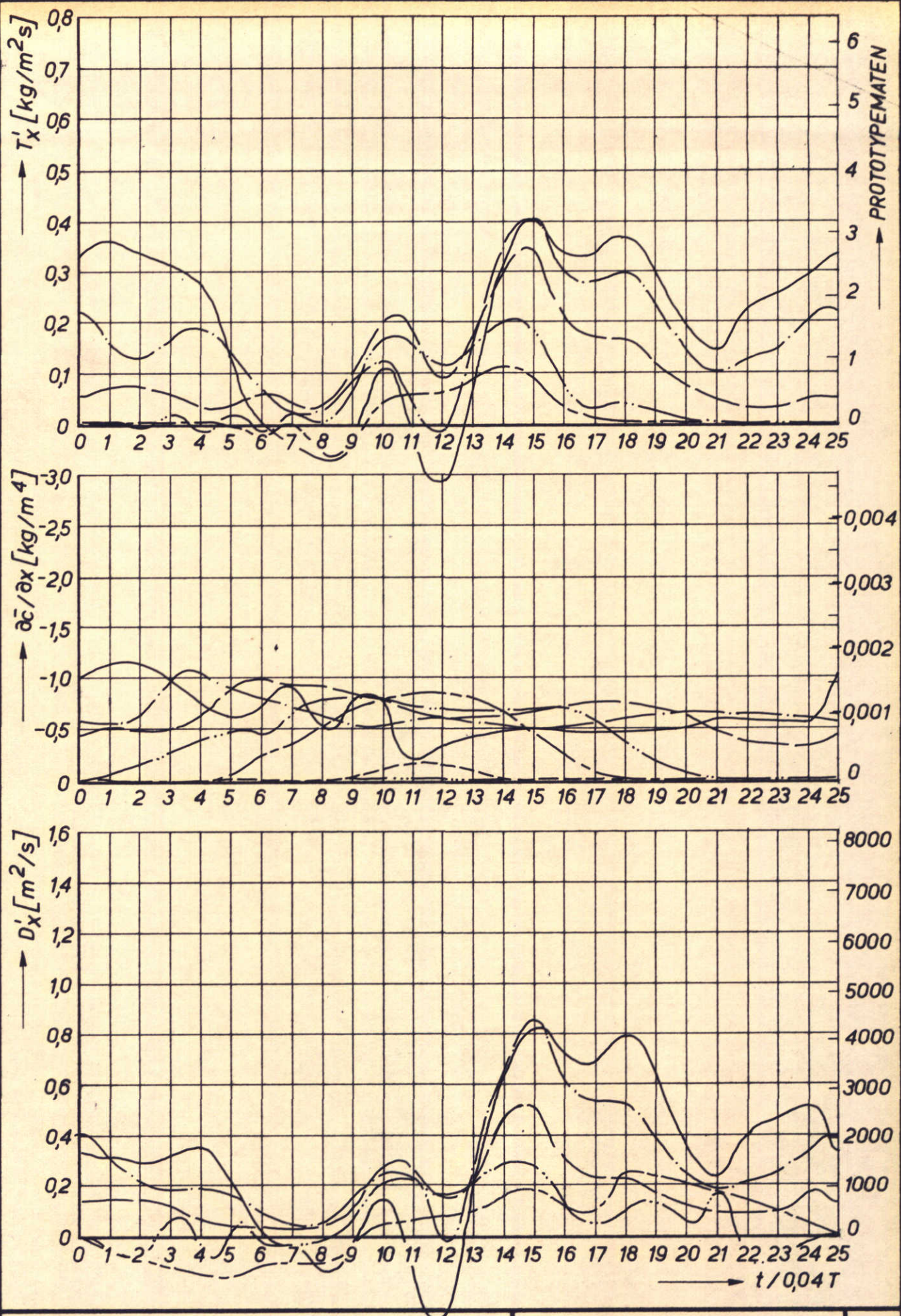
W_K

A4



ONDERZOEK VARIATIE KONDITIE ZEE
PROEF T 132 [LUCHT 80 cc/m²s (ZEE)]

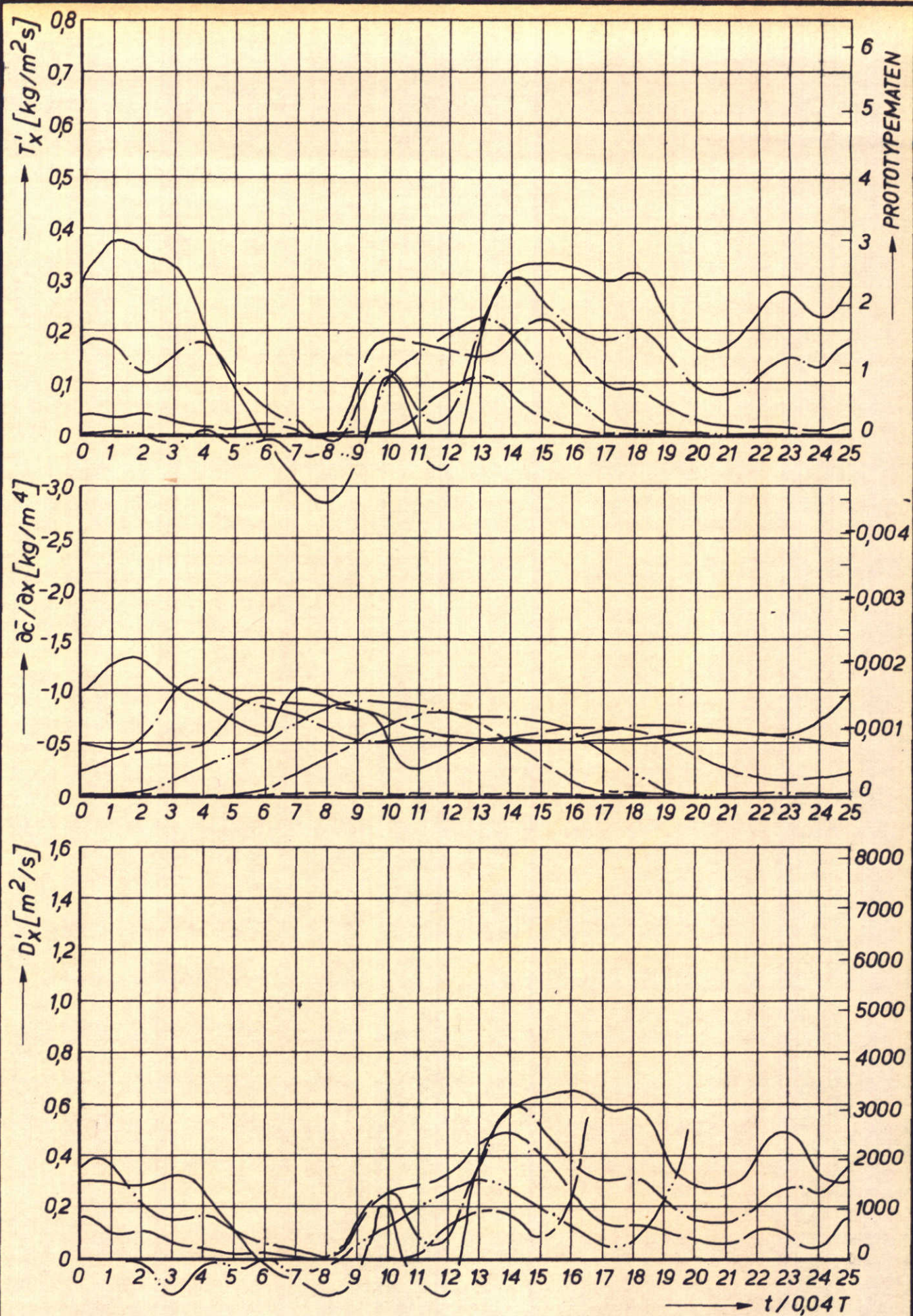
| | |
|--------------------------|----|
| $X/\Delta X = 2, 4, 6$ | W |
| $X/\Delta X = 8, 10, 12$ | K |
| $X/\Delta X = 14, 16$ | A4 |



ONDERZOEK VARIATIE KONDITIE ZEE
PROEF T 133 (DUIKSCHOT VERWIJDERD)

==== $X/\Delta X = 2, 4, 6$
===== $X/\Delta X = 8, 10, 12$
----- $X/\Delta X = 14, 16$

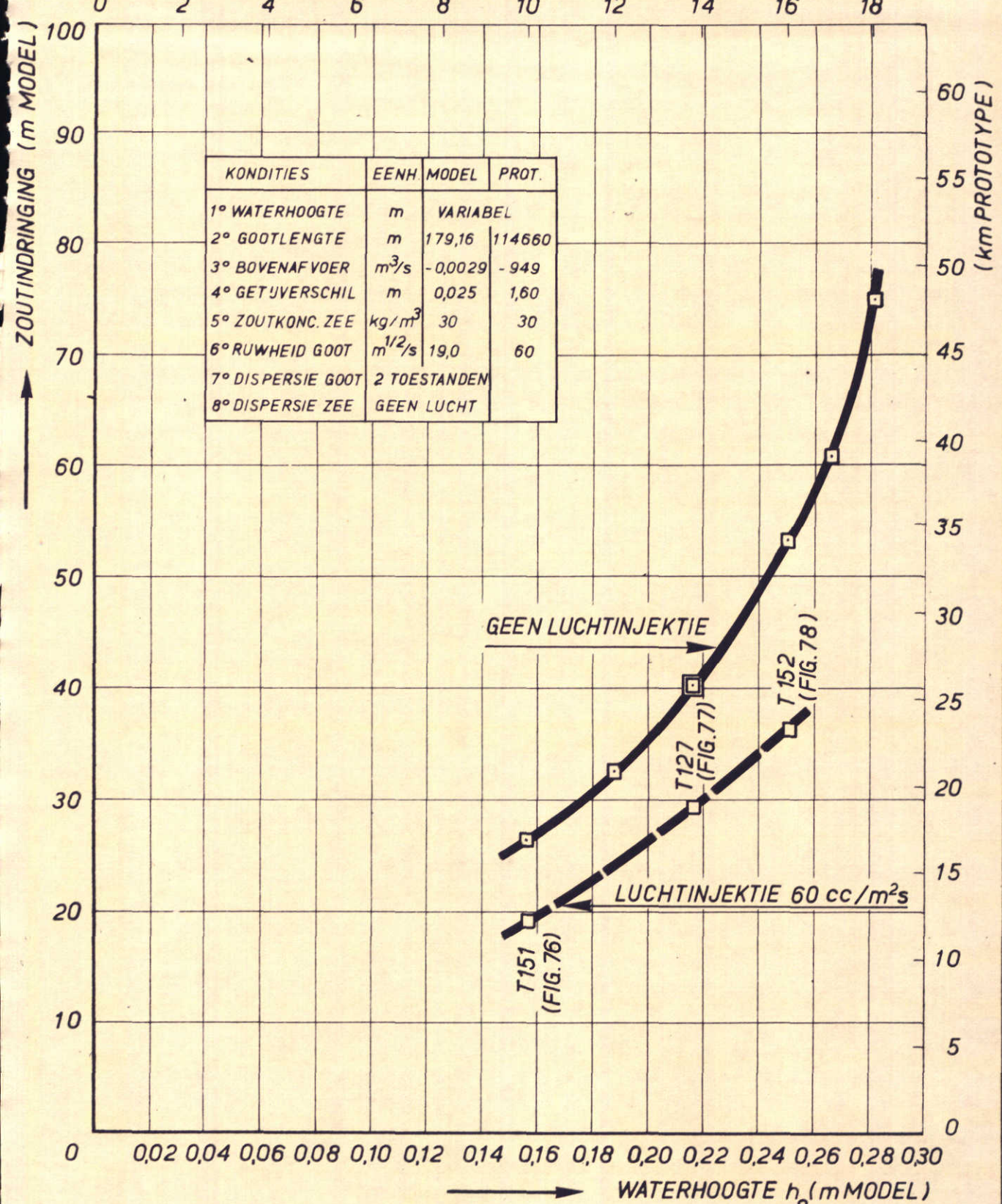
W_K
A4



ONDERZOEK VARIATIE KONDITIE ZEE
PROEF T 139 (GEEN ZOETWATERAFZUIGING)

| | |
|--------------------------|-------|
| $X/\Delta X = 2, 4, 6$ | w_K |
| $X/\Delta X = 8, 10, 12$ | |
| $X/\Delta X = 14, 16$ | A4 |

(m PROTOTYPE)



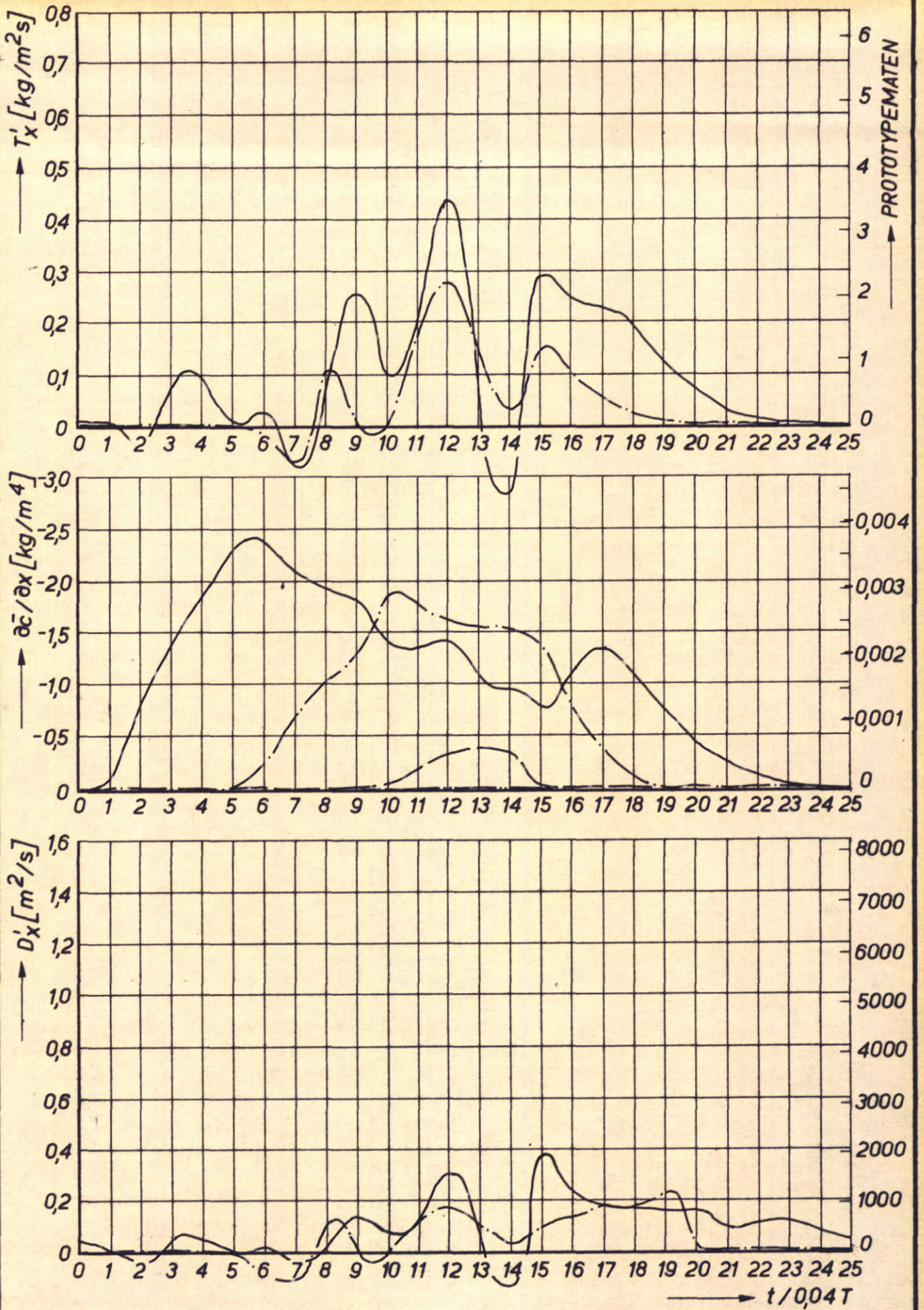
INVLOED LUCHTINJEKTIE BIJ VARIATIE WATERHOOGTE

□ MEETRESULTATEN

■ REFERENTIE PROEF
ROTTERD. WATERWEG

P

A4

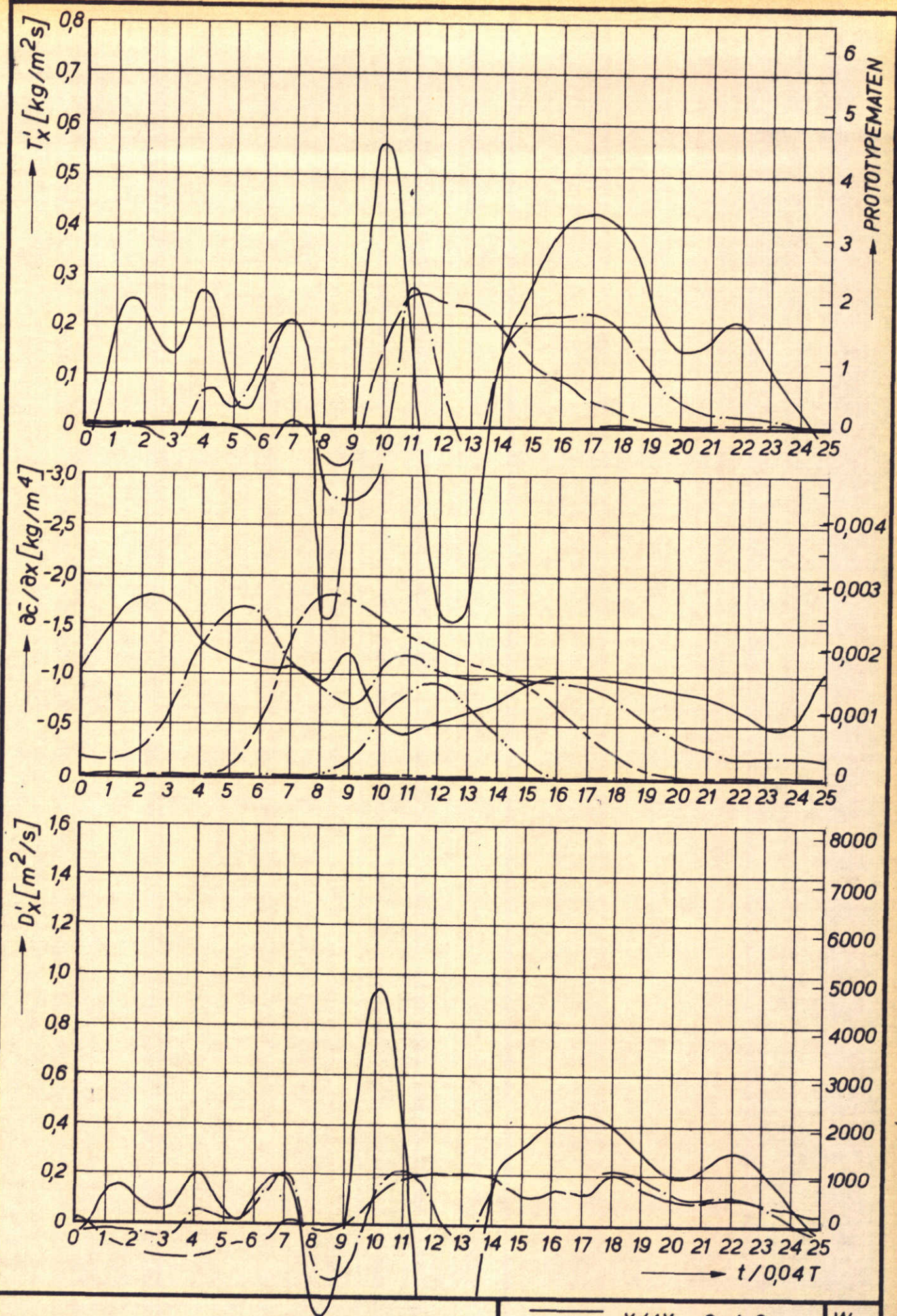


INVLOED LUCHTINJEKTIE BIJ VARIATIE WATERHOOGTE
PROEF T 151 ($h_0 = 10 \text{ m}$ PROT.; $q_a = 60 \text{ cc}/\text{m}^2\text{s}$)

$X/\Delta X = 2, 4, 6$
 $X/\Delta X = 8, 10, 12$
 $X/\Delta X = 14, 16$

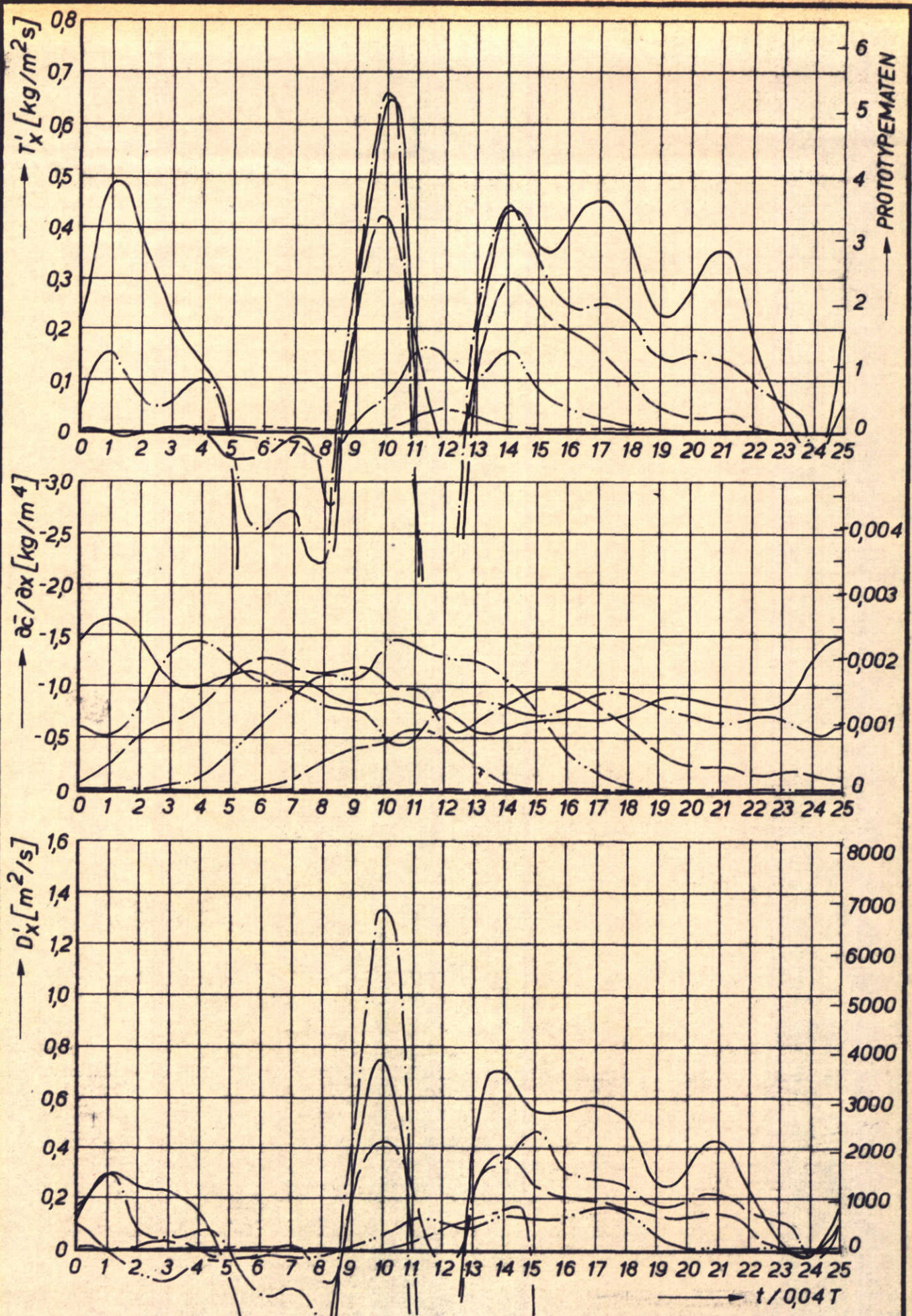
W
K

A4



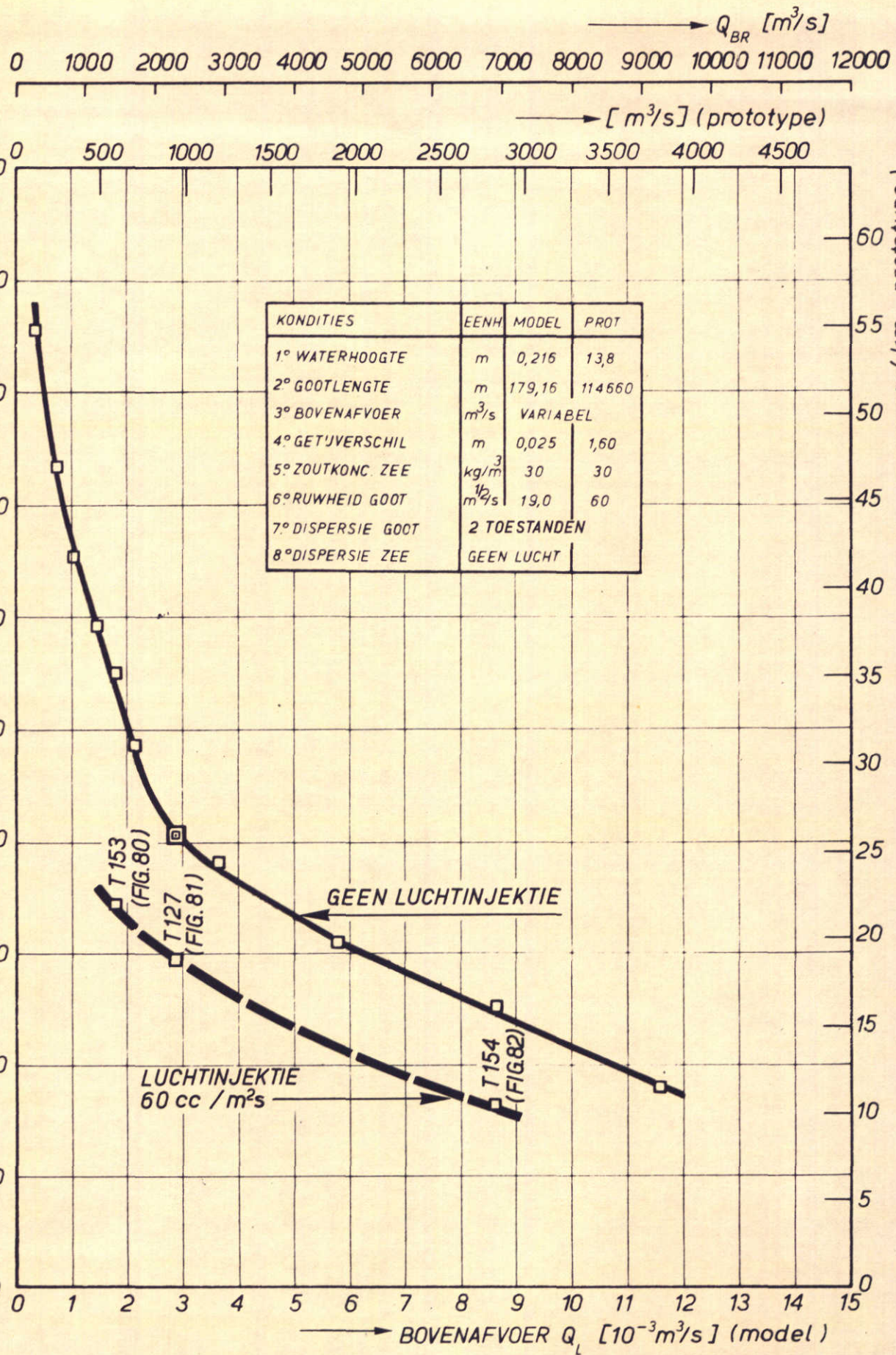
INVLOED LUCHTINJEKTIE BIJ VARIATIE WATERHOOGTE
PROEF T 127 ($h_0 = 13,8 \text{ m}$ PROT.; $Q_d = 60 \text{ cc}/\text{m}^2\text{s}$)

| | |
|--------------------------|-------|
| $X/\Delta X = 2, 4, 6$ | W_K |
| $X/\Delta X = 8, 10, 12$ | |
| $X/\Delta X = 14, 16$ | A4 |



INVLOED LUCHTINJEKTIE BIJ VARIATIE WATERHOOGTE
PROEF T 152 ($h_0 = 16 \text{ m}$ PROT.; $Q_a = 60 \text{ cc}/\text{m}^2\text{s}$)

| | |
|--------------------------|------|
| $X/\Delta X = 2, 4, 6$ | W |
| $X/\Delta X = 8, 10, 12$ | K |
| $X/\Delta X = 14, 16$ | $A4$ |



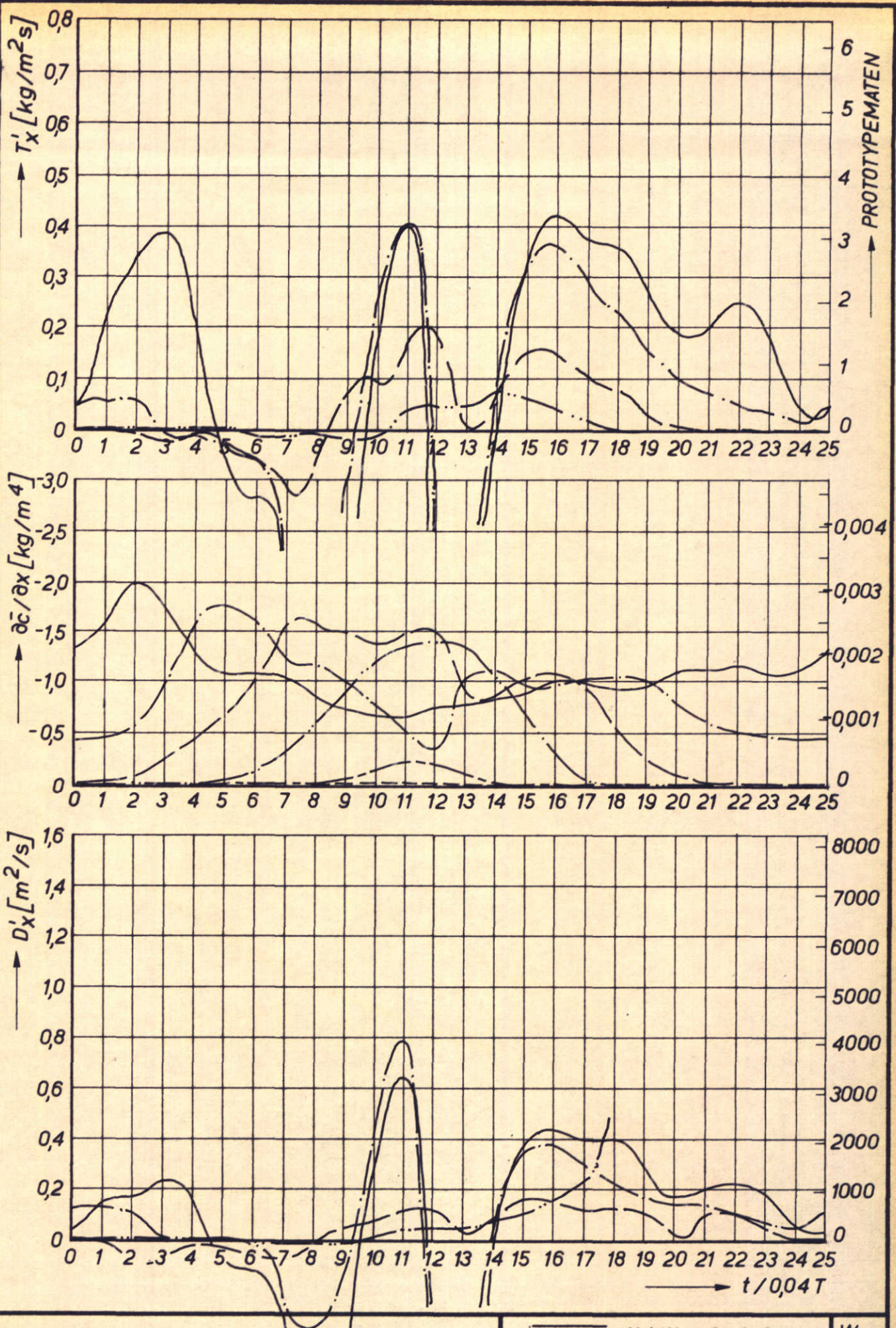
INVLOED LUCHTINJEKTIE BIJ VARIATIE BOVENAFVOER

□ MEETRESULTATEN

■ REFERENTIE PROEF
ROTTERD. WATERWEG

L²

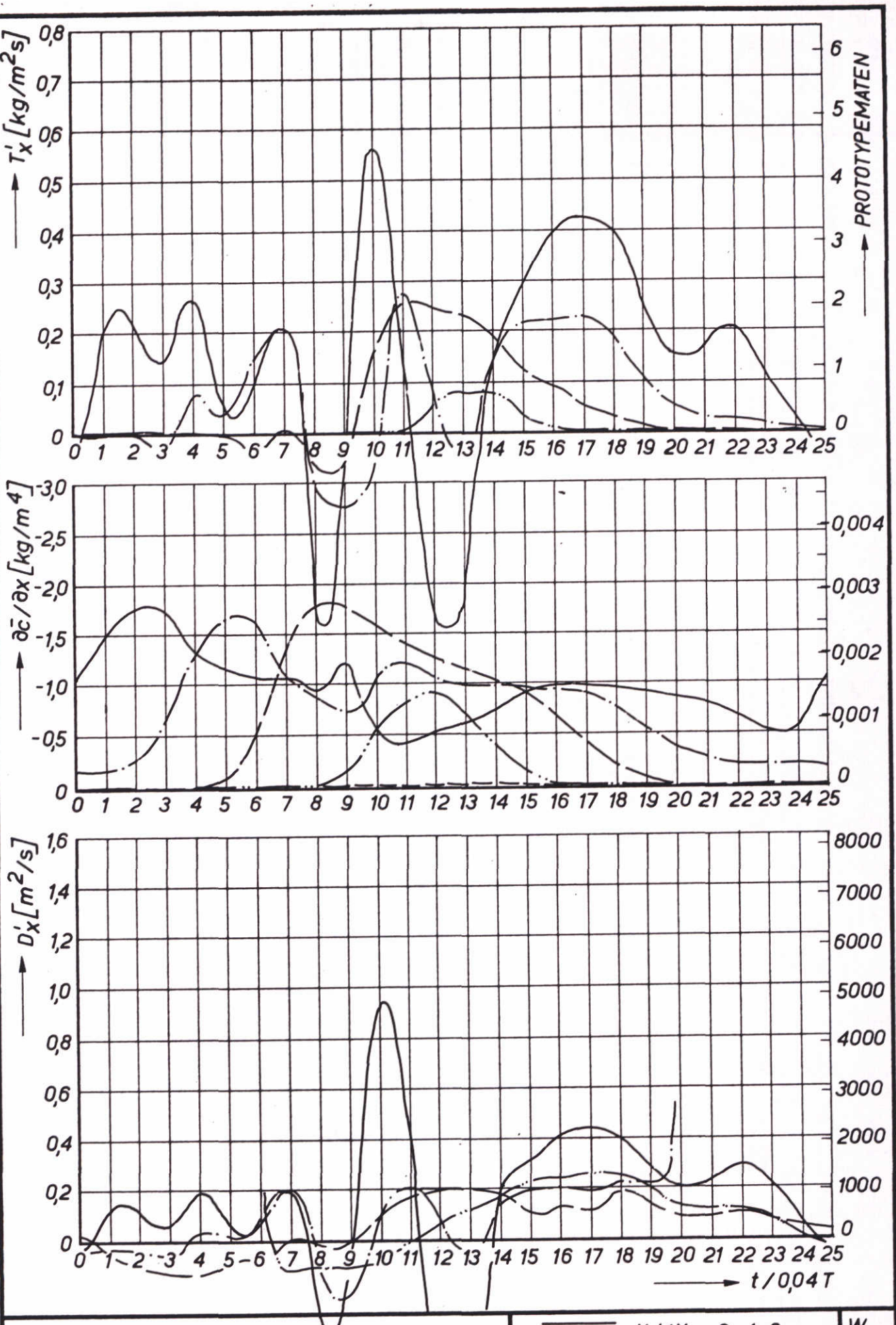
A4



INVLOED LUCHTINJEKTIE BIJ VARIATIE BOVENAFVOER
PROEF T 153 ($Q_L = 593 m^3/s$ PROT.; $Q_d = 60 cc/m^2 s$)

$X / \Delta X = 2, 4, 6$
 $X / \Delta X = 8, 10, 12$
 $X / \Delta X = 14, 16$

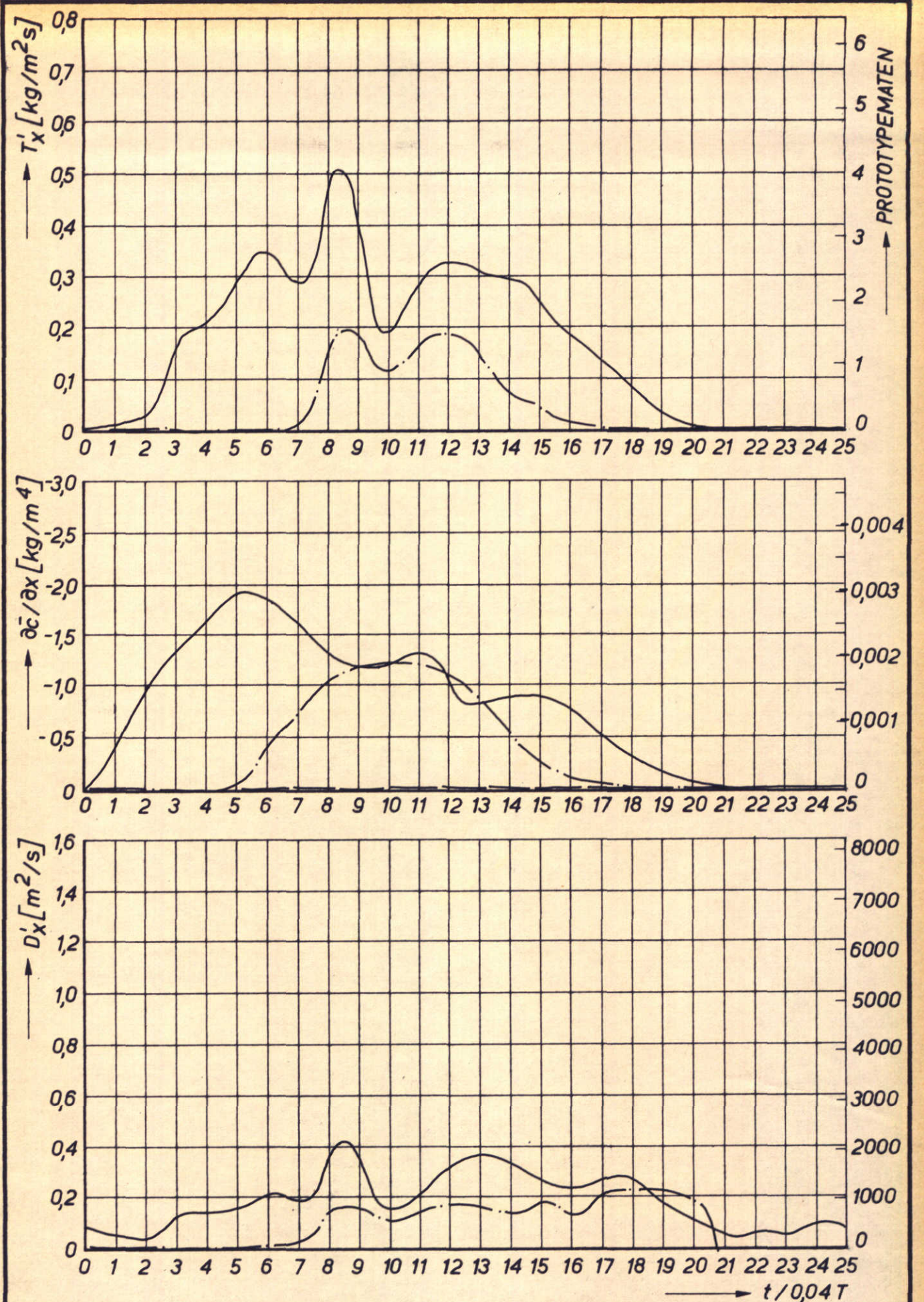
W_K
A4



INVLOED LUCHTINJEKTIE BIJ VARIATIE BOVENAFVOER
PROEF T 127 ($Q_L = 949 m^3/s$ PROT.; $Q_d = 60 cc/m^2 s$)

$X/\Delta X = 2, 4, 6$
 $X/\Delta X = 8, 10, 12$
 $X/\Delta X = 14, 16$

w_K
 A_4



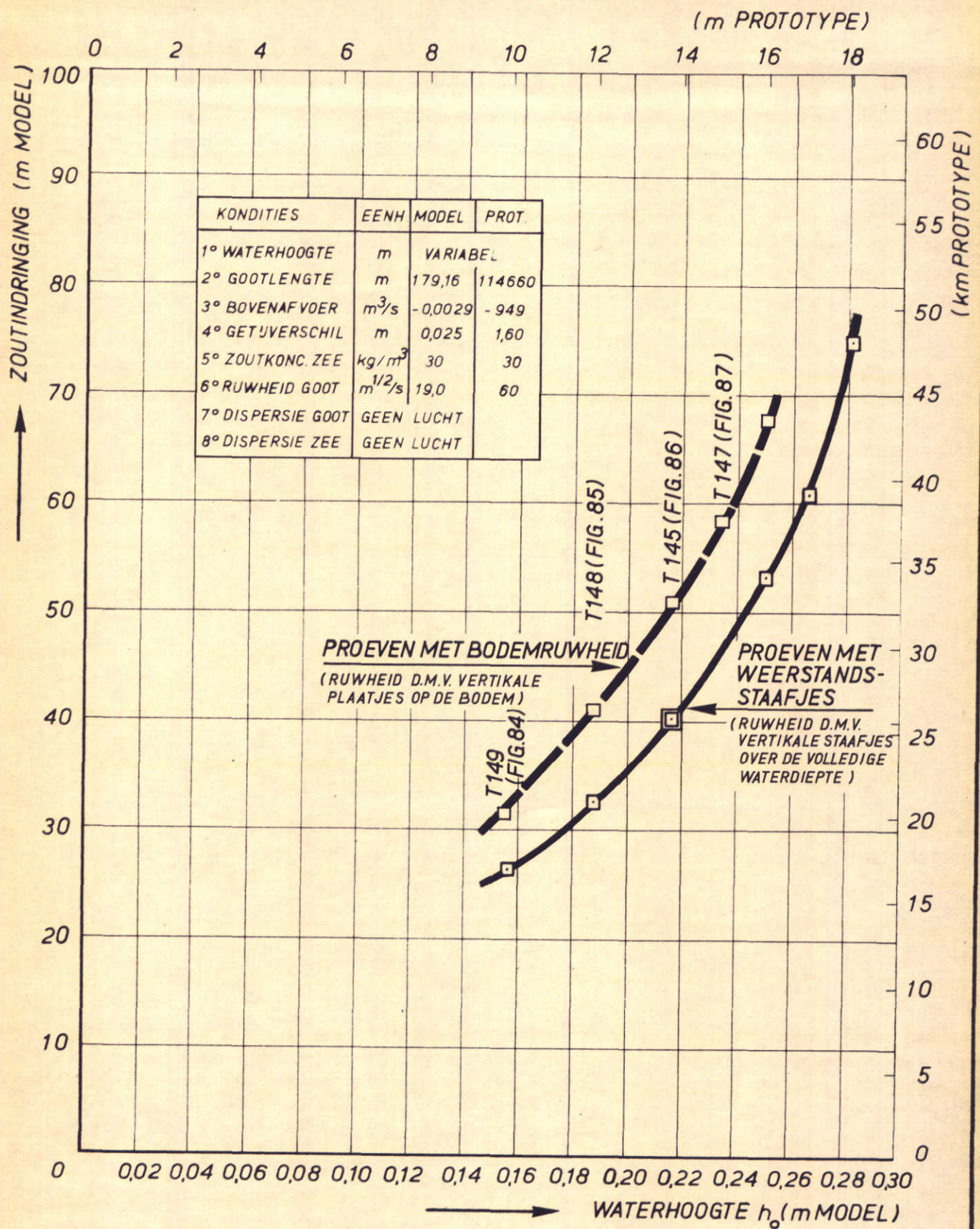
INVLOED LUCHTINJEKTIE BIJ VARIATIE BOVENAFVOER

PROEF T 154 ($Q_L = 2848 \text{ m}^3/\text{s}$ PROT.; $Q_d = 60 \text{ cc/m}^2\text{s}$)

$X/\Delta X = 2, 4, 6$
 $X/\Delta X = 8, 10, 12$
 $X/\Delta X = 14, 16$

W_K

A4



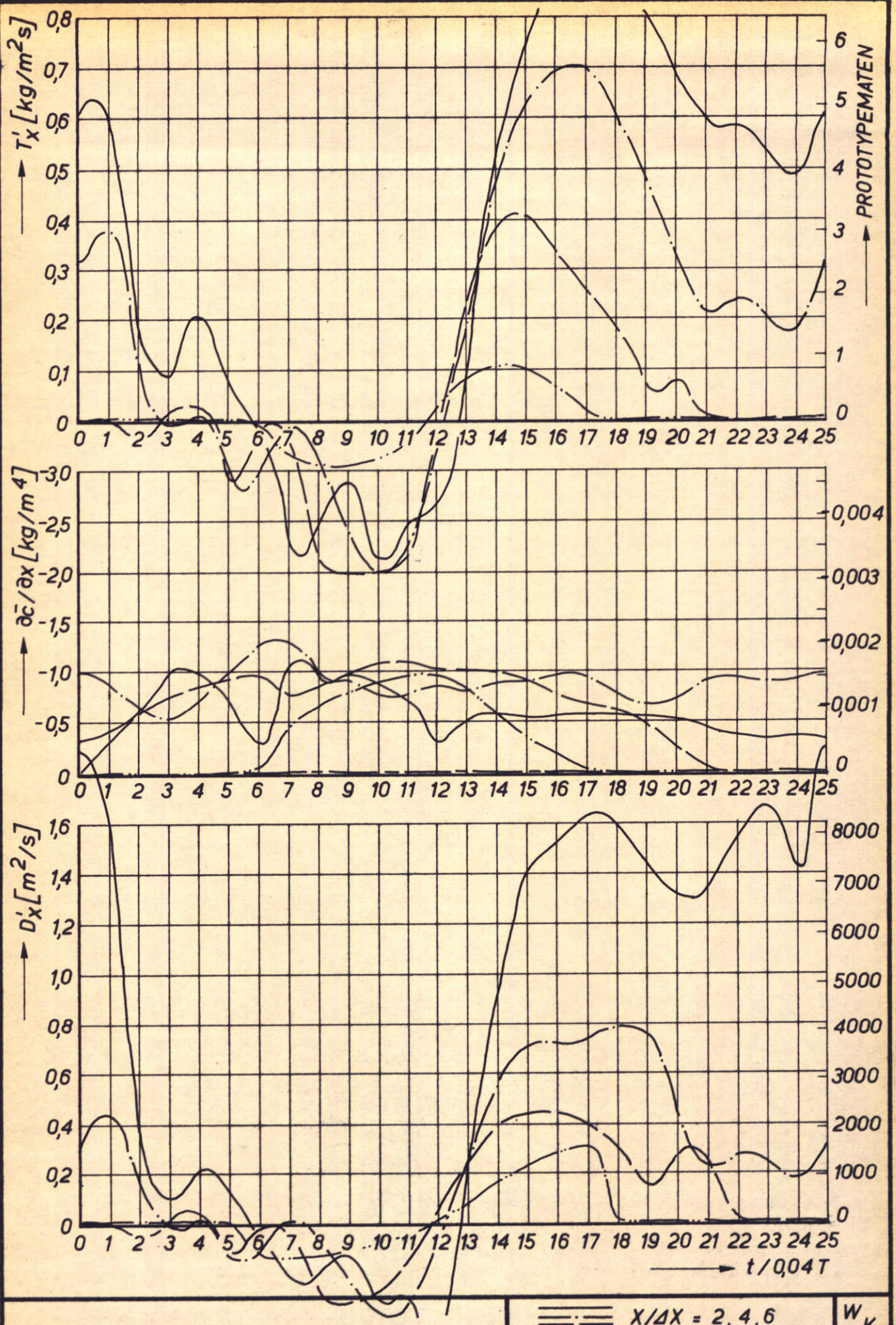
INVLOED TYPE RUWHEID BIJ VARIATIE WATERHOOGTE

MEETRESULTATEN

P

REFERENTIE PROEF
ROTTERD. WATERWEG

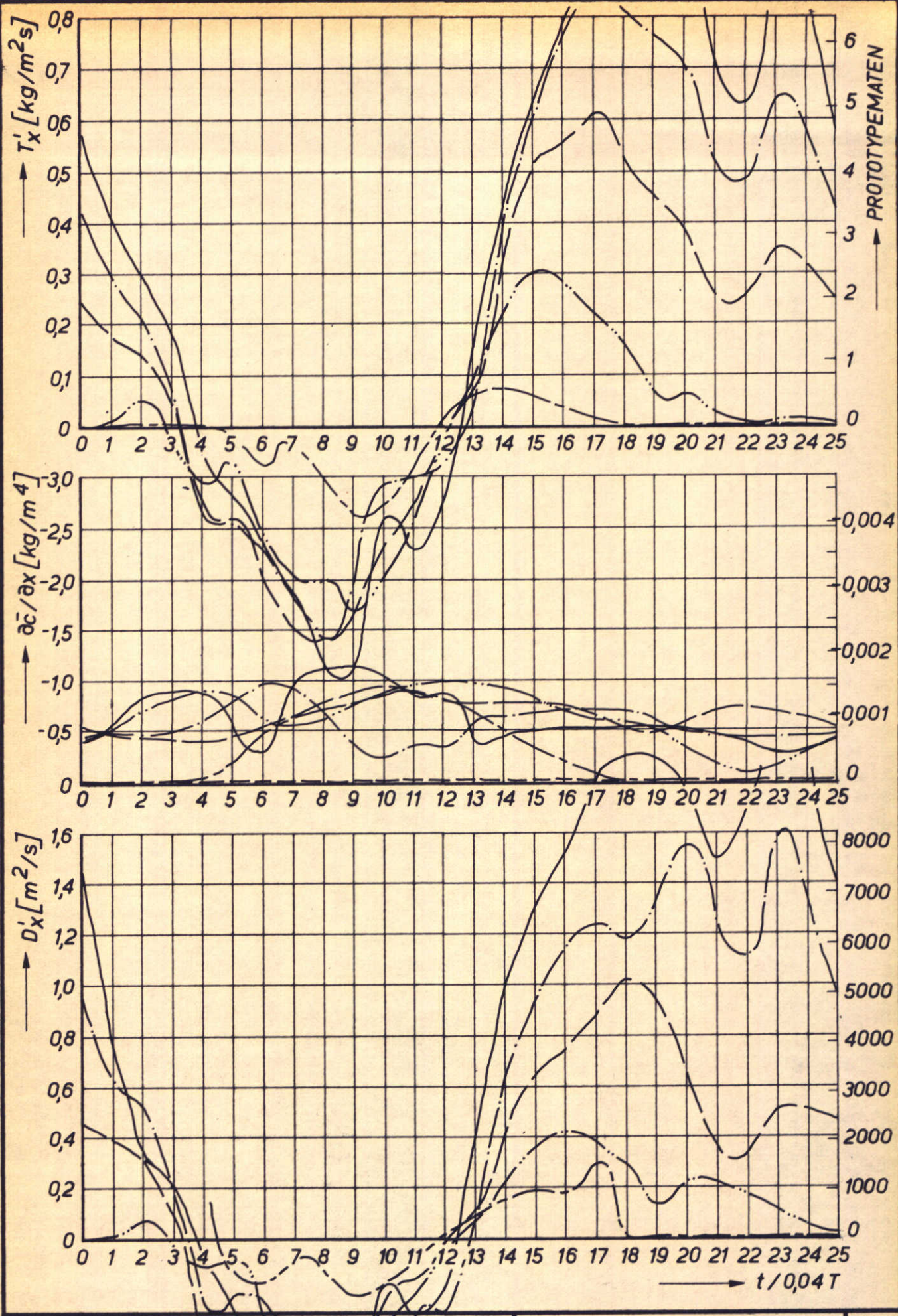
A4



INVLOED TYPE RUWHEID BIJ VARIATIE WATERHOOGTE
PROEF T 149 ($h = 10 \text{ m}$ PROT.; BODEMRUWHEID)

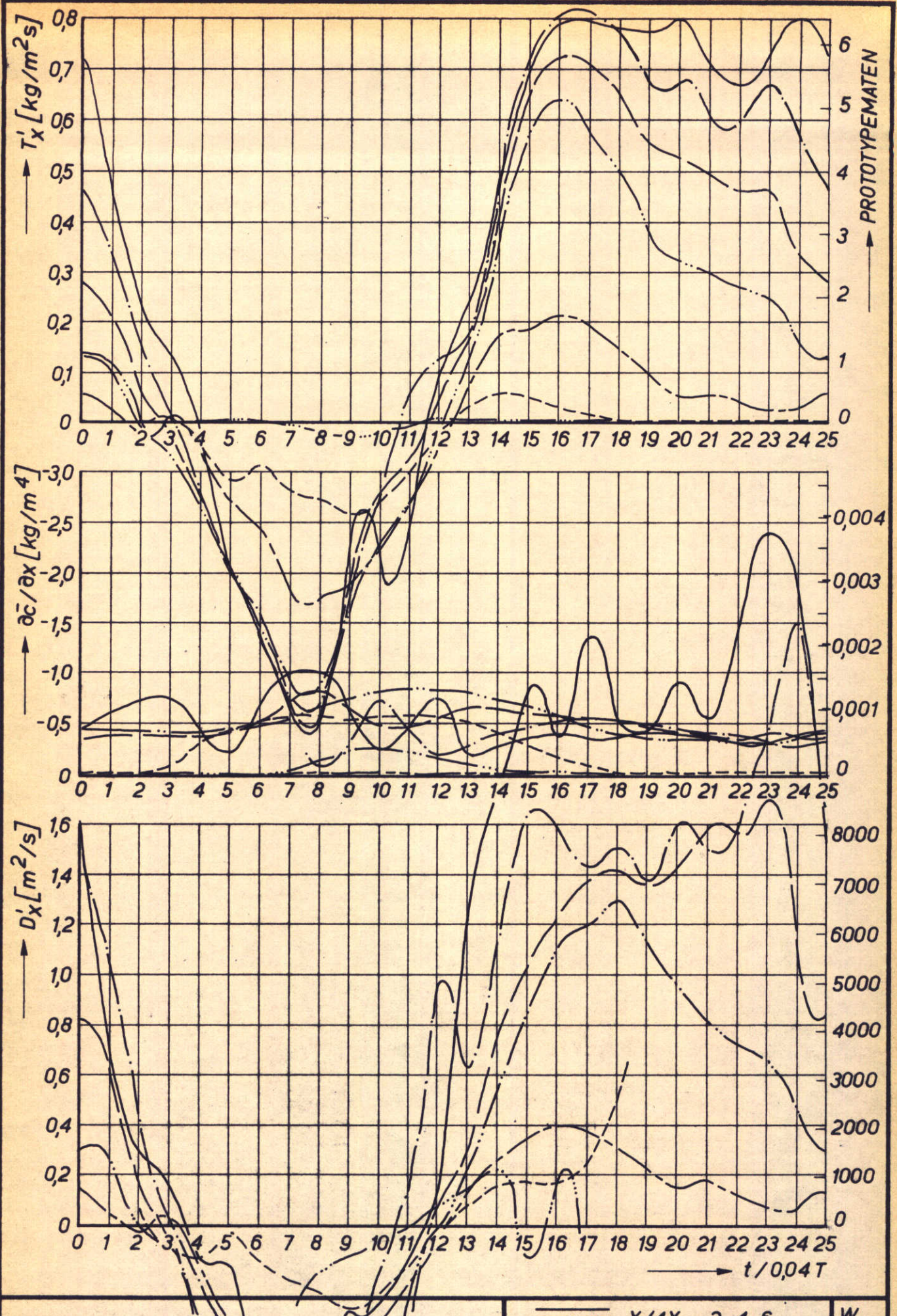
$X / \Delta X = 2, 4, 6$
 $X / \Delta X = 8, 10, 12$
 $X / \Delta X = 14, 16$

W_K
A4



INVLOED TYPE RUWHEID BIJ VARIATIE WATERHOOGTE
PROEF T 148 ($h_0 = 12$ m PROT.; BODEMRUWHEID)

| | | |
|----------------------|----------------------------|-------|
| $\cdots\cdots\cdots$ | $X / \Delta X = 2, 4, 6$ | W_K |
| $- - - - -$ | $X / \Delta X = 8, 10, 12$ | |
| $- - - - -$ | $X / \Delta X = 14, 16$ | A4 |

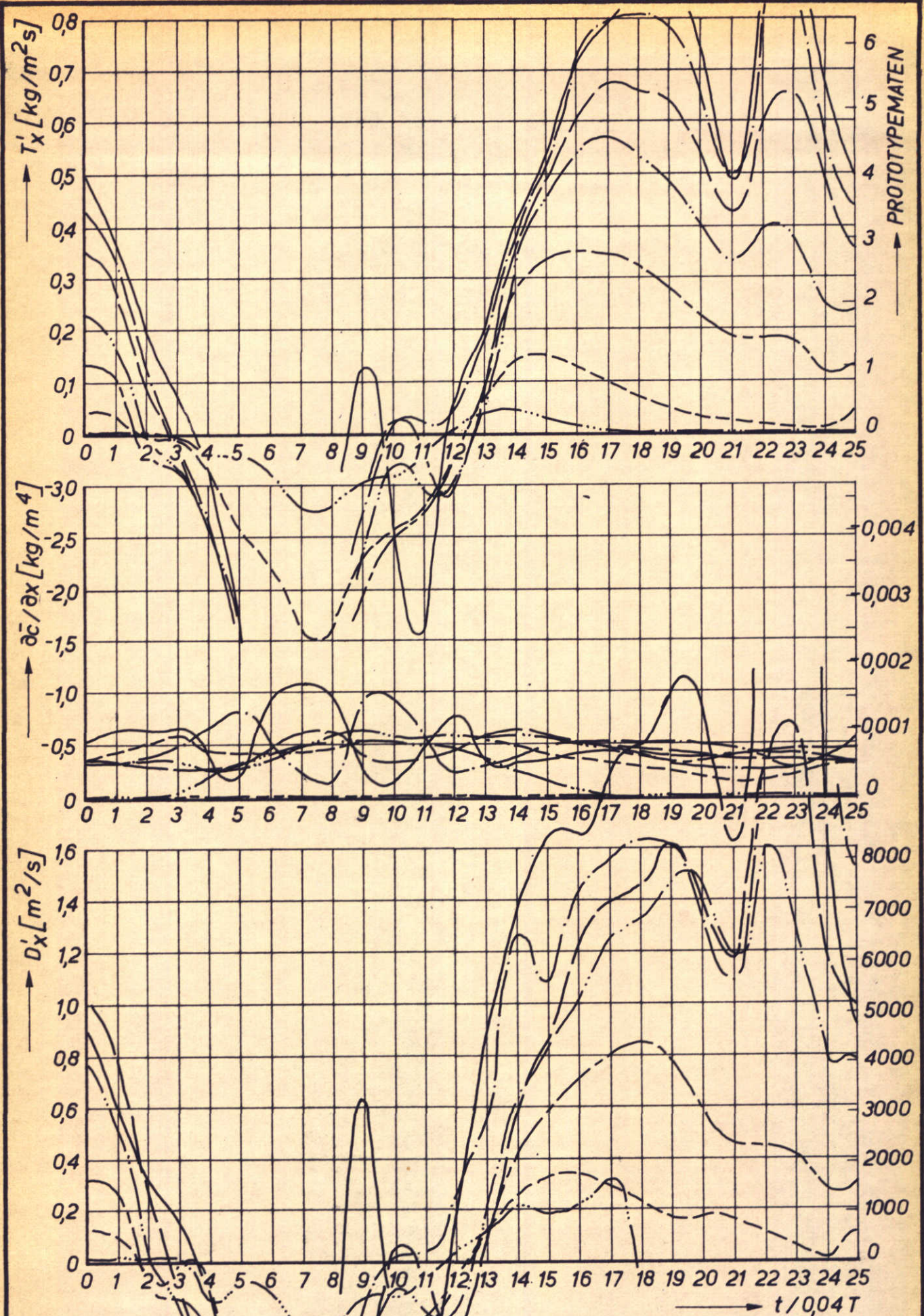


INVLOED TYPE RUWHEID BIJ VARIATIE WATERHOOGTE
PROEF T 145 ($h_0 = 13,8 \text{ m}$ PROT.; BODEMRUWHEID)

$X / \Delta X = 2, 4, 6$
 $X / \Delta X = 8, 10, 12$
 $X / \Delta X = 14, 16$

W_K

A4



INVLOED TYPE RUWHEID BIJ VARIATIE WATERHOOGTE
PROEF T 147 ($h = 15 \text{ m}$ PROT.; BODEMRUWHEID)

$X / \Delta X = 2, 4, 6$
 $X / \Delta X = 8, 10, 12$
 $X / \Delta X = 14, 16$

W_K
A4

